

Bibliothèque numérique

medic@

**Société anatomique de Paris. - Album
de dessins d'anatomie pathologique**

1866-1873.

Cote : asap 2.54



Licence ouverte. - Exemplaire numérisé: BIU Santé
(Paris)

Adresse permanente : <http://www.biusante.parisdescartes.fr/histmed/medica/cote?asap02x054>

Monstres anicéphales par M^r Ranvier 2. A.
M^r Ranvier 1868

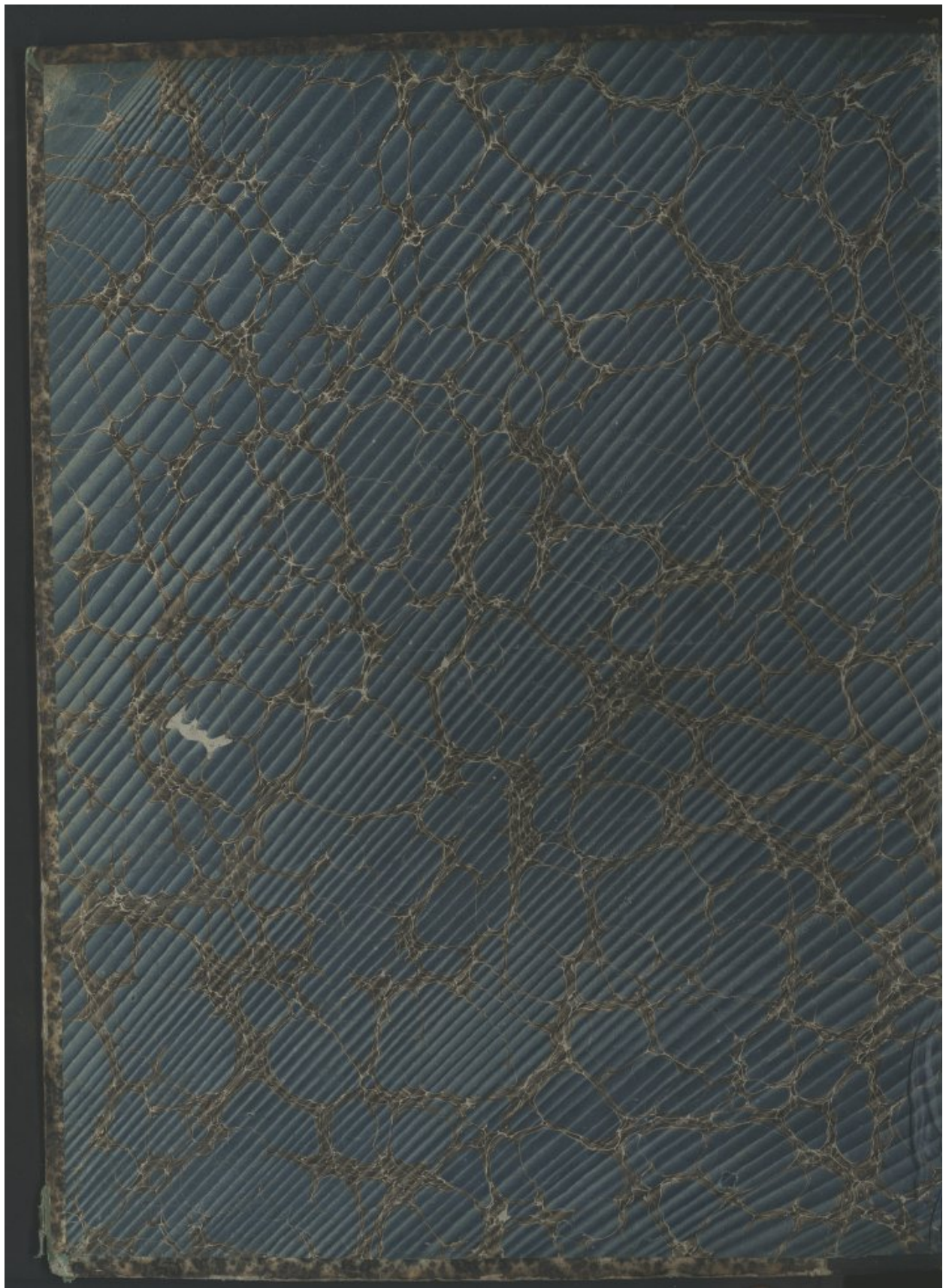
Ulcerations et rebroussement
d'intestins M^r Ranvier 1868

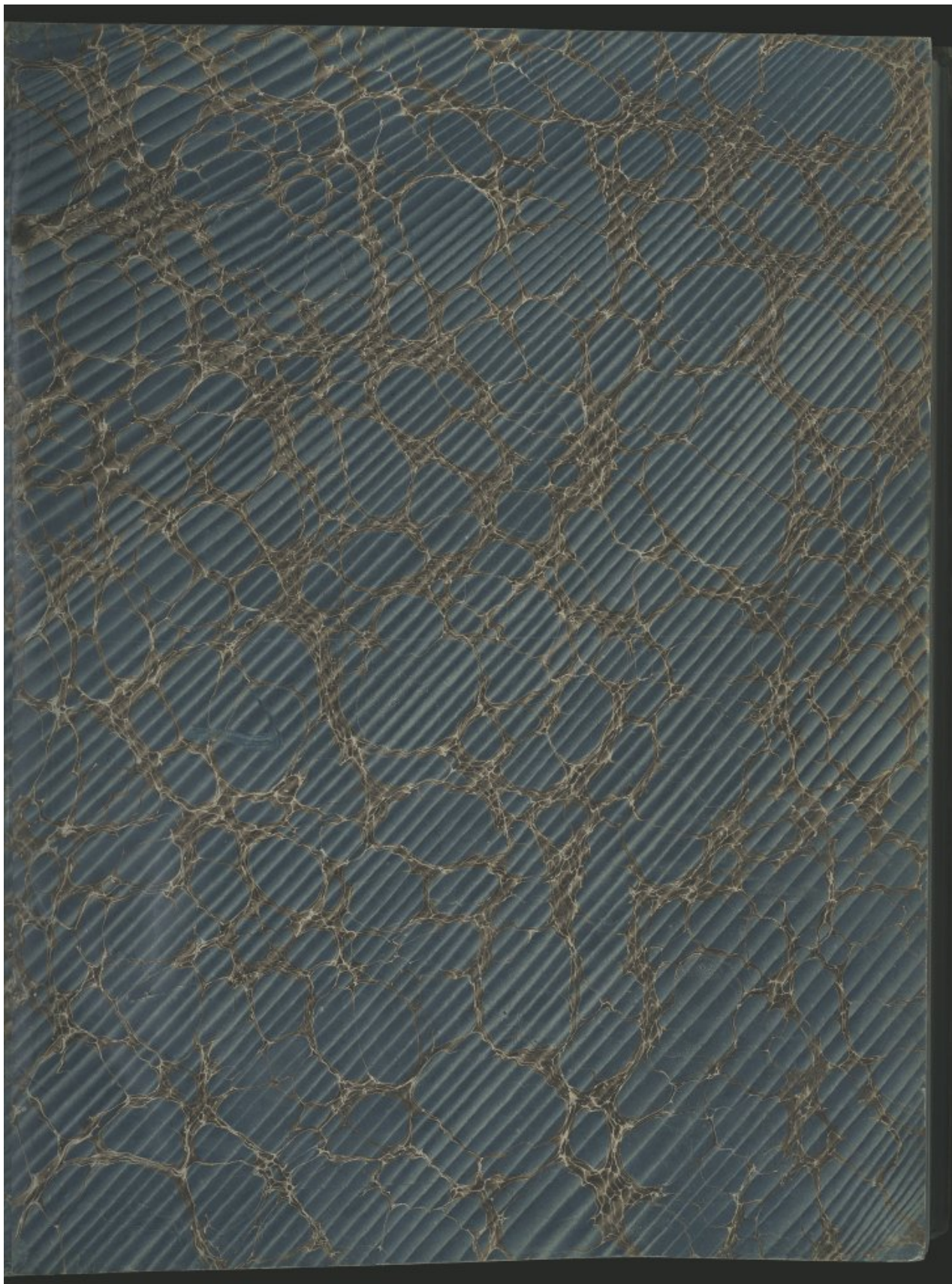
Cancer du sein, de la vessie et l'épilon 1882

L'hypertrophie double de la mamelle 1885

Abulscum de M^r Remy 1875

Gangrène du pied 1868





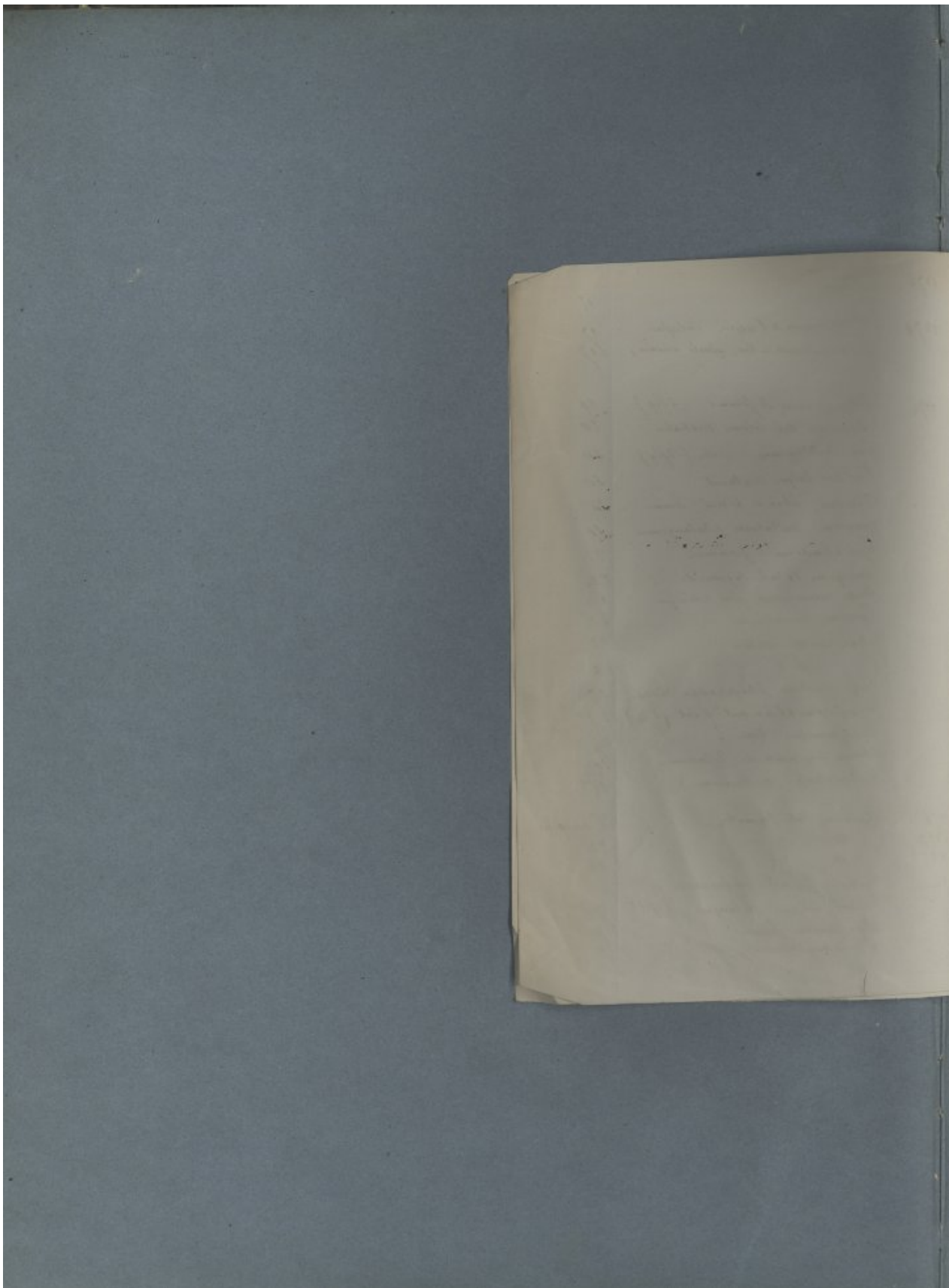


Plaques (table parisiens)

1866	Bulbe lat. etendue de la jambe	2
1867	Malformation. Oeille de. enfant ?	3
	— ^{l'opercule} l'opercule de la foie ?	3
	— Coupe microscopique ?	3
1868	Ulceration et éléphantiasis spontané	5
	— Tumeur fibre kystique p. le canal de la bile	5
	— Péritonéum de l'est	6
1869	Tuberculose calcifiée et calcifiée	8
	— Poche aréolaire longitudo de l'uretère	8
	— Joints rhumatismaux	8
	— id	8
	— Cancer de l'opercule	9
	— Foci septicaux de la rate	10
	— id	10
	— Gomme de la rate	10
	— Cancer de l'est	11
	— Kyste hydatidique de la foie	11
	— id	11
	— Méningite tuberculeuse	12
1870	— Néoplasme fibreux	13
	— id	13
	— Malformation de la main, (2/4)	14
	— id	14
	— id pied (2/4)	16
	— id (2/4)	16



1870.	Foie	15
1871	Fibrose suppurée, et tuberc. Calafai	17
	Aut. de l'empyème de l'oreille, épanché aranéen,	117
1872	Osteo-sarcome à fibres (2 fig)	19
	Osteosarcome du tibia subcapsule	20
	Cal. Castellanum (2 fig)	20
	Pied bot. Valgu, cicatriciel	20
	Traumatisme tibial et péroné commun	20
	Curatelle métatarsale phalangeum	21
	Symphysaire de l'os maxillaire	22
	Amputation radicale de l'os maxillaire	22
	Empyème microscopique du tibia	22
	Carcinome bronchique	22
	Osseux, centre natant	23
	id.	23
	Tumeur maxillaire pharyngée, fibreuse	23
	Hypertrophie de la base du tibia (2 fig)	23
	Malformation. Tête ?	25
	Abcès suppuratif de l'os maxillaire	25
	Hydrophale (ou maxillaire)	25
1871 ?	Épithéliome tuberculeux de l'os maxillaire	26 non classé
1872 -	id.	26
1873	id.	26
	Tuberculose de l'os maxillaire - post-traumatique	26
	Ulcération tuberculeuse de l'os maxillaire (2 fig)	27
	Osteo-sarcome fibreux	27
	id. de l'os maxillaire	27



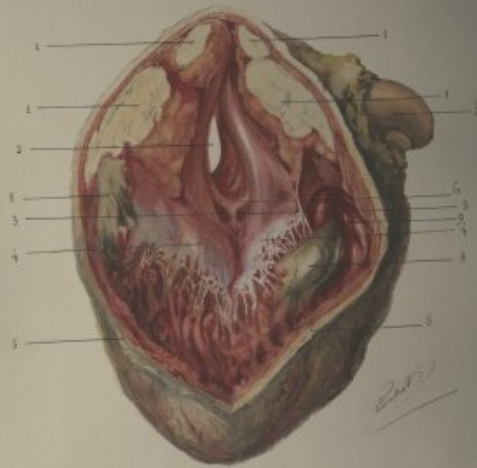
Album de la Société Anatomique, commencé en 1872
par L. Malaplag, anatomiste (1872-1873)

— continué par L. Landouzy, archiviste (1874) —

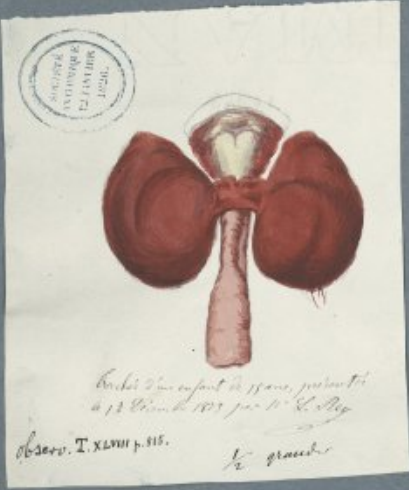
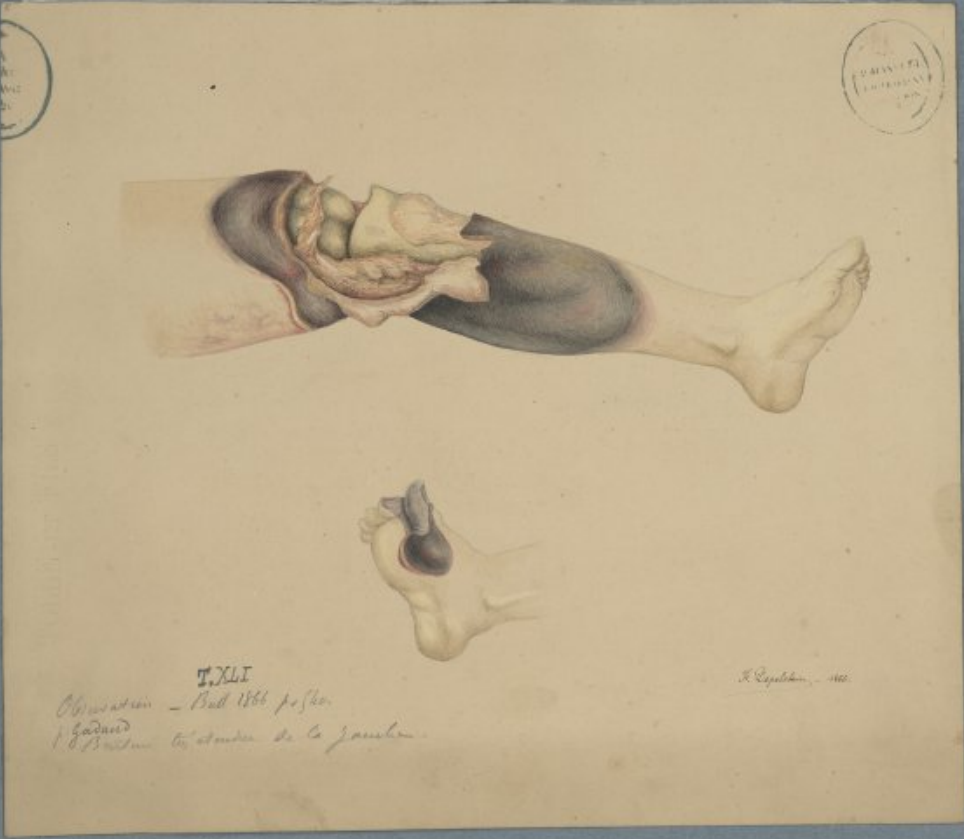
1173

Kyste, o-placenta	28
Cornuauxite à coarctation de l'isthme	28
— avec lésions de l'ovaire, h. gypsolé	28
d	28
Cornuaux. Nécessité de l'isthme	29 (un collé)
Pneumonie à lobes	29
Fracture multiple de la tête	29
d	29
Cornuaux. Cœur charbonné	30
Lymphangite agrippitale	30
Hypochondrie (corp. Hygrosité)	31 (un collé)

Tumeurs volumineuses de l'Ouïlette droite
 (mort subite)
 Ouïlette et ventricule droits largement
 ouverts



1, 1 Tumeurs, 2, 2 Ouïlette de la veine sans tumeur,
 3 Ouïlette des veines pulmonaires, 4 valvule triangulaire,
 5 ouverture de l'artère et contenant les muscles qui se
 trouvent en-dessous d'un petit noyau, 6 valvule de l'artère
 7 aorte, 8 le cœllet fibreux, 9 infundibulum de l'artère
 pulmonaire.



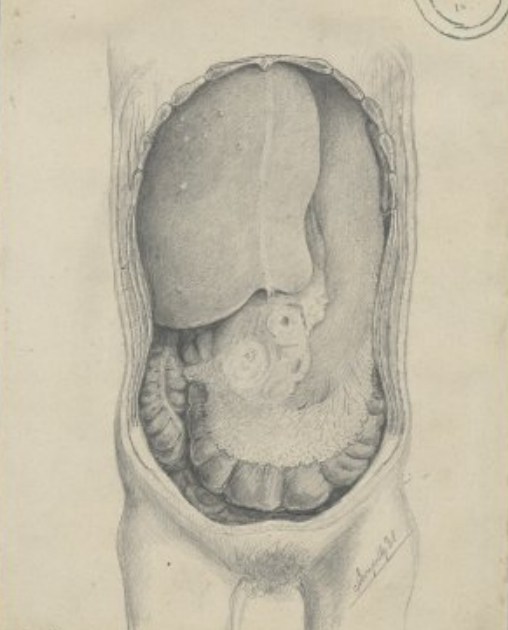


22 février Mars 1867. Chantrel



T. XLII. p. 149
Obliteration du conduit auditif externe.

Obs. Chantrel T. XLII p. 149



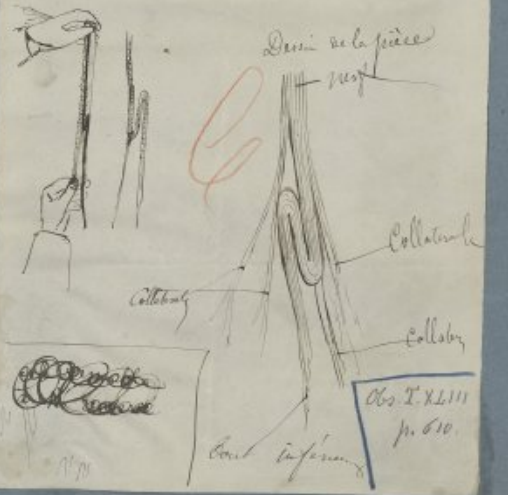
Abaissement du plexus dans un cas de cancer de l'estomac et du foie.

Boussieu. T. XLII. 337
Nouveau fibre plastique.

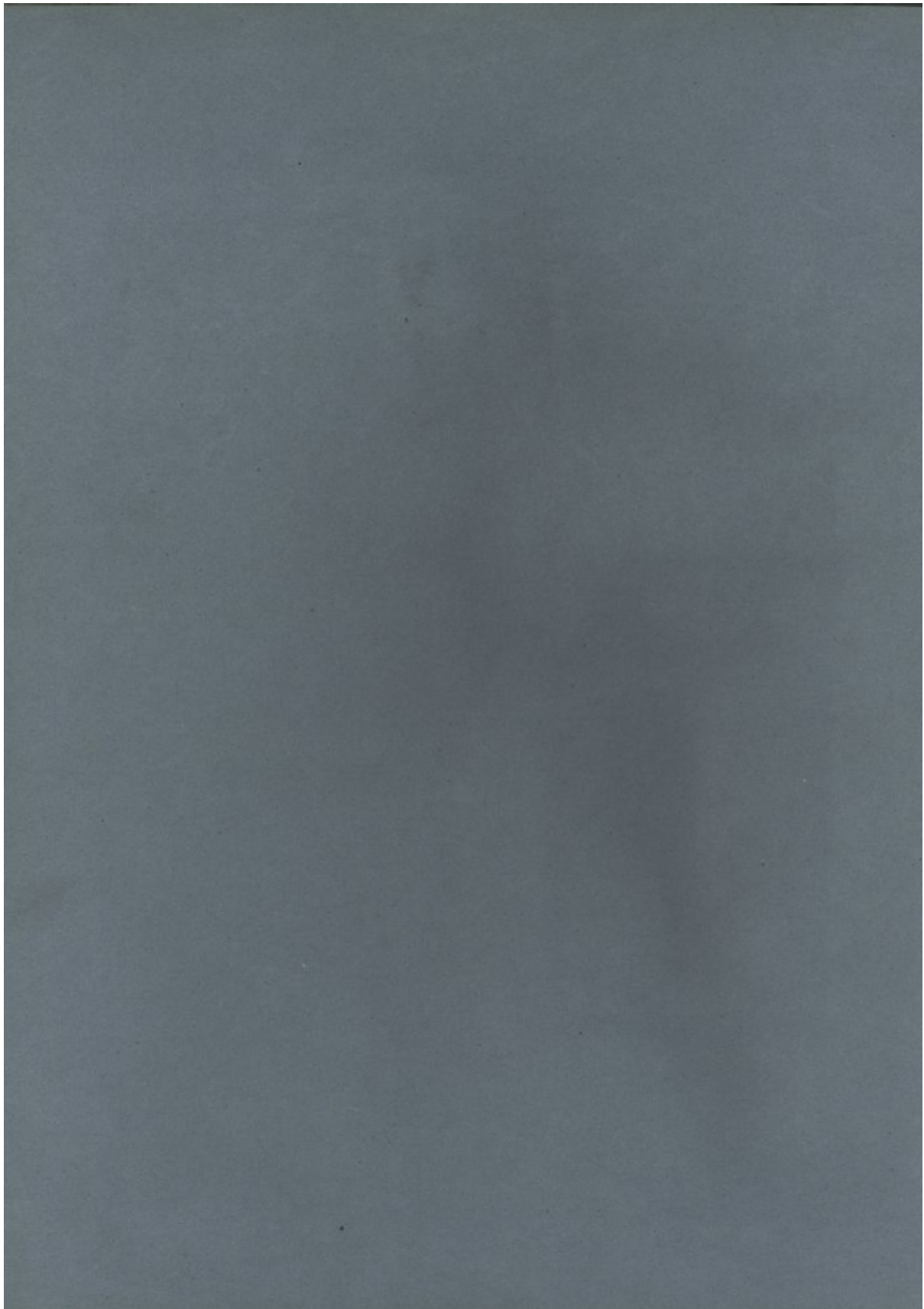


L. Boussieu
1867.

Infestation du nez par un ver, la gaine
prolétée en 1858 par le Tarsatier
Dessin pour faulter Poutollegue
de son ouvrage descriptif.



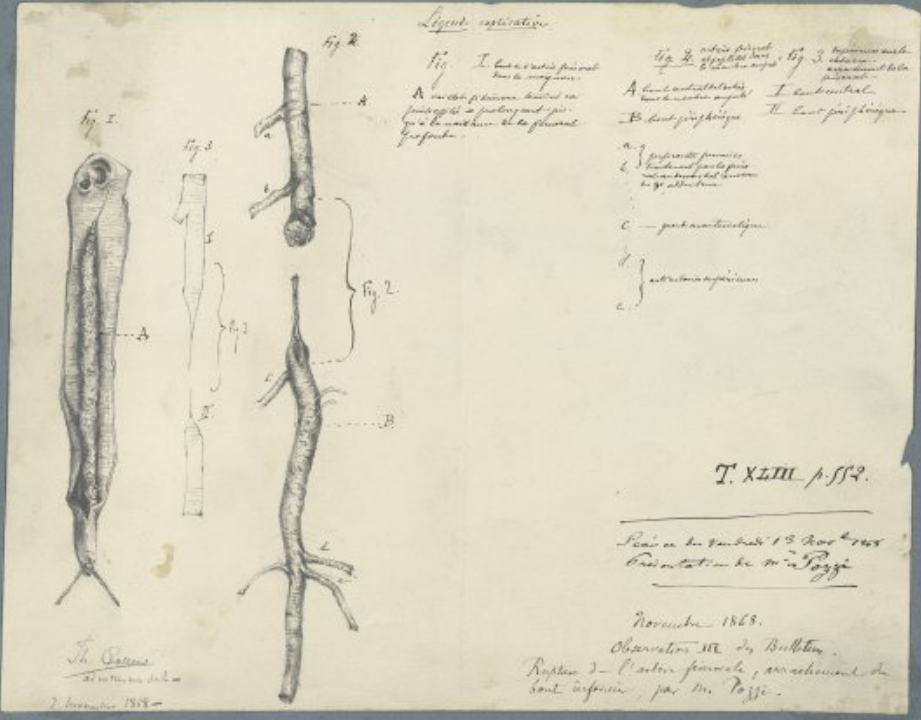
Obs. T. XLIII
p. 610.



Monstru pseudo-anencephale, par Hally. Janvier 1868 1868 - Monstru anencephale
présenté par M. Rossignoli



Tom. XLIII pag. 65.





Présentation de M. Renaud, interne
209^e 1888.



Ulcerations et rétrécissement dysentériques.



A. Section sup. de l'Intestin confusivement
ulcéré.
B. Rétrécissement de l'Intestin causé par l'ulcération.
Obs. Renaud T. XLIII p. 559.

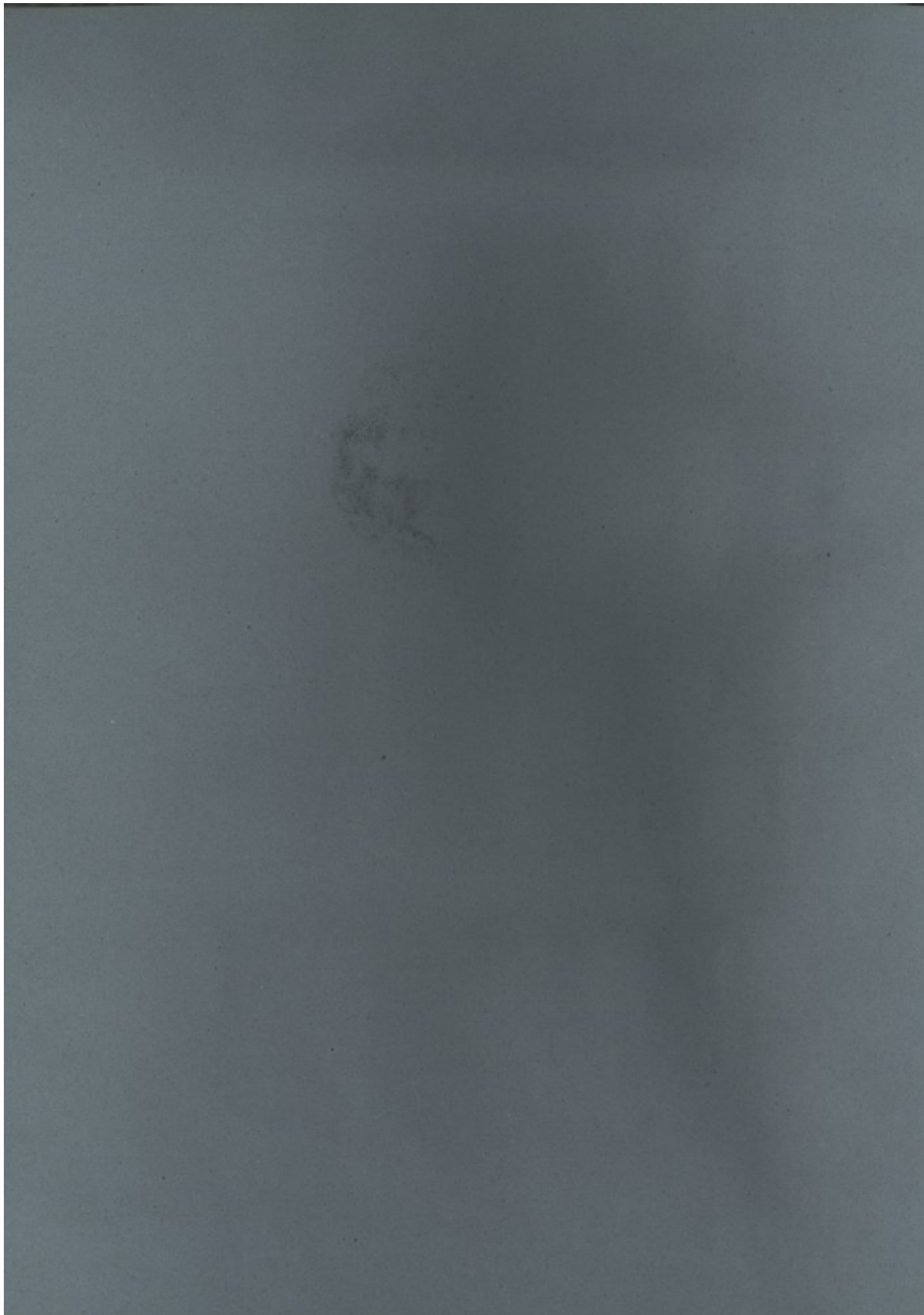
J. Roux del.
A. de la Roche sculp.

Commencement, Quercy
4 Decemb 76
Livre II p. 695.

Lumen peri-utérine.

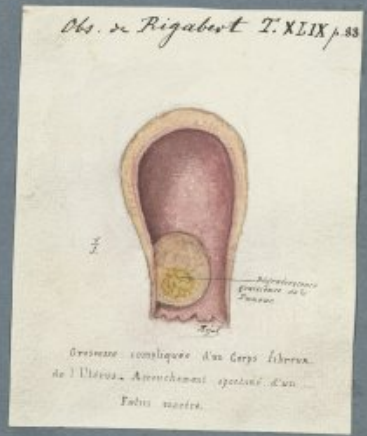


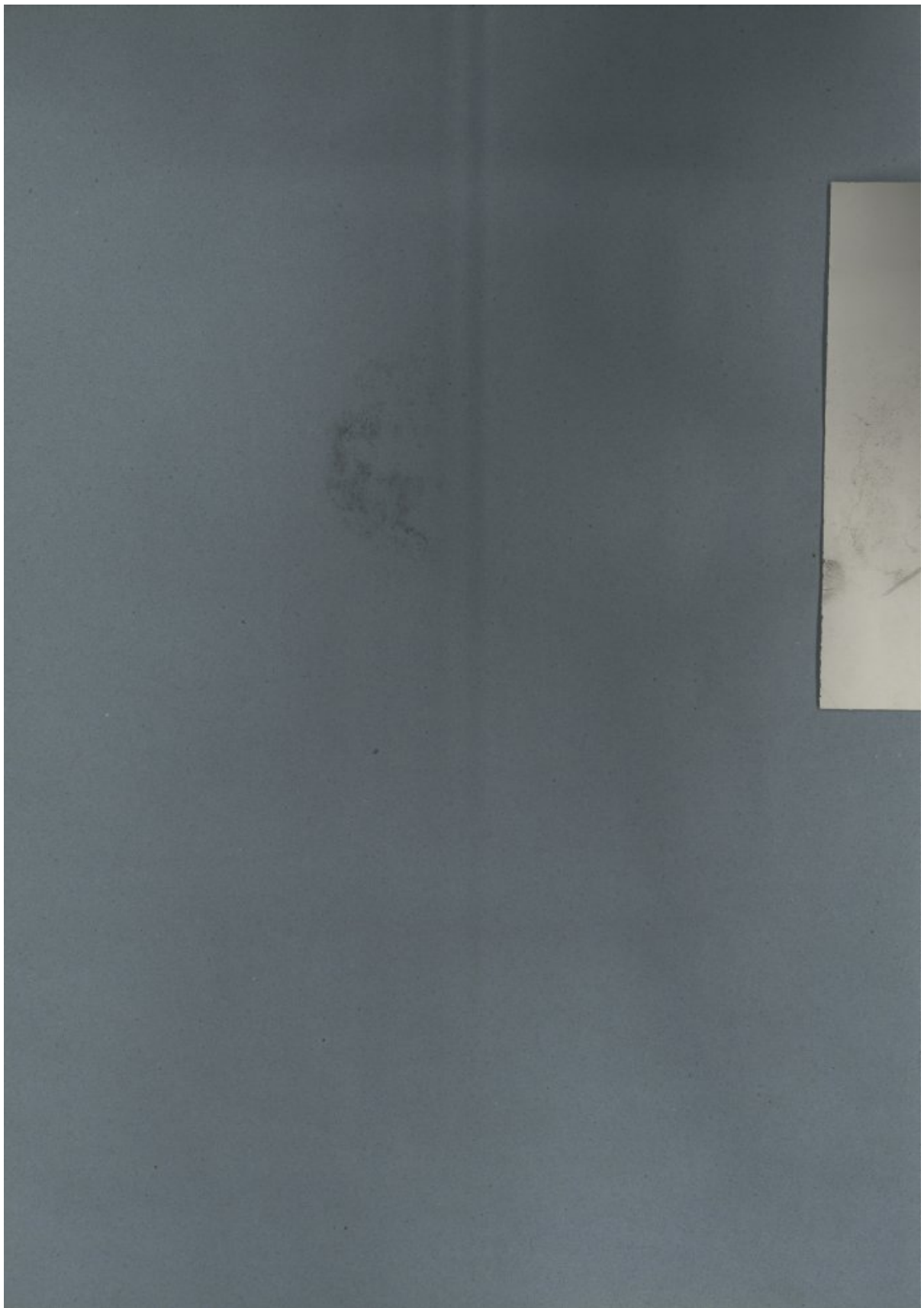
Leur position est telle que
le liquide s'écoule par le col utérin et se rend dans le vagin.



*Quoniam fides hujusmodi fabricata
est Ulceris.*

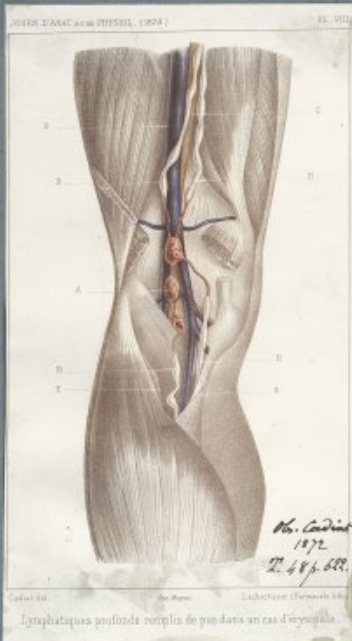
1864. (Randelle')







Kyste interstitiel de l'Utérus, ayant simulé un kyste ovarique et enlevé comme tel.
Obs. Caudebat T. XLIII p. 392.



Ligaments profonds remplis de pus dans un cas d'ovariété.
Ligaments profonds remplis de pus dans un cas d'ovariété.



Observat. de Malacoz
T. XLIV p. 39.

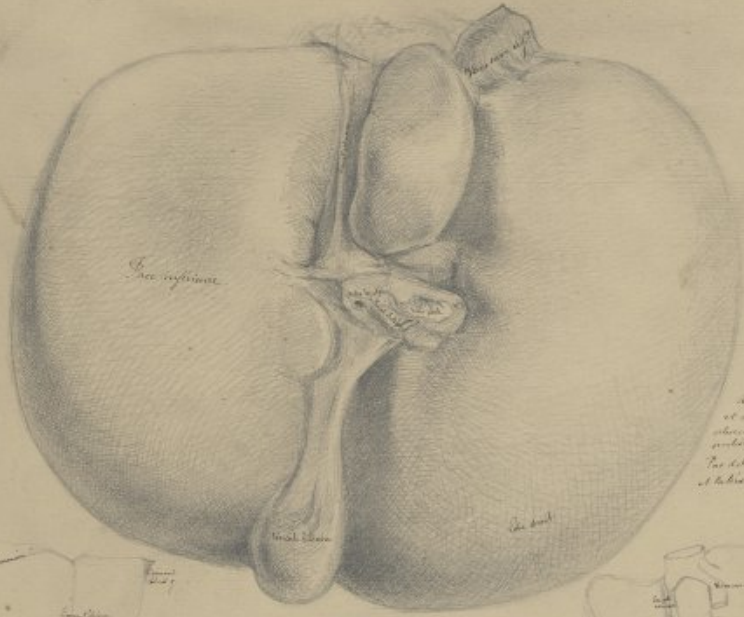
Malacoz
Observat. de Malacoz
T. XLIV p. 39.



Obs. de Rigabert T. XLIX p. 88

Grossesse compliquée des Corps fibreux
de l'Utérus. Attachement spécial d'un
Fetus marte.

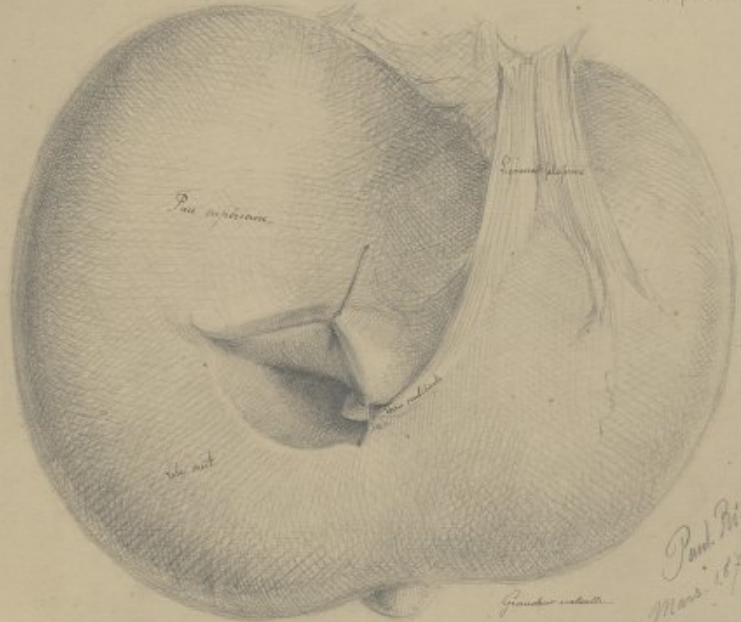




Abaisse le lobe gauche
et antérieur —
abaisse le centre, placez le
cystoducte, et les affluents.
Les lig. foveolaires, membrane
et lésions.



Anomalies du Foie



Il s'agit d'un cas de
cystoducte, et les affluents.

Paul Ricquier
Mars 1874

Reçu par le Dr. Ricquier le 17 Mars 1874
par M. Ricquier - autres copies









Obs. Alling T. XLIV. p. 280

Alling

Carboisière. St. Eugénie 9. Mai 1869.

— Cancer de l'épiploon —

(Fac. de Médecine
Paris le 10 Mai 1869)



Obs. Alling T. XLIV p. 291.



Alling

Foie Syph
par le pathologiste
Lariboisier
24 St Augustin vis. Au

Obs. Alling T. XLIV p. 290



Alling

Obs. Alling T. XLIV p. 290

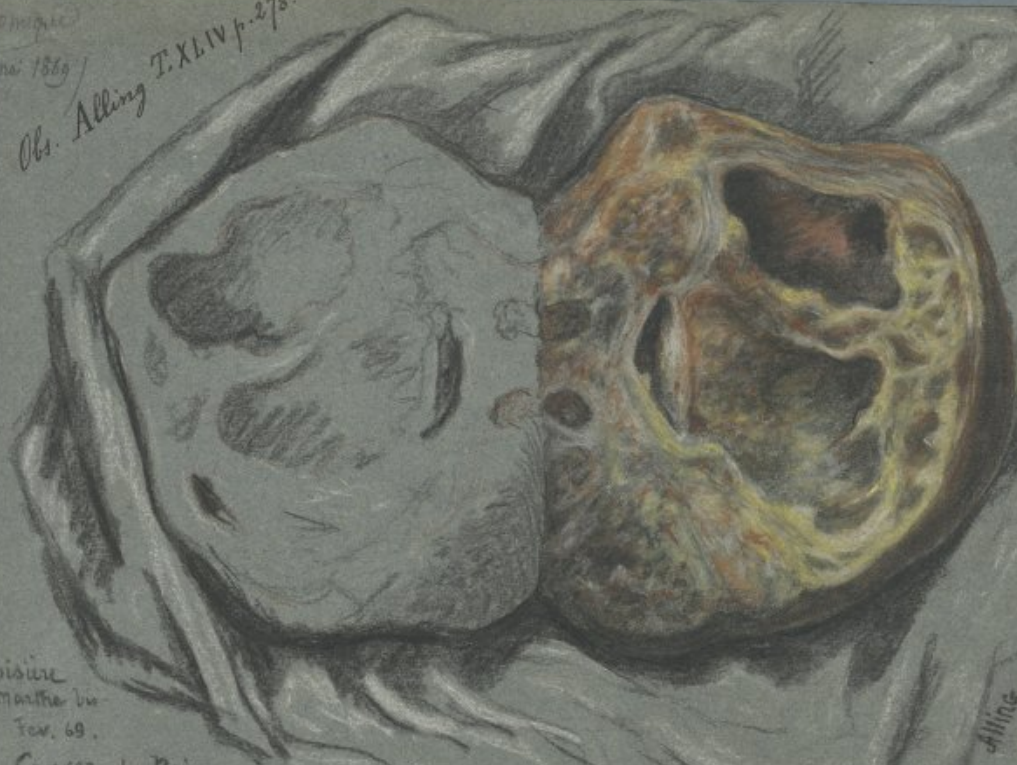


Jeune de Paris

Paris le 10 Mars 1824



Obs. Alling T. XLIV p. 278.
mai 1869



Paroissière
St Mathieu du
Fev. 69.
Cancer du Rein.

Alling

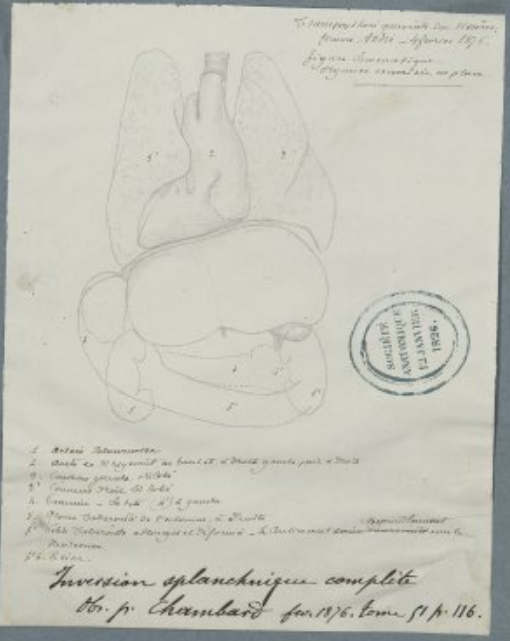
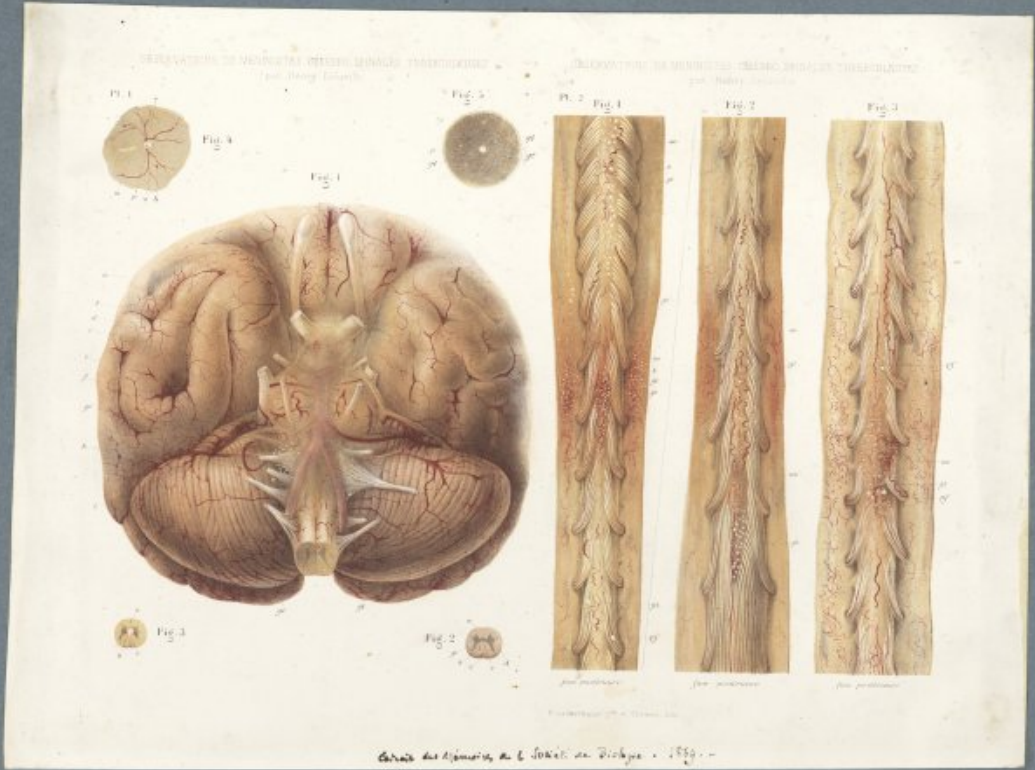
Obs. Alling T. XLIV p. 278



Paroissière Juillet 1869
N° 28 St Augustin des
Keele U. J. H.

Alling







Obs. Cornillon T. XLV p. 149.



G. Bellan

Retraitement pénien
J. Cornillon 11 fé 1870.

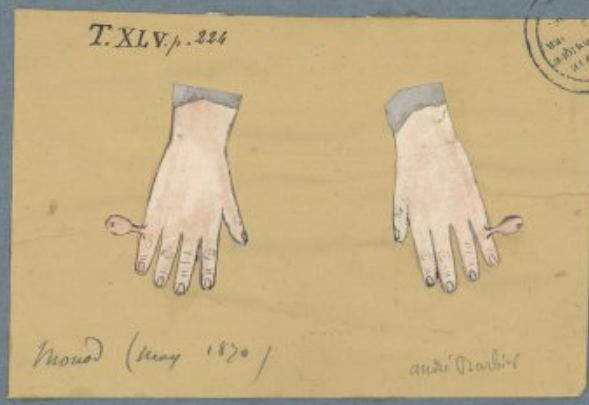
Obs. Cornillon T. XLV p. 149.



G. Bellan

Retraitement pénien
11 fé 1870







Anévrysme du Canal artériel
No. Renaut 7. T. XLIX p. 238.



*Renaut
1870*

Renaut - May 1870

No. Héritier T. XLIX p. 128.



Séance du 12 février 1874.

Héritier int. des hôpitaux.

*Anévrysme à l'origine artérielle - Anévrysme valvulaire sans anévrysme -
Compensation valvulaire.*





Calculs du Bassinet

1868

Présentation de M. Renault
 ann. int. de laur.
 T. XLIII p. 568.



M. Renault a. notarium del.

A, B, C, Calculs remplissant le Bassinet Gauche.
 a, b, c, leur surfaces de jonction.
 D, l'un des ix calculs mésentériques au Bassinet droit.
 d, surface par laquelle il s'est uni avec son congénère.



Morand de l'Hôpital Cochin

Dissectio corporalis du globe cérébral dans
 un fœtus atteint également d'hydrocéphalie et de
 lux de l'œil.

Service de M. le Docteur Blatin

Obs. de Dupuy

T. XLIX. p. 12

- 1. - Excipuloide.
- 2. - Supraorb.
- 3. - Langue de l'œil enroulé autour de la base de l'excipuloide.
- 4. - Langue de l'œil enroulé autour de la base de l'excipuloide.
- 5. - Os intermaxillaire.
- 6. - Os maxillaire supérieure.

Fœtus humain, monstre acéphale
 Bull. Soc. anat. G. L.
 p. 352.



C. même, vu par la partie latérale gauche.

- 1. Corda. ombilical.
- 2. Brach. supérieur gauche, vu de son côté externe.
- 3. Dépression indiquant le point de jonction entre le bras et le tronc.
- 4. Brach. supérieur gauche, vu de son côté interne.

(sans pied)

Présentation Renault. 21 Mai 7.

Prescrit de
Villard

Plaques représentant qui ont été
conformément en quelques genres de
faune; - observé de l'histoire et de la
partie supérieure du visage; - toujours et
occasions bien conformes -

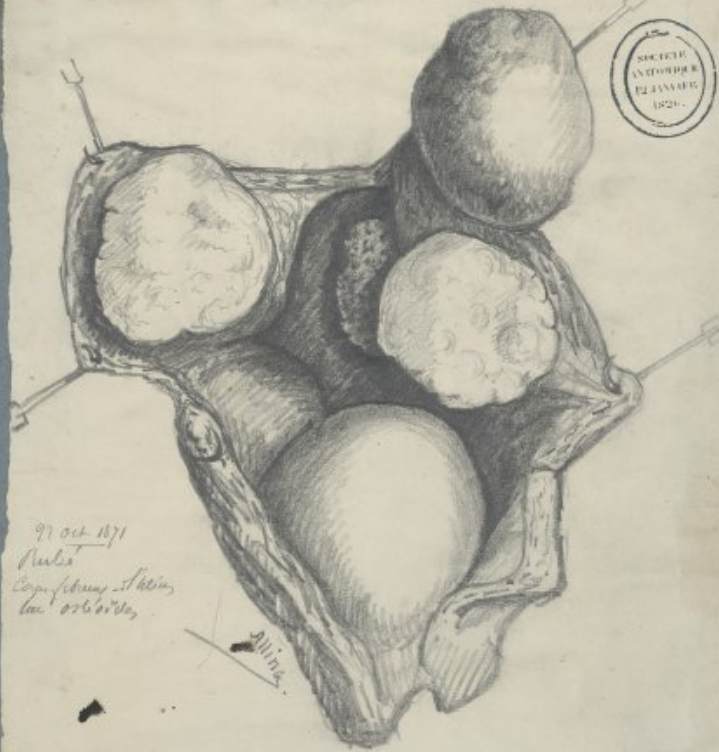
Les figures anatomiques ont été recueillies
de un faune morte dans le sud de la
de Gallie à la Libie - et ont été présentées
à la Société Anatomique de Villard

Lignes applicatives à la plaie:

- A - face postérieure de la main qui est rabattue sur le poignet
- B - Canal de l'oreille de côté droit
- C - face antérieure de la main
- D - Oreille droite avec son cartilage externe
- E - Intérieur de la main et de la face qui appuie l'oreille
- F - Cerveau fémur représentant l'os de la main
- G - Radius
- H - Ulna
- I - Radius et la main de face de côté droit
- J - Radius et la main de face de côté gauche
- K - Radius de côté

3 H/6

Pl. Rubé T. XLVI p. 323.



97 oct 1871
 Rubé
 Copie de la planche
 au 026/026

Alvins.

Reproduction de Villard sur anat. T. XLV p. 281.

REVUE PHOTOGRAPHIQUE
 DES HOPITAUX

BIBLIOTHEQUE ANATOMIQUE 12 JANVIER 1826

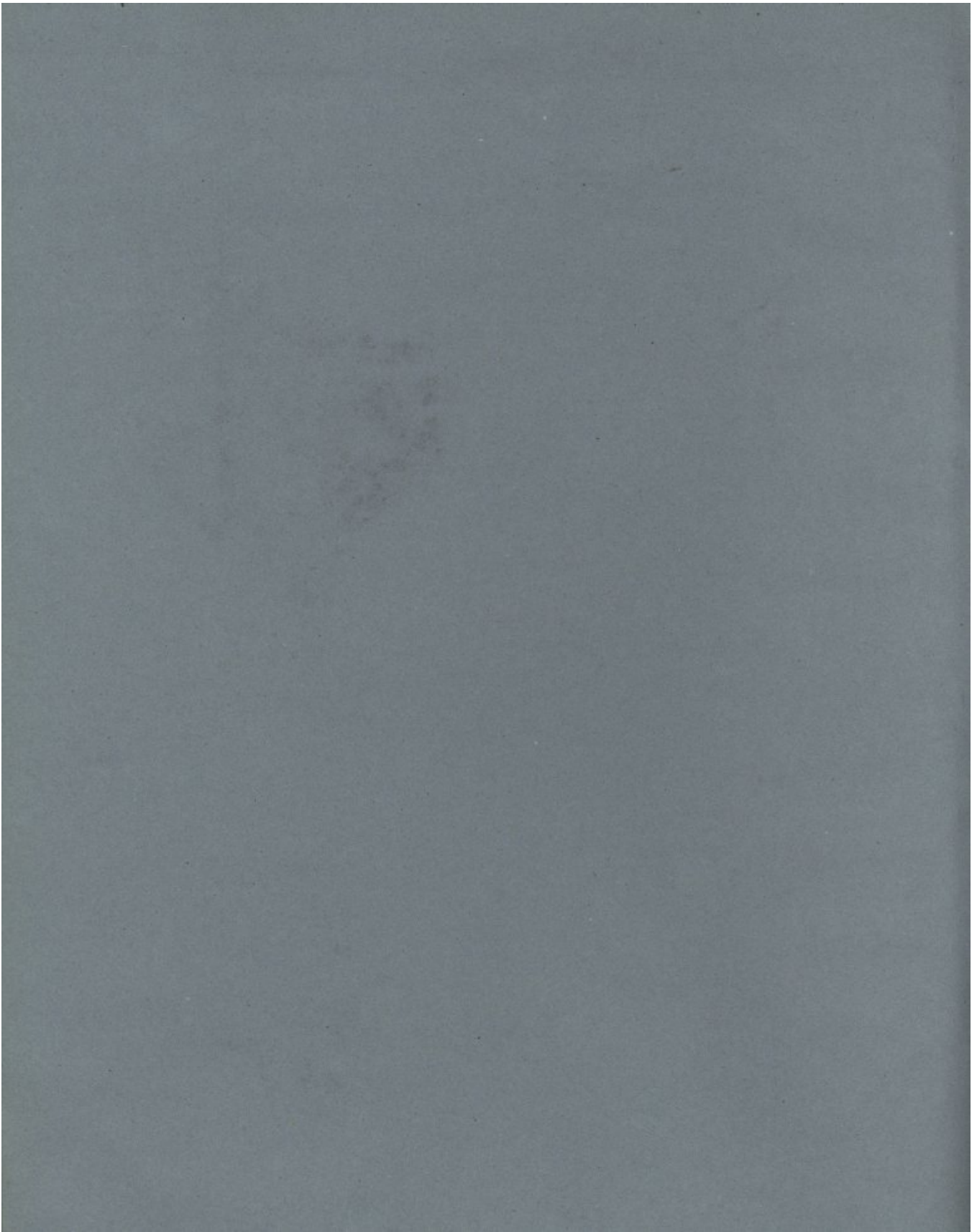


Recht 5118

ORGANES GÉNÉTAUX INTERNES D'UNE FEMME

(1871 MONTPELLIER)

(Service de M. Gallard - Hôpital de la Pitié)



Ulcres contenant 2 Cafres au corps fibreux, et une tumeur cancéreuse fermée, nées par le port de l'opium.
Obs. Hubert T. XLVmp. 499



H. Hubert

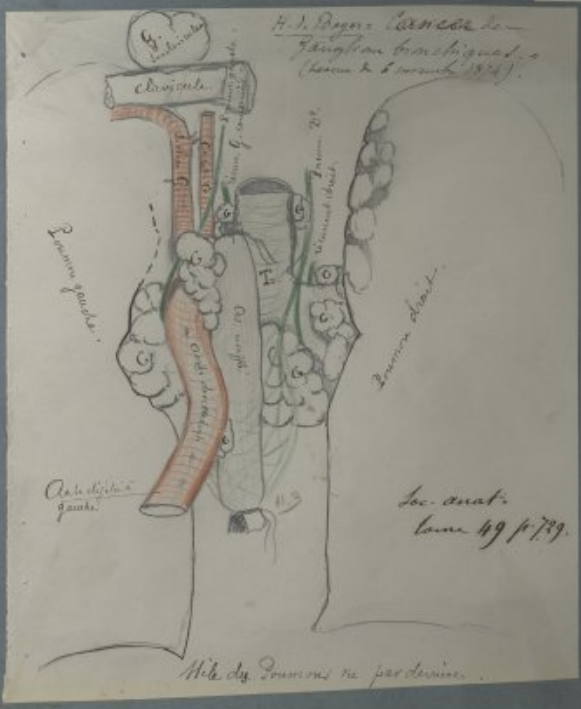


24 Oct. 73



Copie d'un anatomiste de la face interne de l'opercule... d'après un ophtalmologue

visitation de H. Hubert page 6. 50 p 594.



H. A. Boyer, Anatomie de la main humaine (Paris chez B. Baillière 1874).

loc. anat. tome 49 p 739

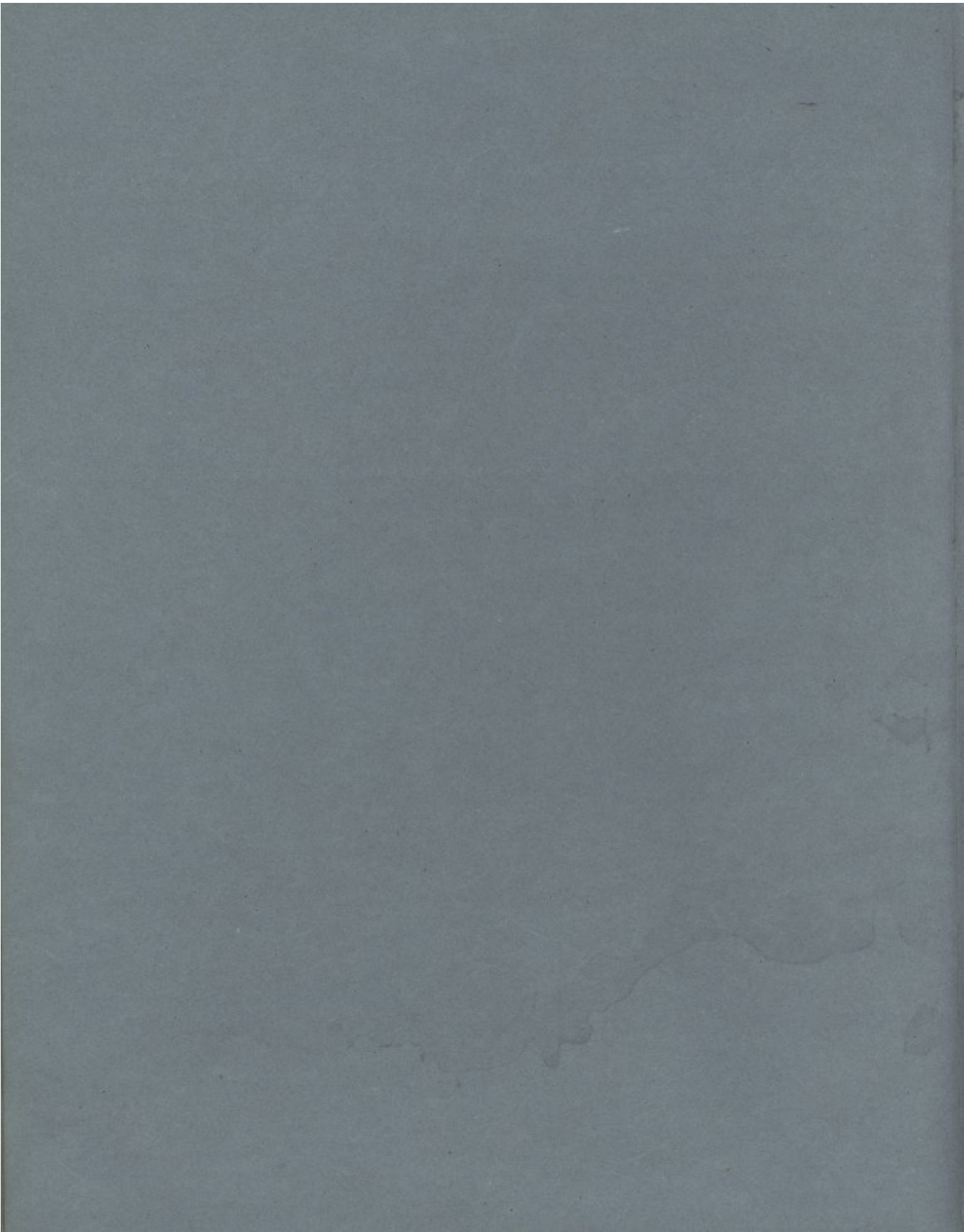
Mlle des Pommiers ne par devine.

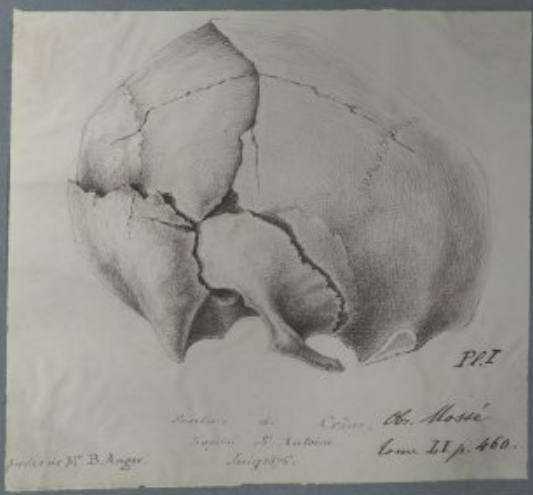
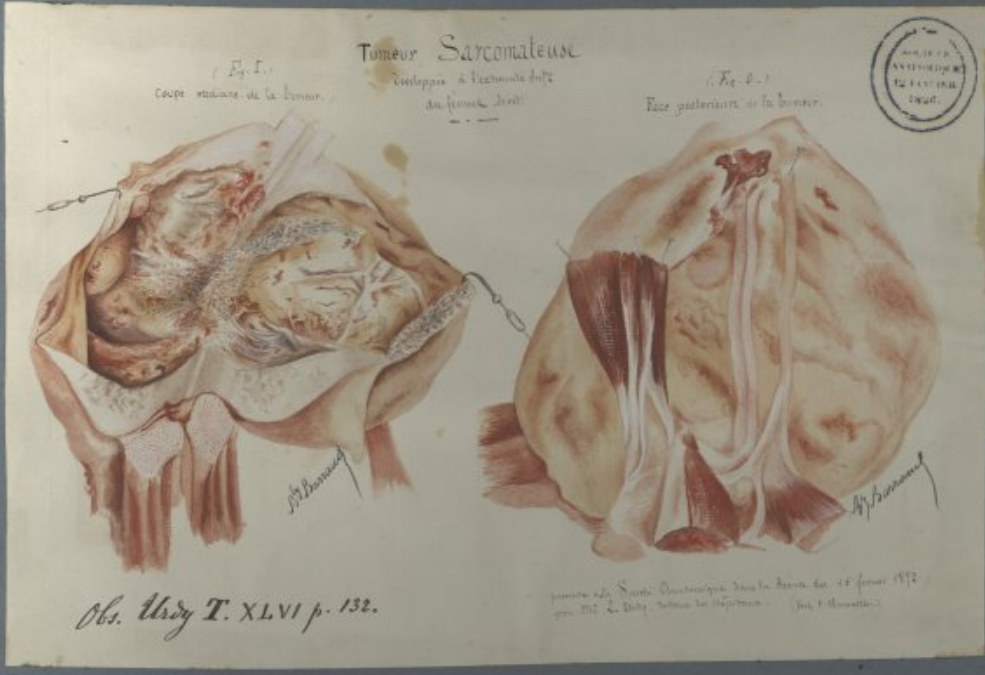


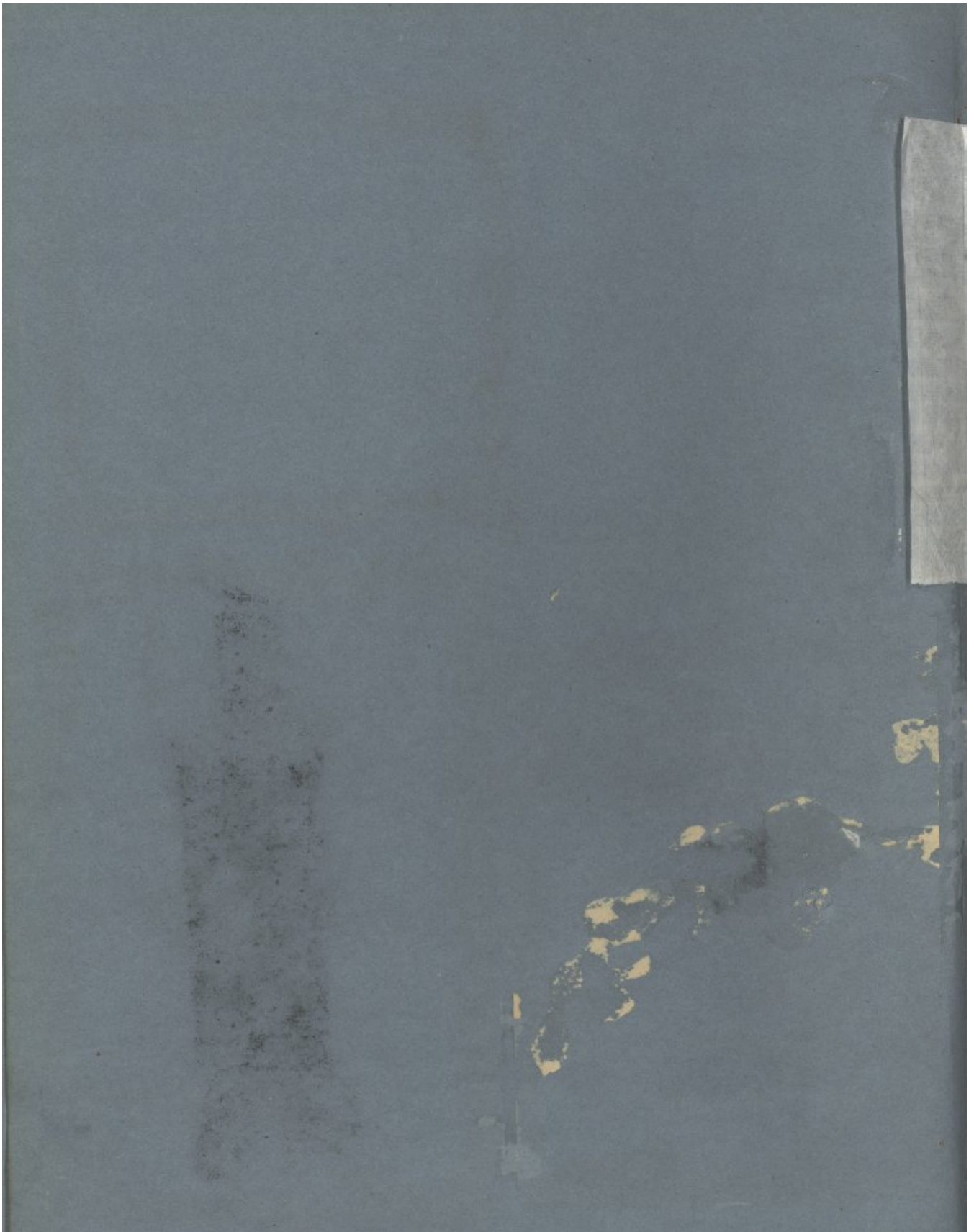
H. A. Boyer, Anatomie de la main humaine (Paris chez B. Baillière 1874).

T. XLIX p 739

face antérieure de la main humaine







Obs. Vallat T. XLVI p. 171



Fig. 1. Fracture de la colonne vertébrale.

Contusion Fracture de Col. Obs. Carlioux 17-Mai 72 T. XLVI p. 311

1. Contusion de la 1^{re} Col. vertébrale
2. Fracture de la 2^e Col. vertébrale



Fig. 1 (Case Carlioux)

Fig. 2 (Case Carlioux)

Obs. Landouzy T. XLVI p. 523

29 Mai 72



Pied bot valgus cicatriciel (suite de 28 Mars 1872)

Pied bot valgus cicatriciel, le bassin devant montrer le pied fléchi sur le tibia et formant avec elle un angle aigu au lieu de l'angle obtus que représente la figure.

Landouzy

Fracture épiroide de tibia Obs. Griquat T. XLVI p. 607

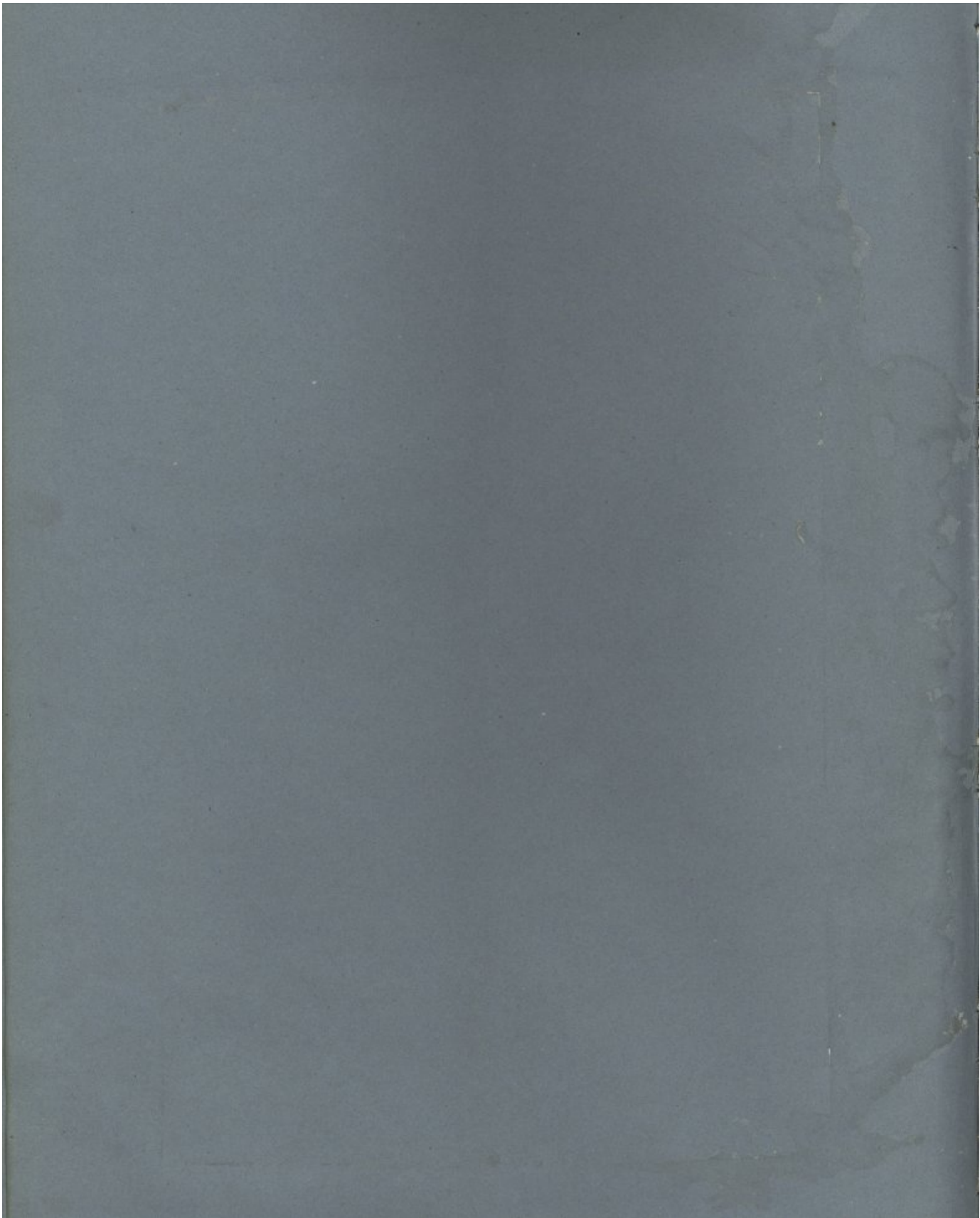
V. supérieur de la fracture

Point d'insertion du ligament croisé antérieur

V. inférieur

Fracture de péroné





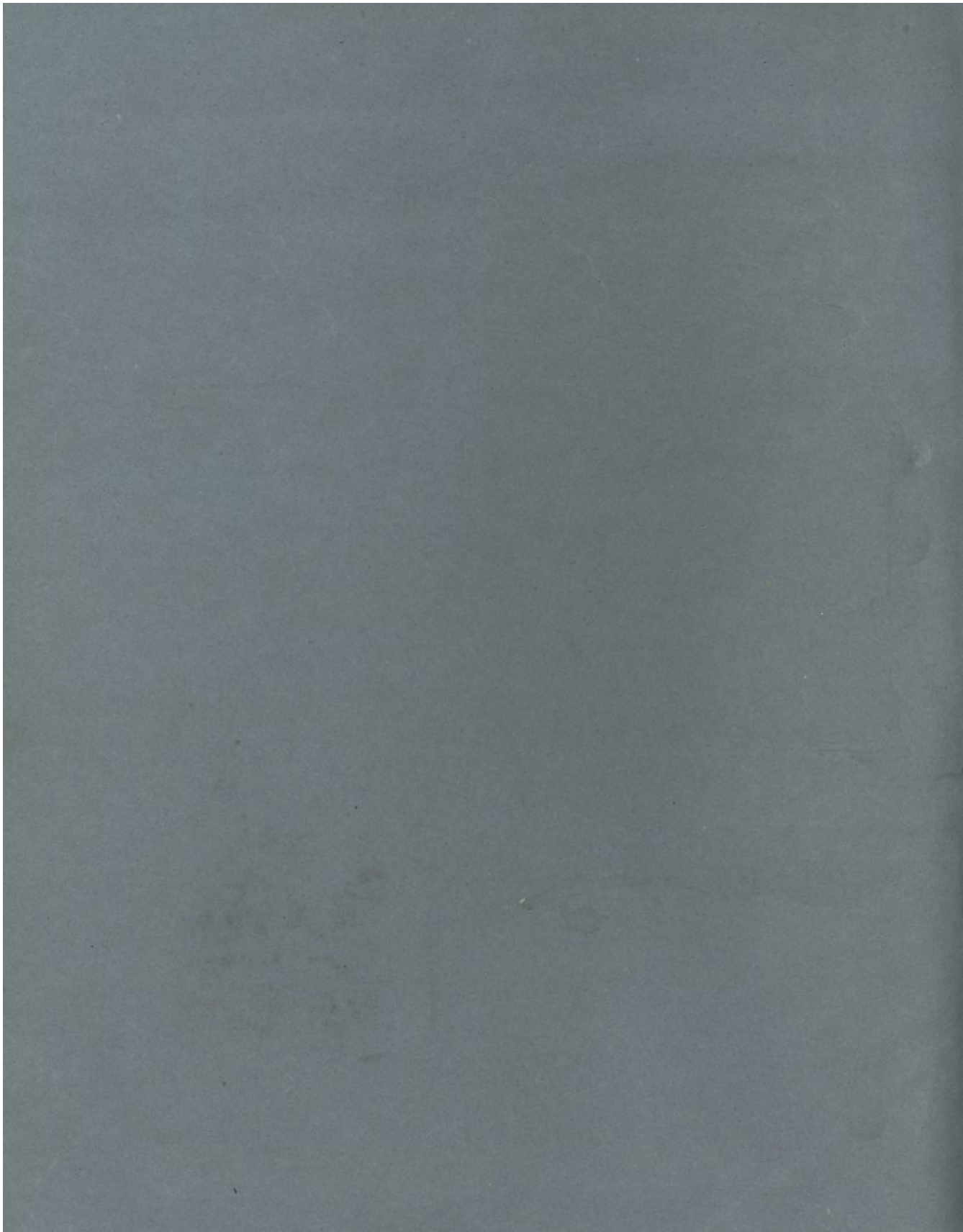


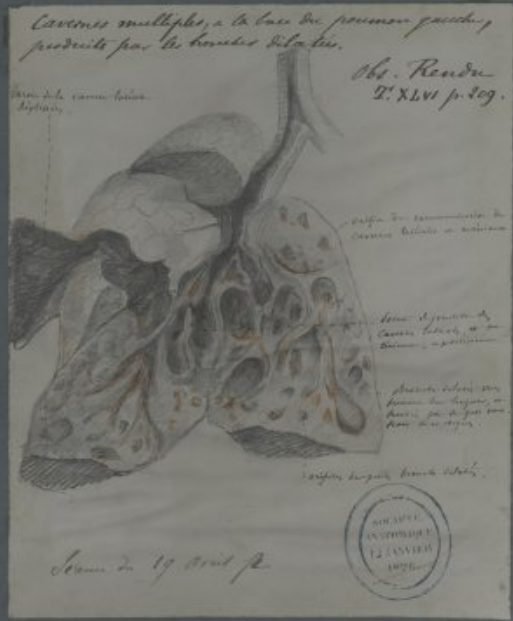
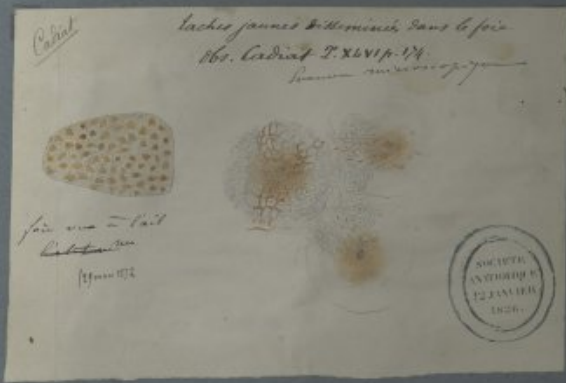
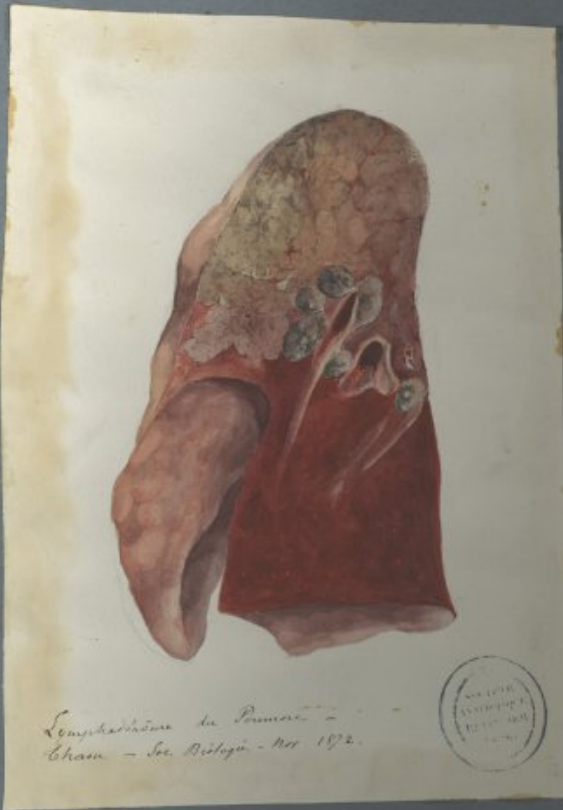
Pl. Landouzy T. XLVI p. 352.

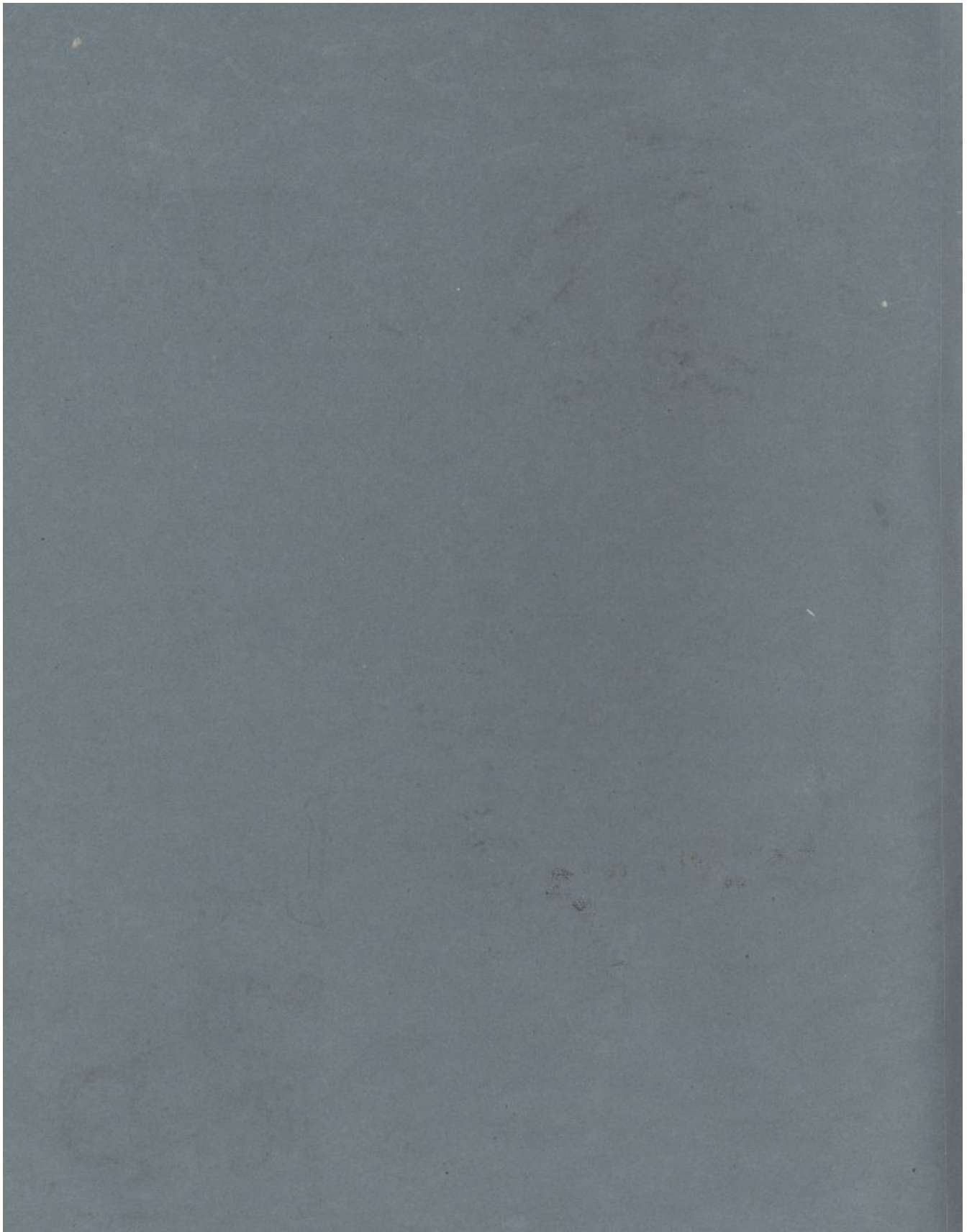


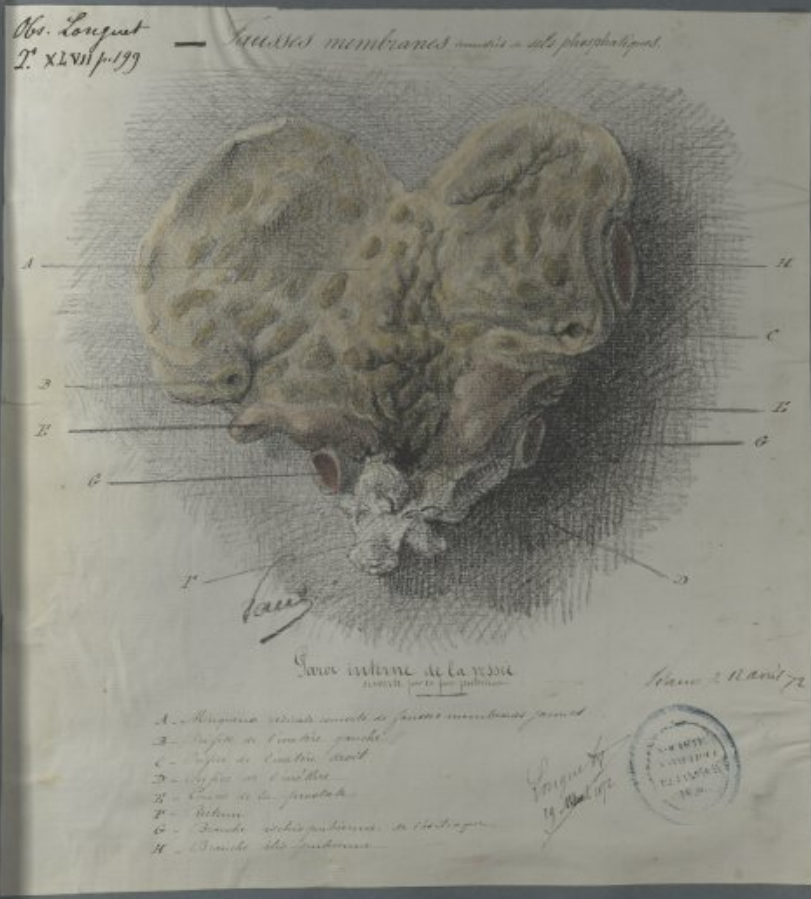
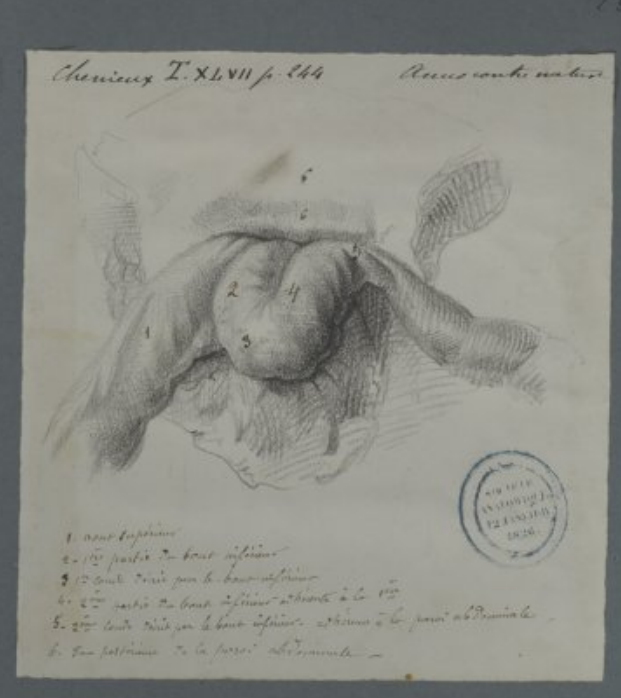
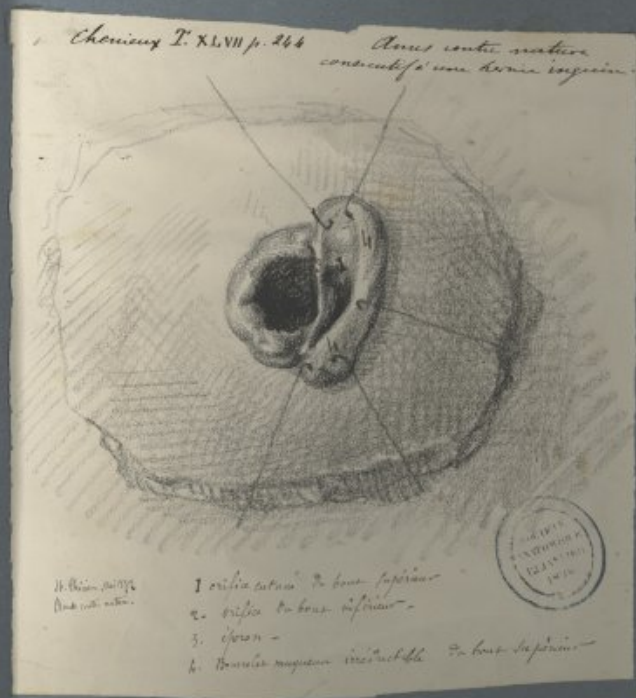
Luxation metatarso-phalangienne des orteils droits

Planche du 19 juillet 1872.

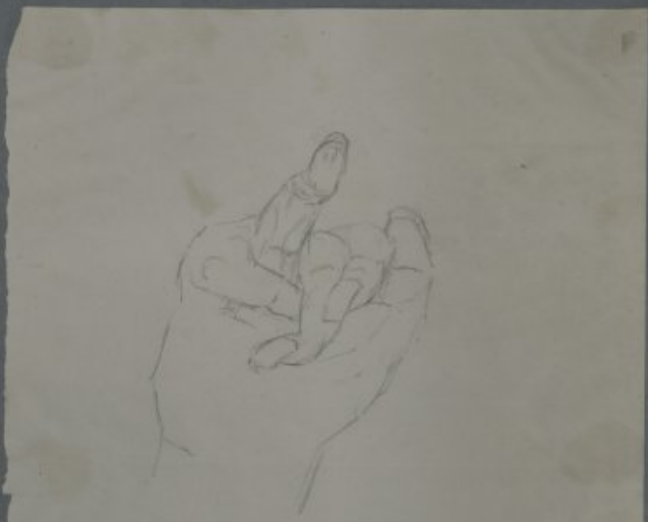




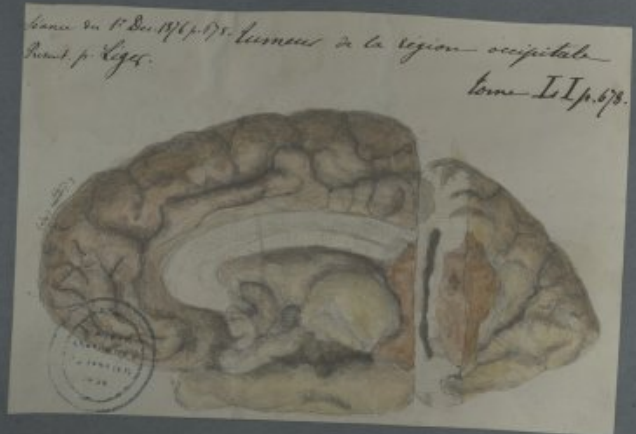


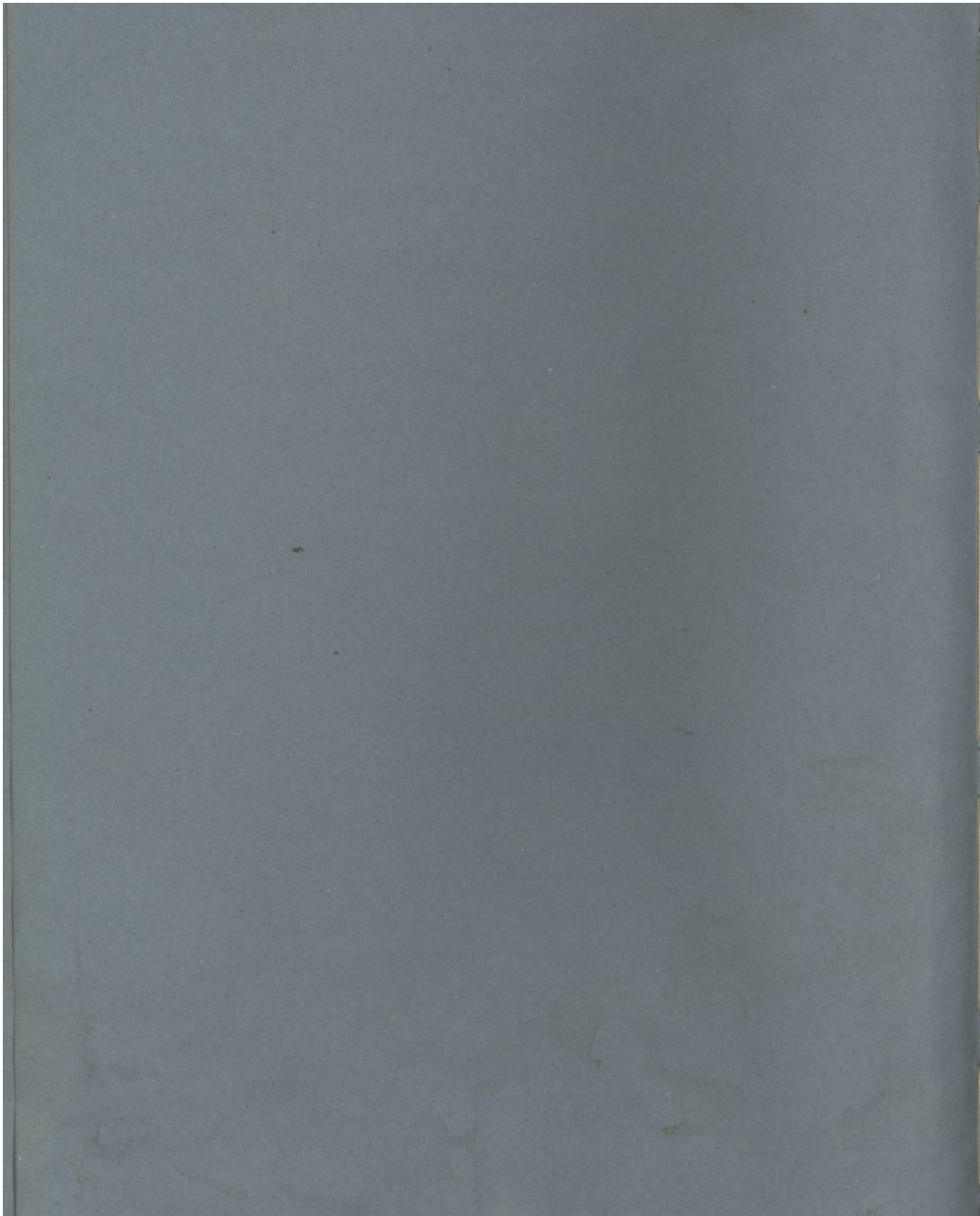






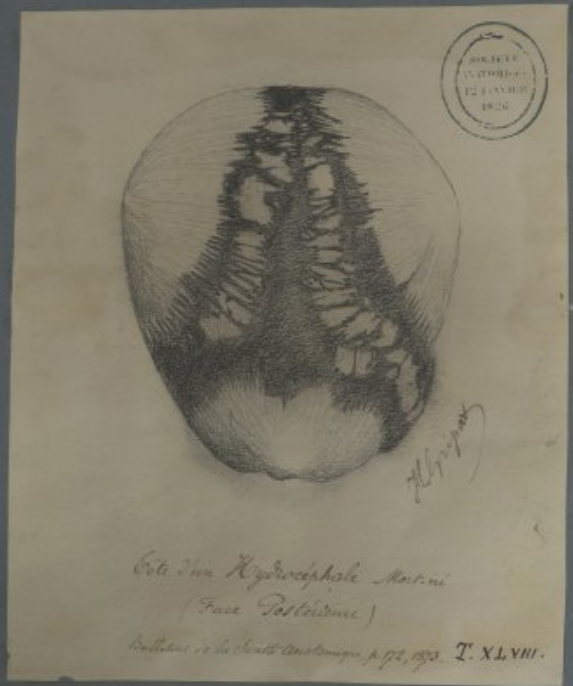
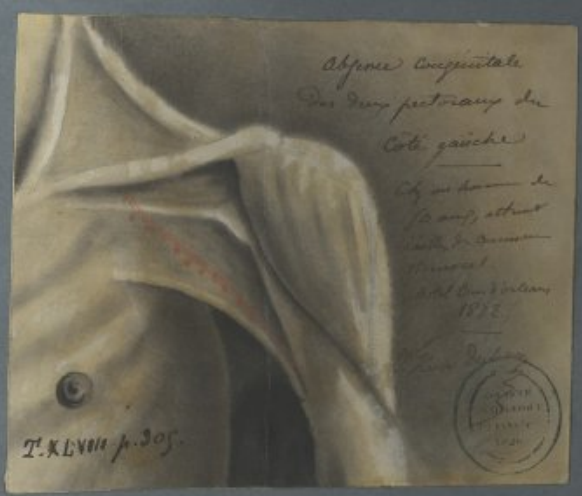
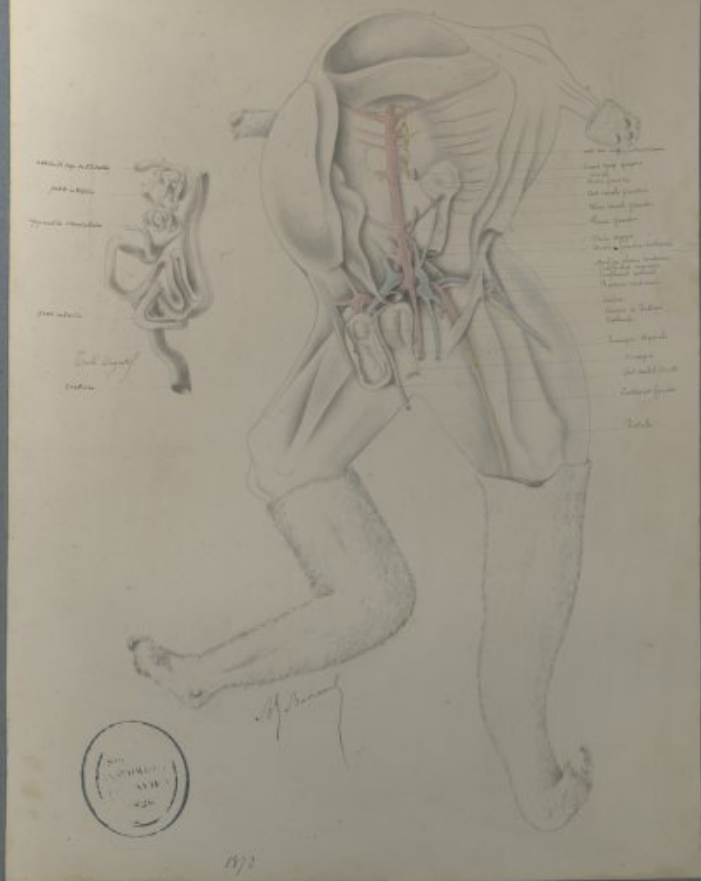
Musculature chronique - Bistouri -
par St. Léger
découvert par M. Land Chagnier, interne.
Paris Anatomique - 21 Janvier 1869 T. XLIV. p. 13.

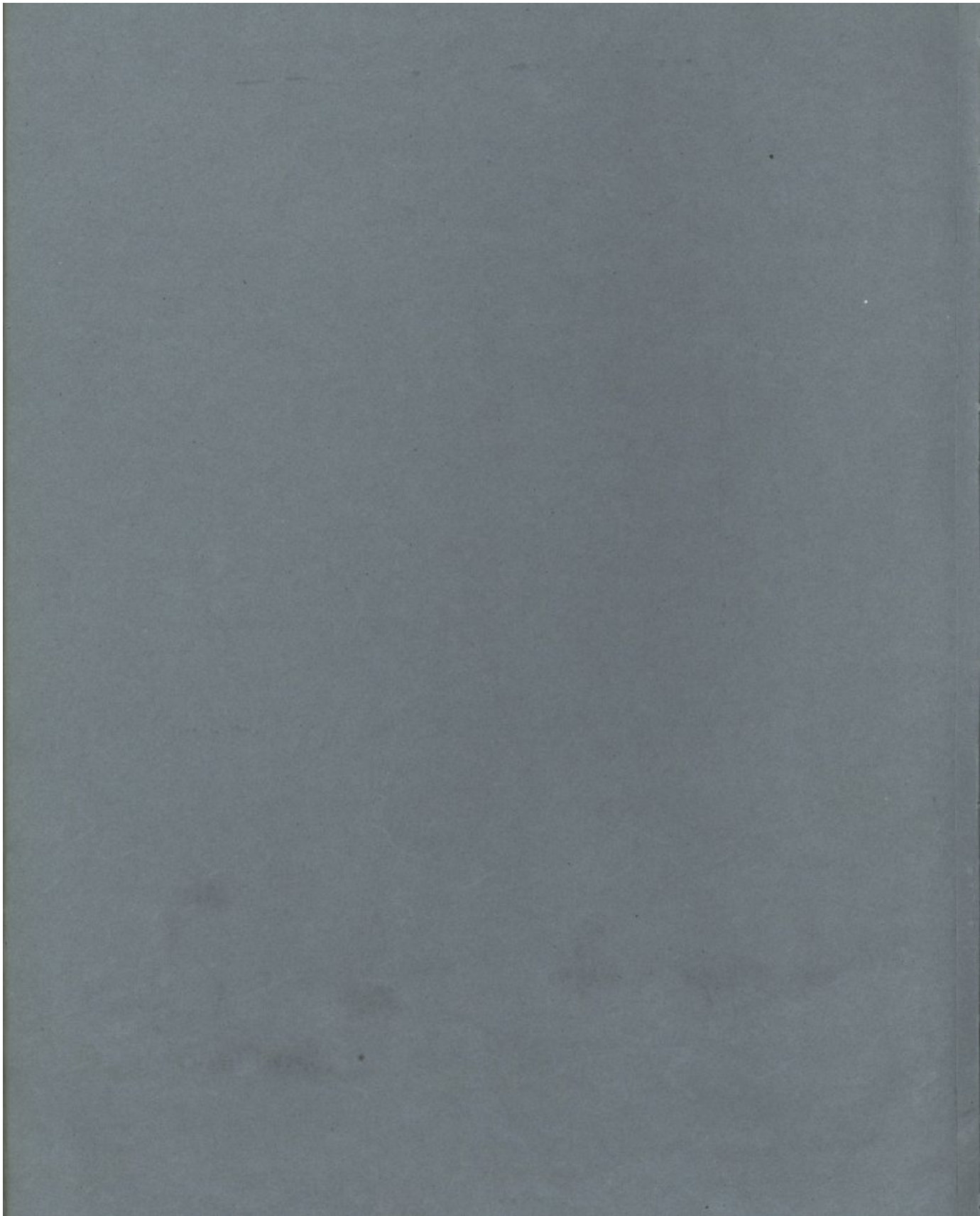




Venue asphale p. H. Grégarat T. XLVII. p. 609.

38





Embolus de l'artere pulmonaire



Le sang porteur de ce coagulum s'est arrêté dans l'artere pulmonaire, et a formé un embolus qui a été enlevé par le docteur Blandin le 20 mai 1820.

T. XLVII

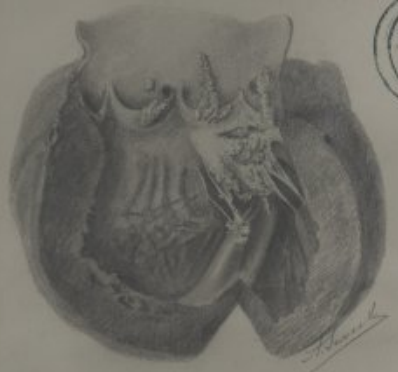


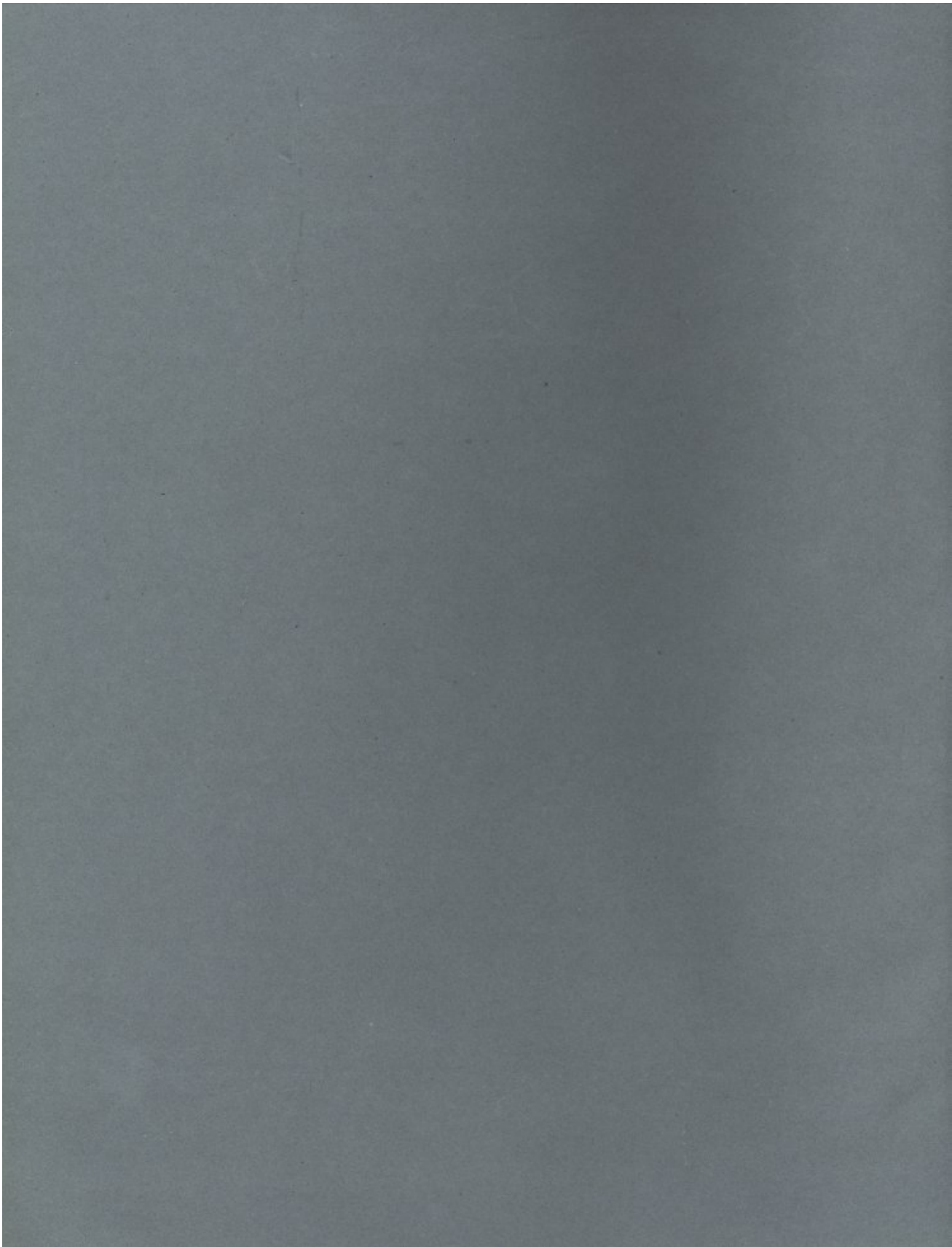
Seviche T. XLVIII p. 319.

*Pneumonie purulente (23 mai 1820)
(Ventre gauche)*



*Tabl. I de la tuberculose (Grand, de mad. Land)
(rapporté à 48 p. 319, p. 320)*





Obs. I. XLVII. p. 463.



Illustr. tab. a la langue. Paris
Mus. Hist. Nat. Paris

Osse chondrome du pomeur.
T. XLVIII p. 108.



Paris 7 fe 1873 - Dessin p. Cassin

Osse chondrome du pomeur. Deux cas de
tumeurs ossees chondromat. du pomeur.

Reclus.
Cassin.
T. XLVIII
p. 109.

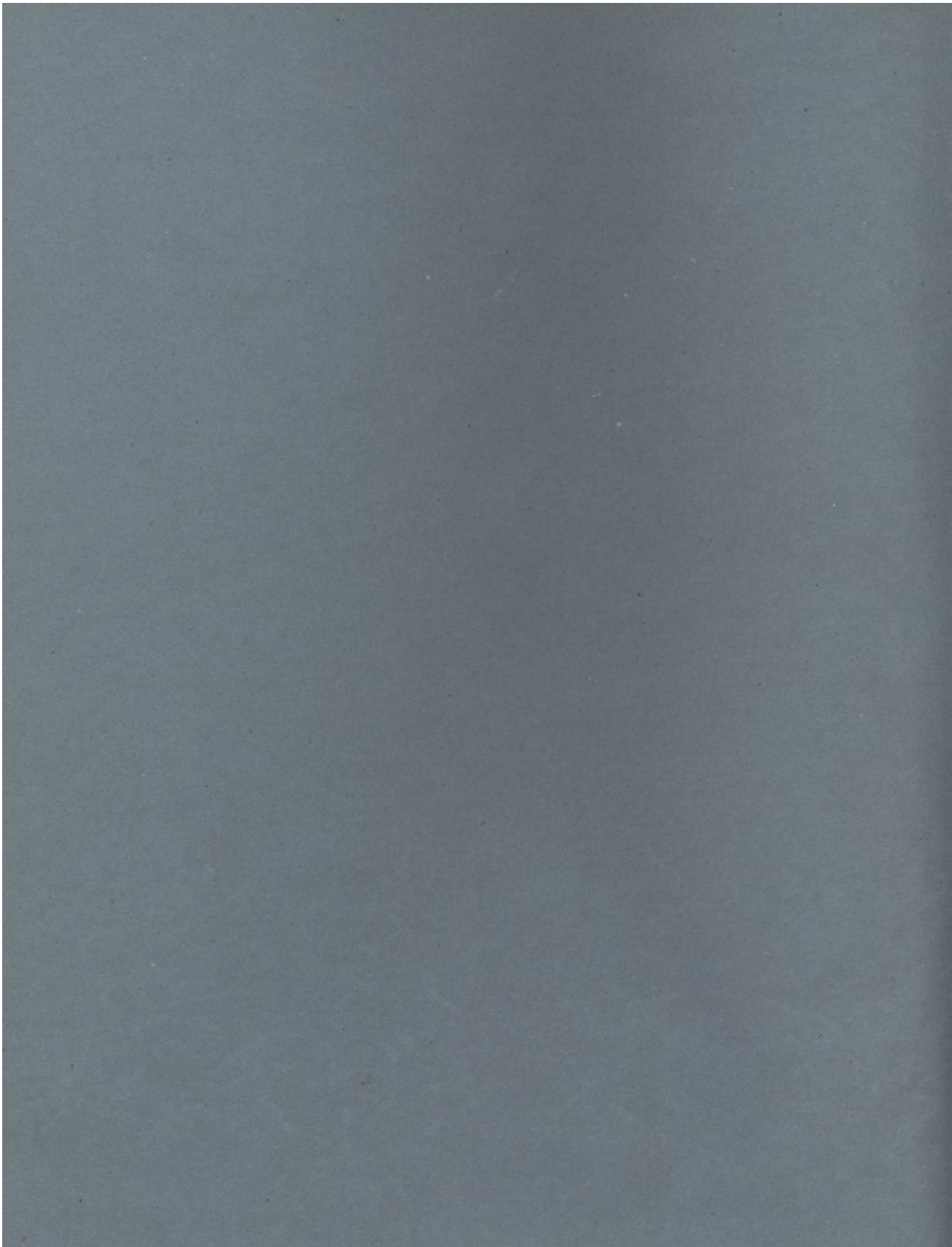


Tumeurs du Pomeur

- (1) Tumeur chondromateuse de la partie postérieure de la cage thoracique, sur la côte VII, à gauche.
- (2) Tumeur chondromateuse de la partie antérieure de la cage thoracique, sur la côte VII, à gauche.



Paris 7 fe 1873 - Dessin p. Cassin



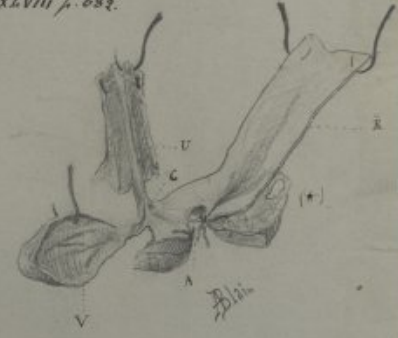
Placenta offrant sur la face fœtale de Kystes.
M. J. Pinard
T. XLVIII p. 688.



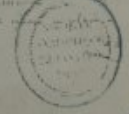
Pinard 1873



Absence d'anus - communication
de l'intestin et de l'ovaire.
M. J. Pinard Pl. I
T. XLVIII p. 682.



(*) Figure d'après l'opinion de Pinard, montrant la relation
normale de l'intestin avec l'ovaire et le rectum.
C. Uterus en position normale - H. Intestin - V. Vagina
A. Anus ectopique - B. File ombilicale



Pl. 2.
M. J. Pinard
T. XLVIII p. 682.



(*) Anus et Rectum normaux par la face postérieure
- L. Vagina - E. Intestin - O. Ovaire
normale - F. Uterus - T. Vagina - B. File ombilicale
P. Anus - E. Intestin



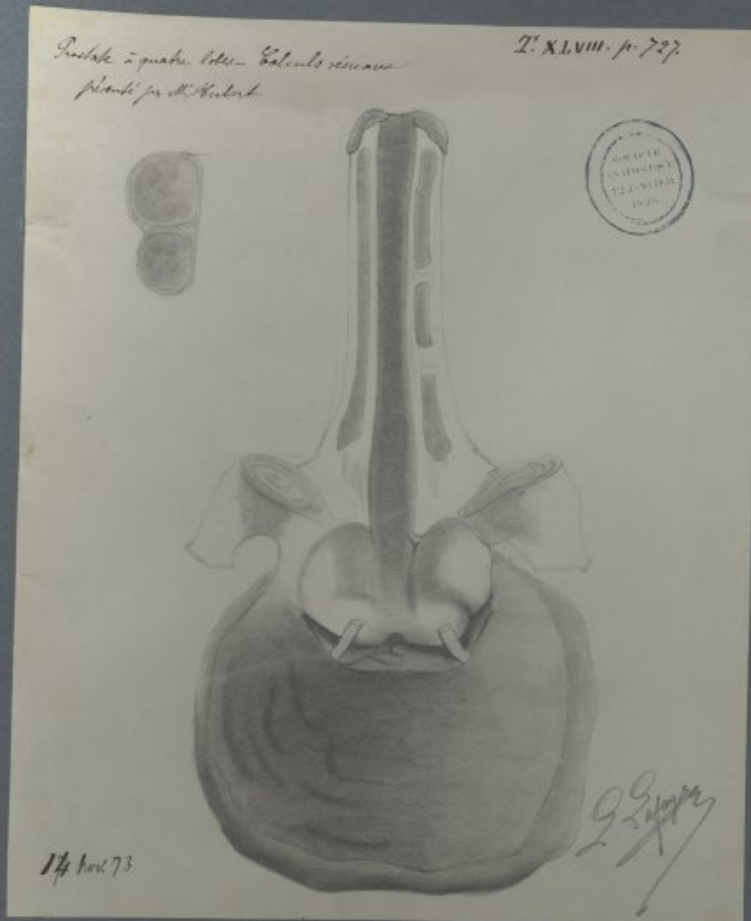
M. J. Pinard Pl. 3.
T. XLVIII p. 682.

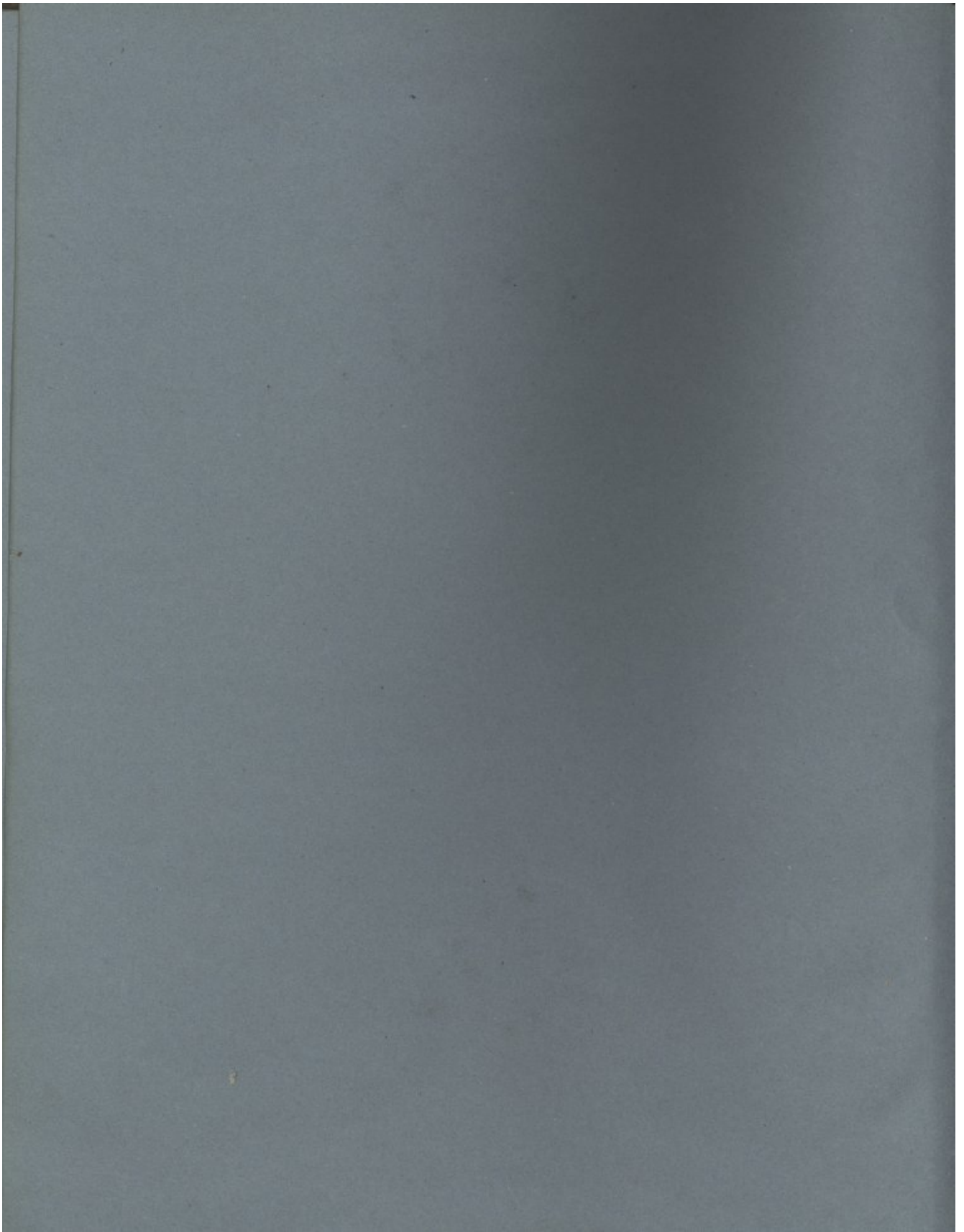


(*) Face postérieure de l'Anus, de l'Intestin
et de l'Ovaire - L. Vagina - O. Ovaire
normale - C. Uterus - T. Vagina - P. Anus
P. Anus - E. Intestin









Cornes et loupe du cuir chevelu

DATE



Cornu sur la tete



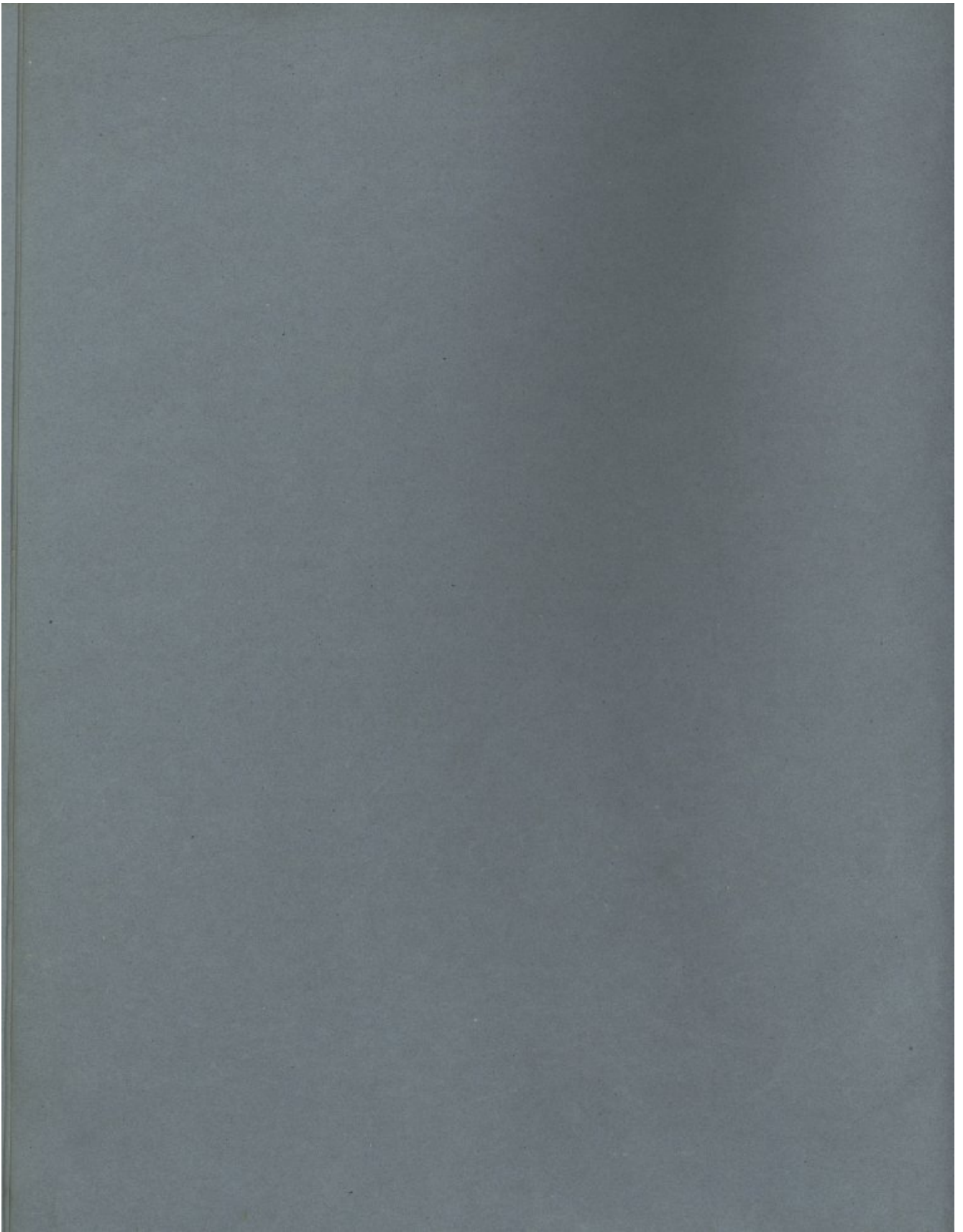
*Mittouviel Jean, 58 ans.
Londres, Communication du 21 Novemb. 1873.
T. XLVIII p. 755.*



Cornu

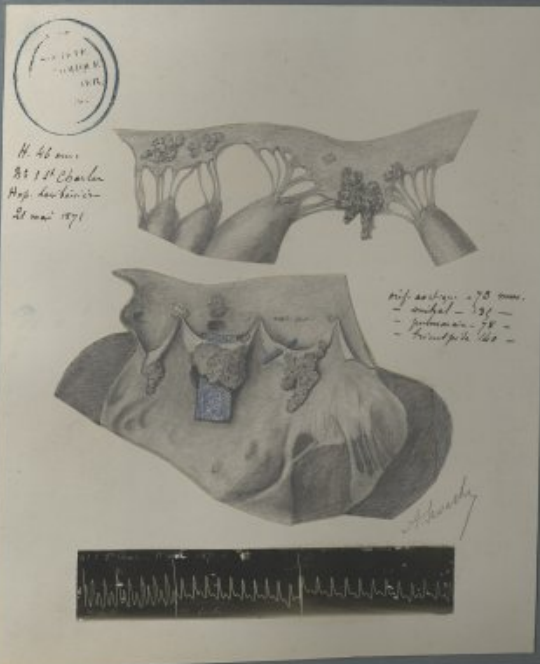
*Vieillesse - Syphilis - syphilitique
par le prof. - sur un Syphilitique*

19 X² 1873





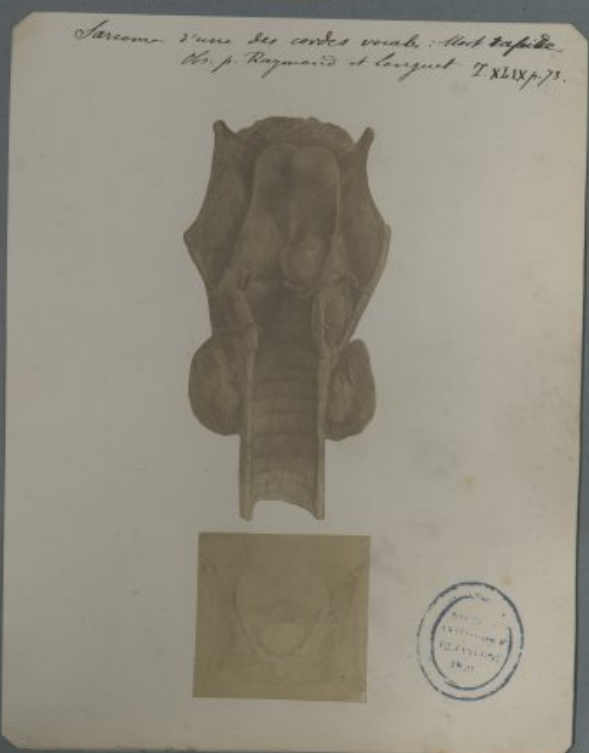
Rupture des tendons du Cœur.
Leantatory de Harrot, année du 26 Decemb. 1838.
T. XLVIII p. 97



H. 46 ans.
85 1/2 Cbarles
Hosp. de la Charité
26 mai 1871

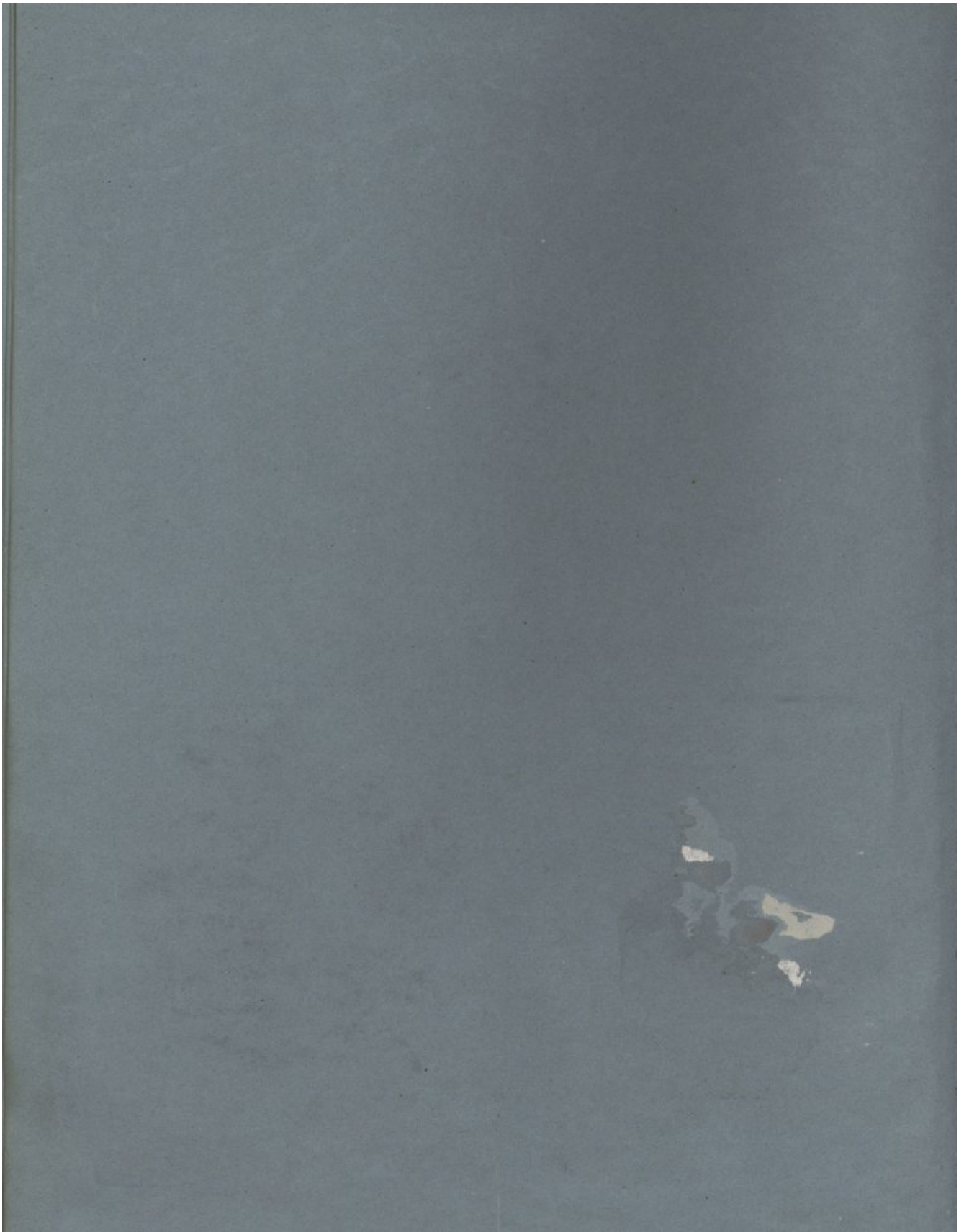
inf. aortique - 75 mm.
- aortale - 55 -
- pulmonaire - 58 -
- tricuspidale - 60 -

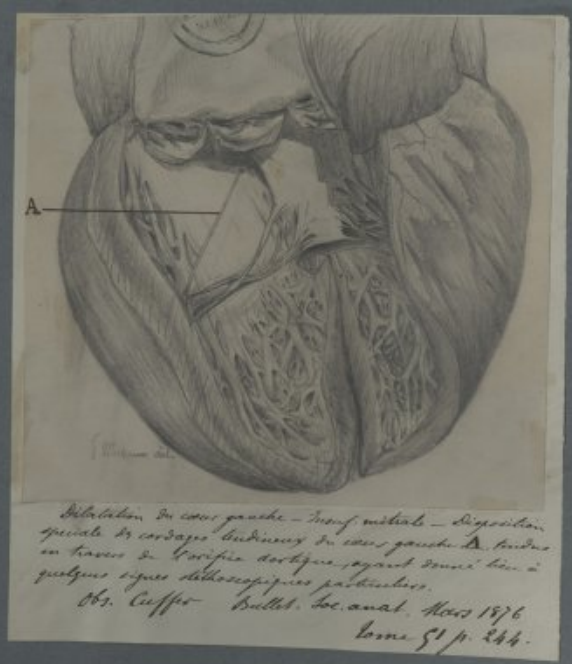
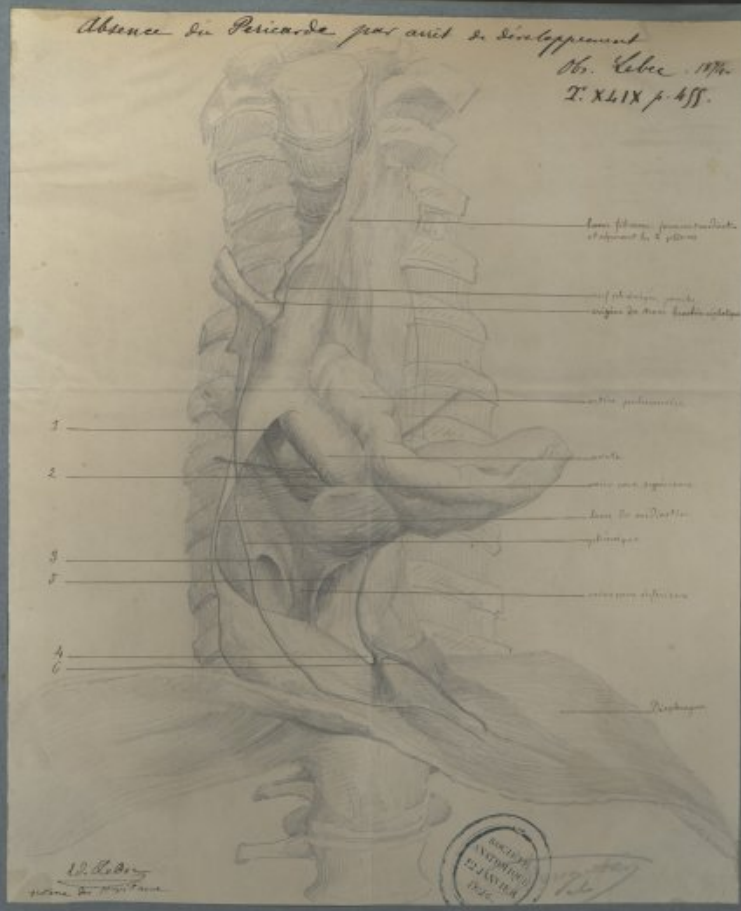
Chamberlayne

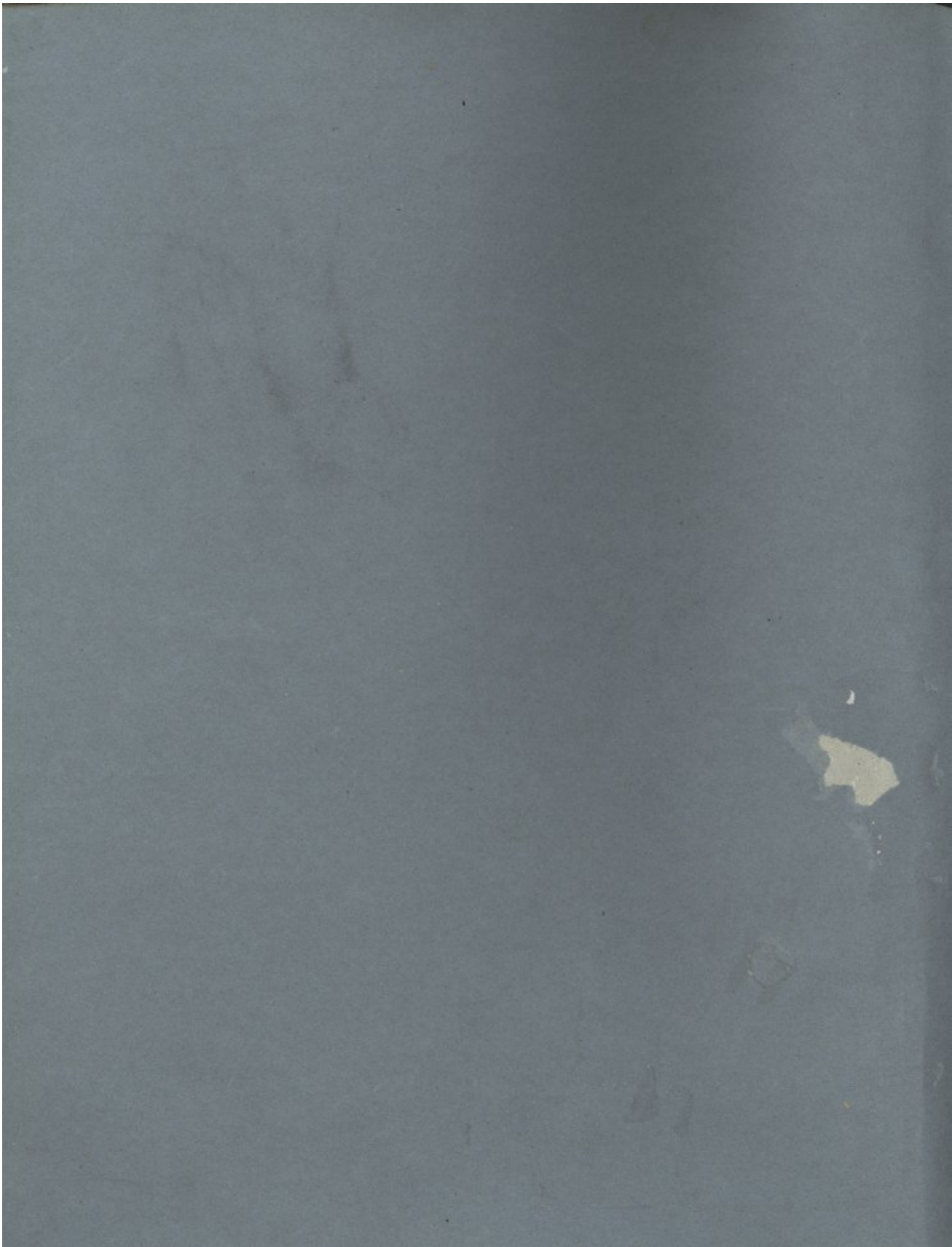


Sarcome d'une des cordes valvulaires: Aort tricuspidale.
Obs. p. Reynard et Lequet T. XLIX p. 73.





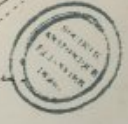




Déviations du crâne; obliquité par propulsion unilatérale. M. Hocquet tome 50 p 56.



crâne vu par sa partie supérieure



Revue du 22 Janv. 75



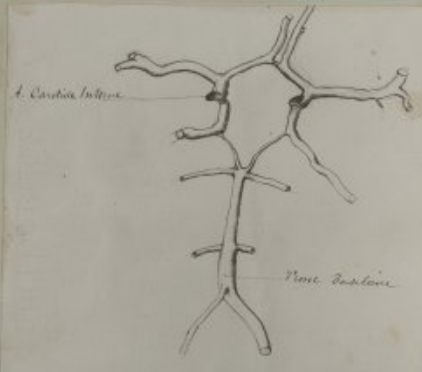
Rétrécissement congénital de l'aorte au niveau de l'arc
6 Novemb. 1874.

Imperméabilité absolue de canal artériel.

Montaud Montaudy.
tome 49 p. 73



Observation d'augmentation double de la mamelle,
par M. Le Double int. de M. Richet.
Nov. 1877. tome 50 p. 118.



de M. de Remy

Anomalie
de
l'hexagone artériel de Willis
No. de M. Remy
Bull. Soc. Anat. Juin 1878
tome I. p. 476.

Cytherezque del' Encéphale (abr. Couv. -)
1875 (p. 84) -

Hémisphère gauche
face interne.



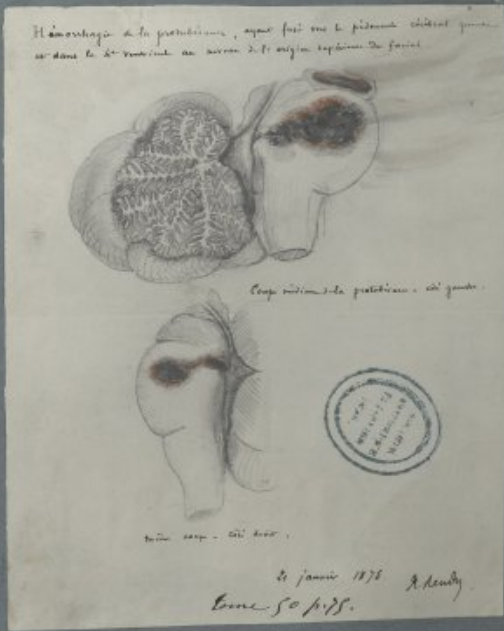
H. Droit
face interne.



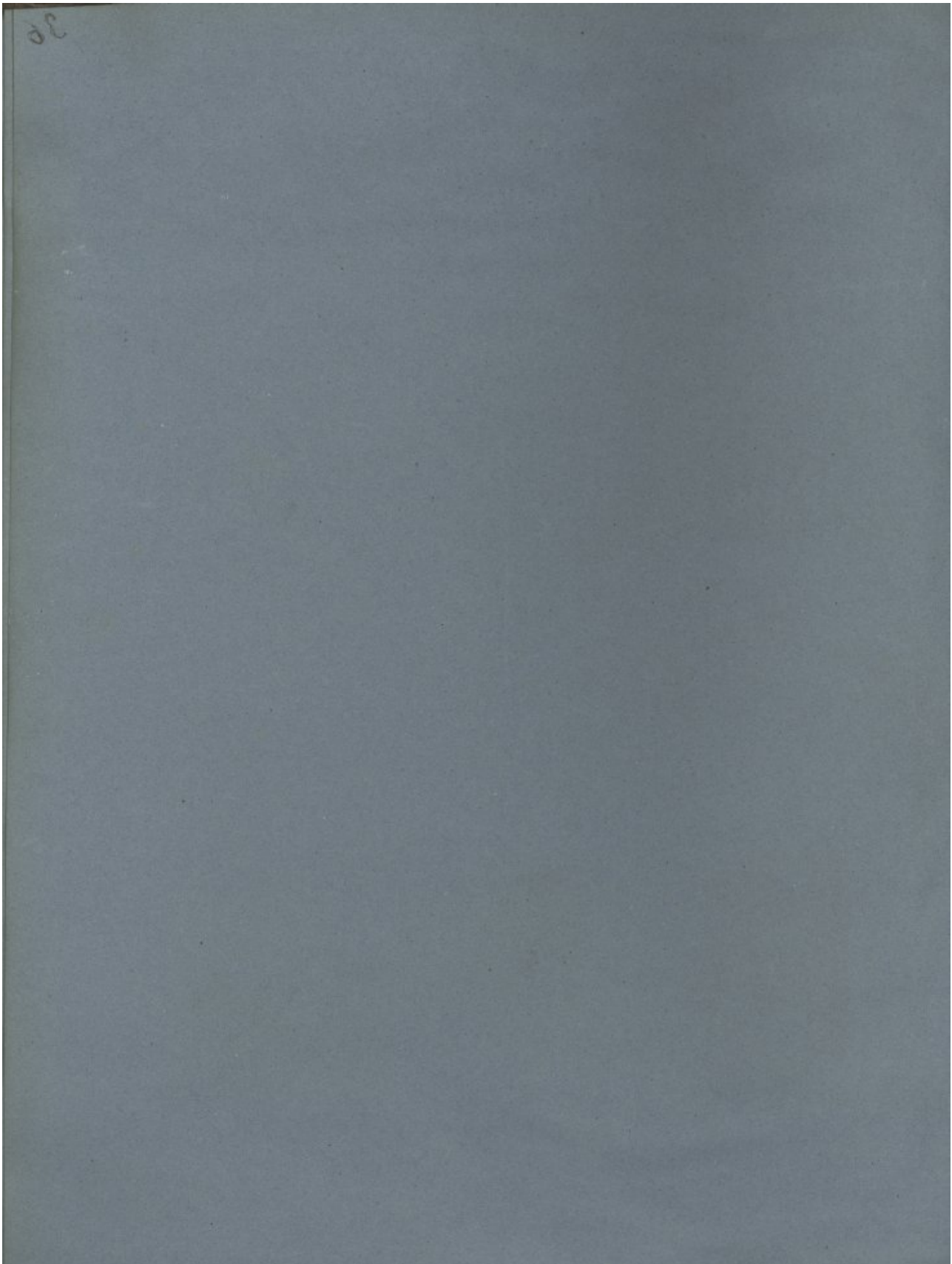
H. Droit
face externe.

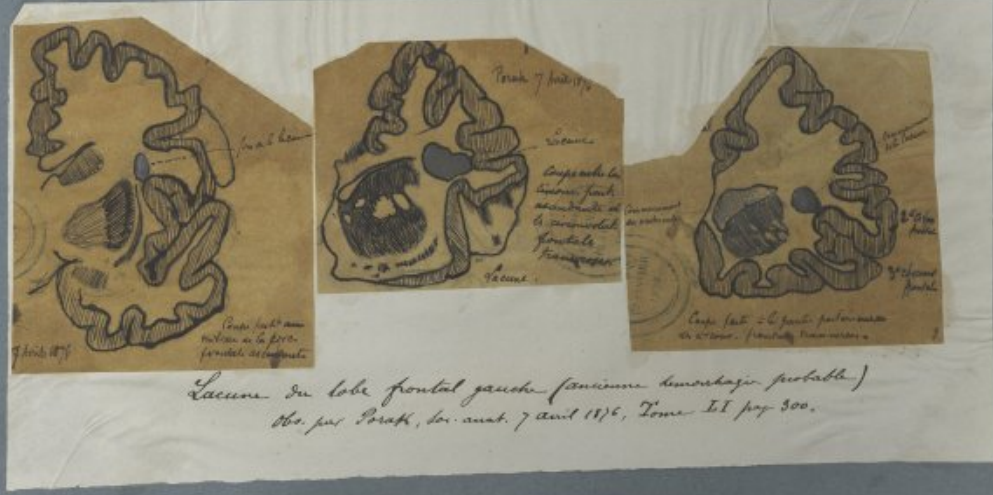
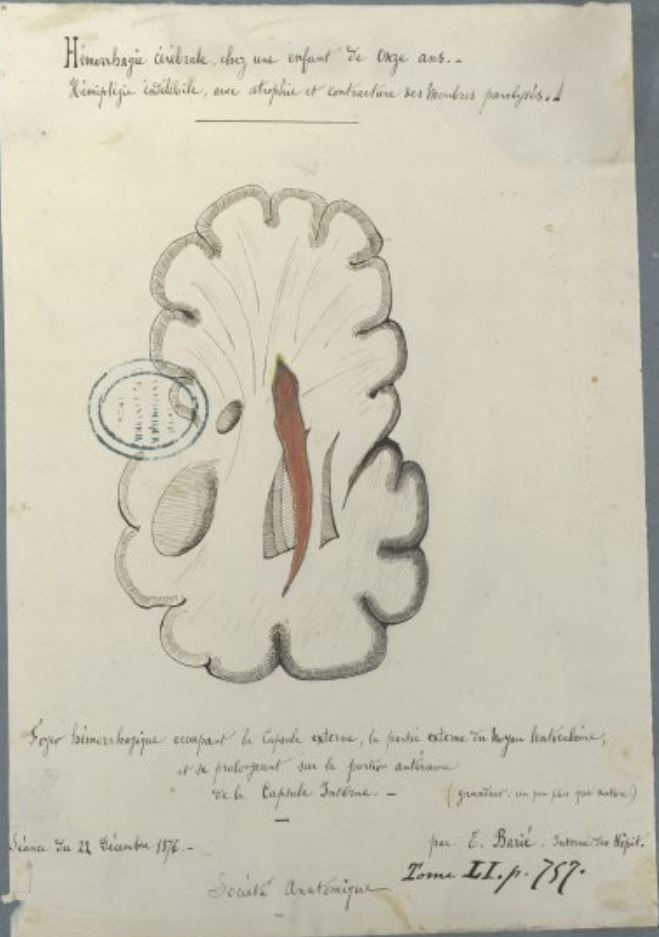
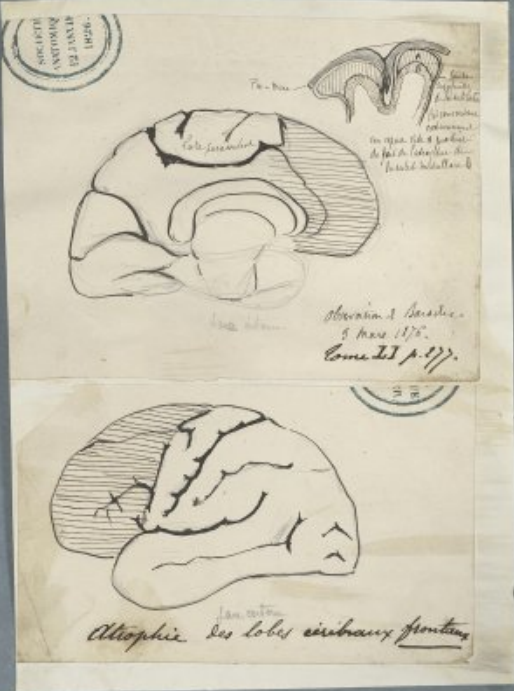


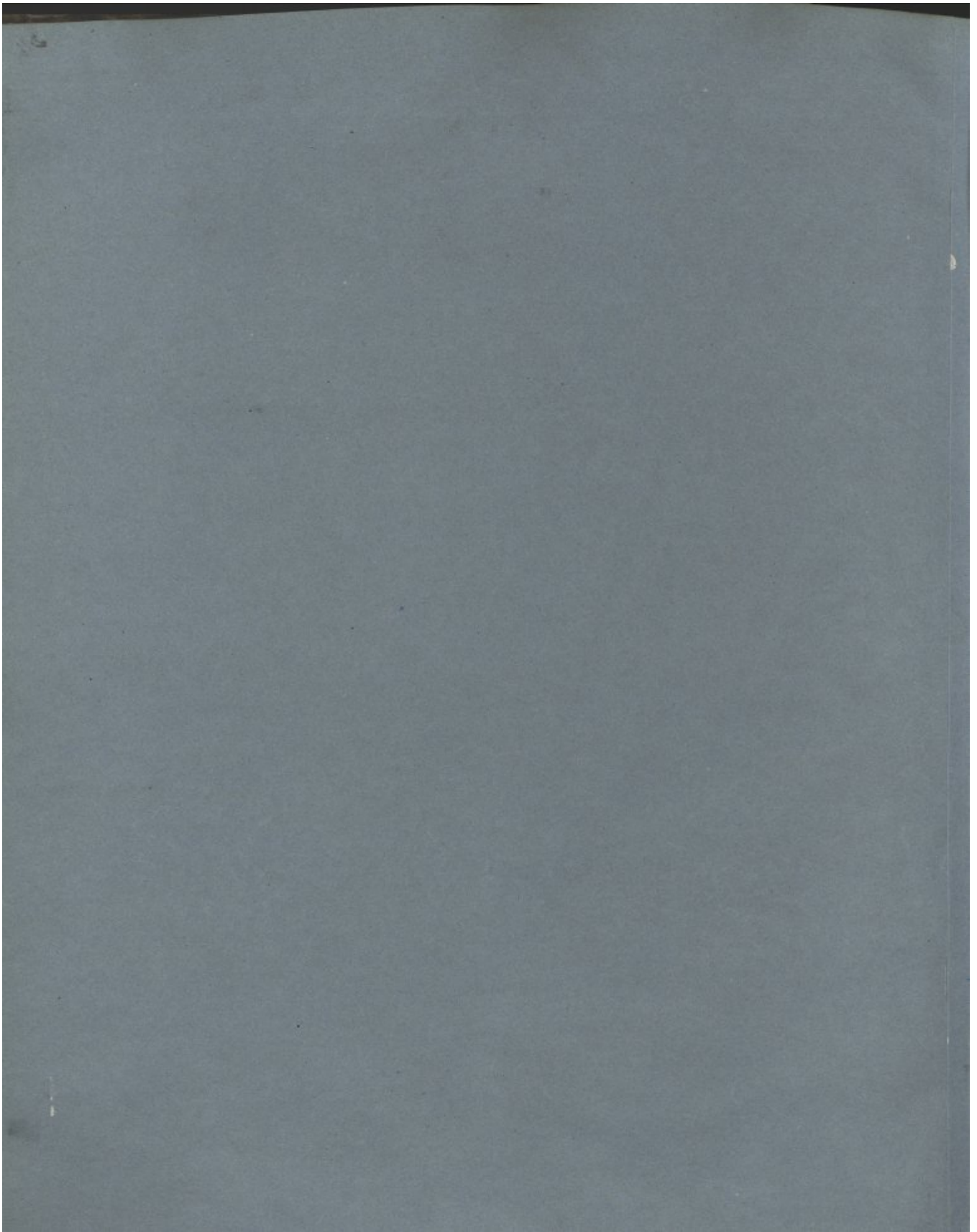
Les lésions sont figurées en bleu (à côté le rapport au même lobe)
Les parties saines en rouge indiquant les points où se situent
les zones de séparation.



28







Requis Carum Annot. f. Tome III
De Vitis
Annot. Tom. I. Januarii 1877




Familia M. Galland

1. Partelle
2. ...
3. ...
4. ...
5. ...
6. ...
7. ...

SOCIÉTÉ ANATOMIQUE DE PARIS
 12 JANVIER 1877

Observation de M. A. Heurmann. 21 Mars 1876
Hémorrhagie cérébrale: Tome III p. 35

Hémisphère droit.



Remarque avec paralysie
parapégic de la jambe
plégie et de côté le gâté
l'œil gauche est bte par une
hémorragie cérébrale.


Côté gauche -
Emp. hémorrag. au centre
supérieur -

Leur aspect le plus remarquable
est celui qui se voit sur le
l'œil gauche. Il est rempli de sang
et le globe est bte par une
hémorragie cérébrale.

SOCIÉTÉ ANATOMIQUE DE PARIS
 12 JANVIER 1876

St Anne
76: 2.

Autopsie
13 Mars
1877.



le point le plus
important est
le point de
l'œil gauche.

Observation de M. A. Heurmann 21 Mars 1876
Hémorrhagie cérébrale: Tome III p. 35

SOCIÉTÉ ANATOMIQUE DE PARIS
 12 JANVIER 1877

Séance du 5 Janvier 1877. Tome III p. 44



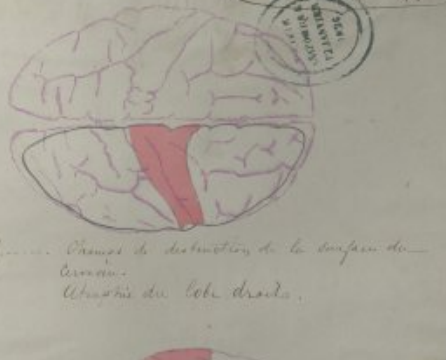
Main droite peu développée
Main gauche peu développée

Aspect de développement des doigts
de deux mains.
(Enfant de 8 mois)

Observat. Libec.

SOCIÉTÉ ANATOMIQUE DE PARIS
 12 JANVIER 1877

Soc. Anat. Liège
12 Janvier 1877



Champs de destruction de la surface du
Cerveau.
Atrophie du lobe droit.


Observation de M. A. Heurmann 21 Mars 1876
Hémorrhagie cérébrale: Tome III p. 35

Observation de M. A. Heurmann 21 Mars 1876
Hémorrhagie cérébrale: Tome III p. 35

Tome III page

SOCIÉTÉ ANATOMIQUE DE PARIS
 12 JANVIER 1877

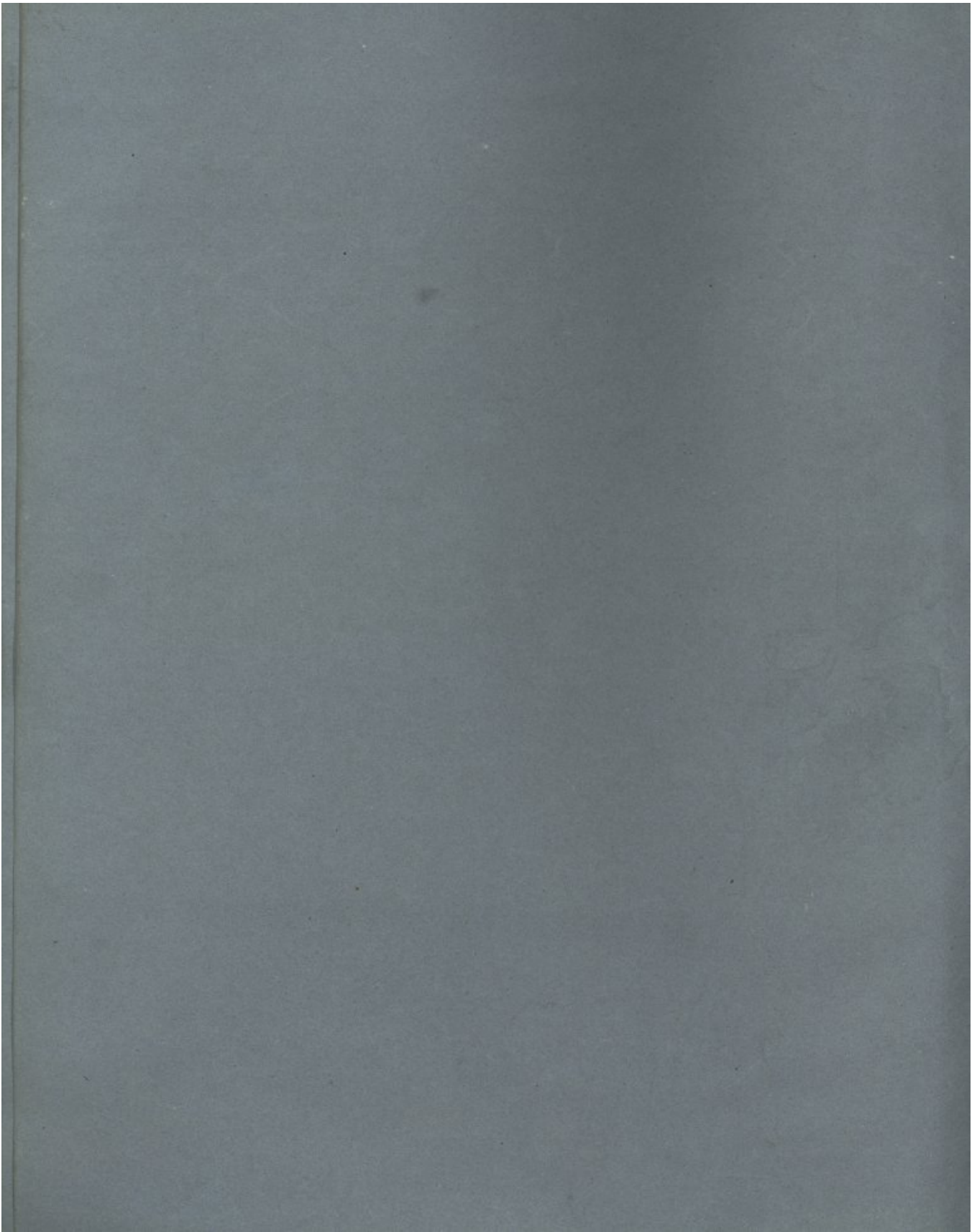
Séance des 7 Janv 77
Tome III p.
Observat. Libec.

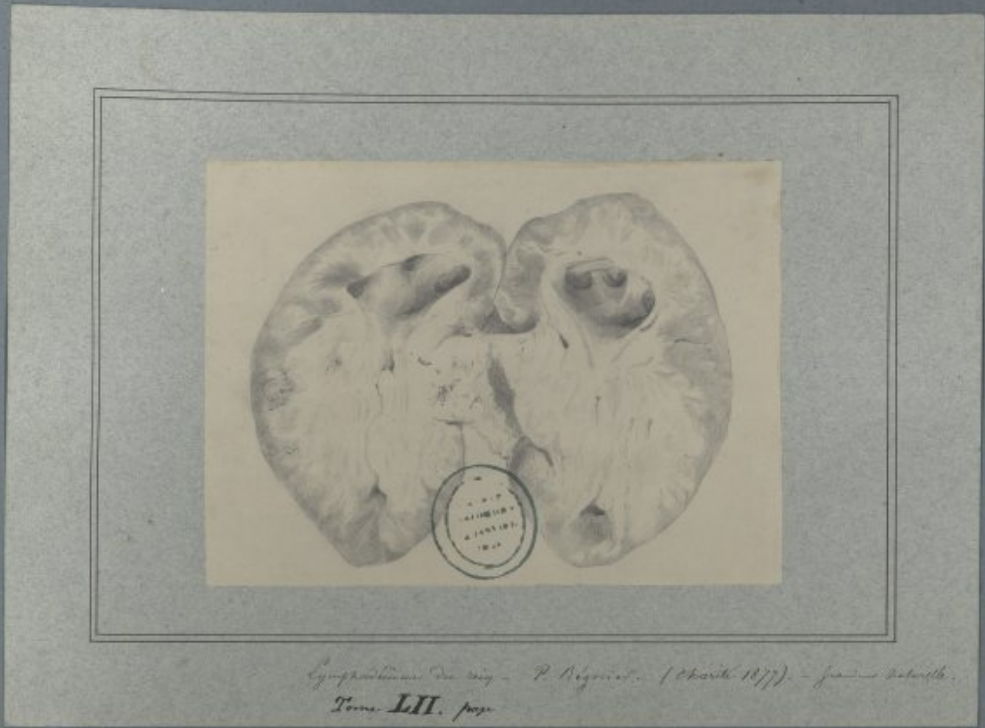


Selon certains.

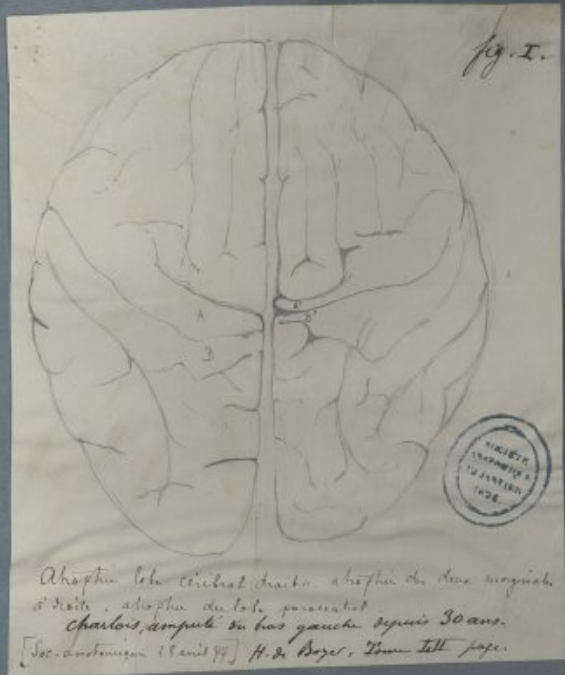
Pieds - bte varus avec arrêt de développement
des doigts de deux mains. (Enfant de 8 mois)

SOCIÉTÉ ANATOMIQUE DE PARIS
 12 JANVIER 1877

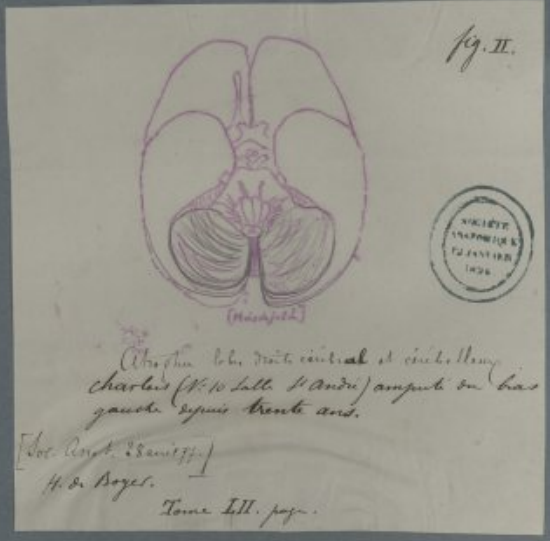




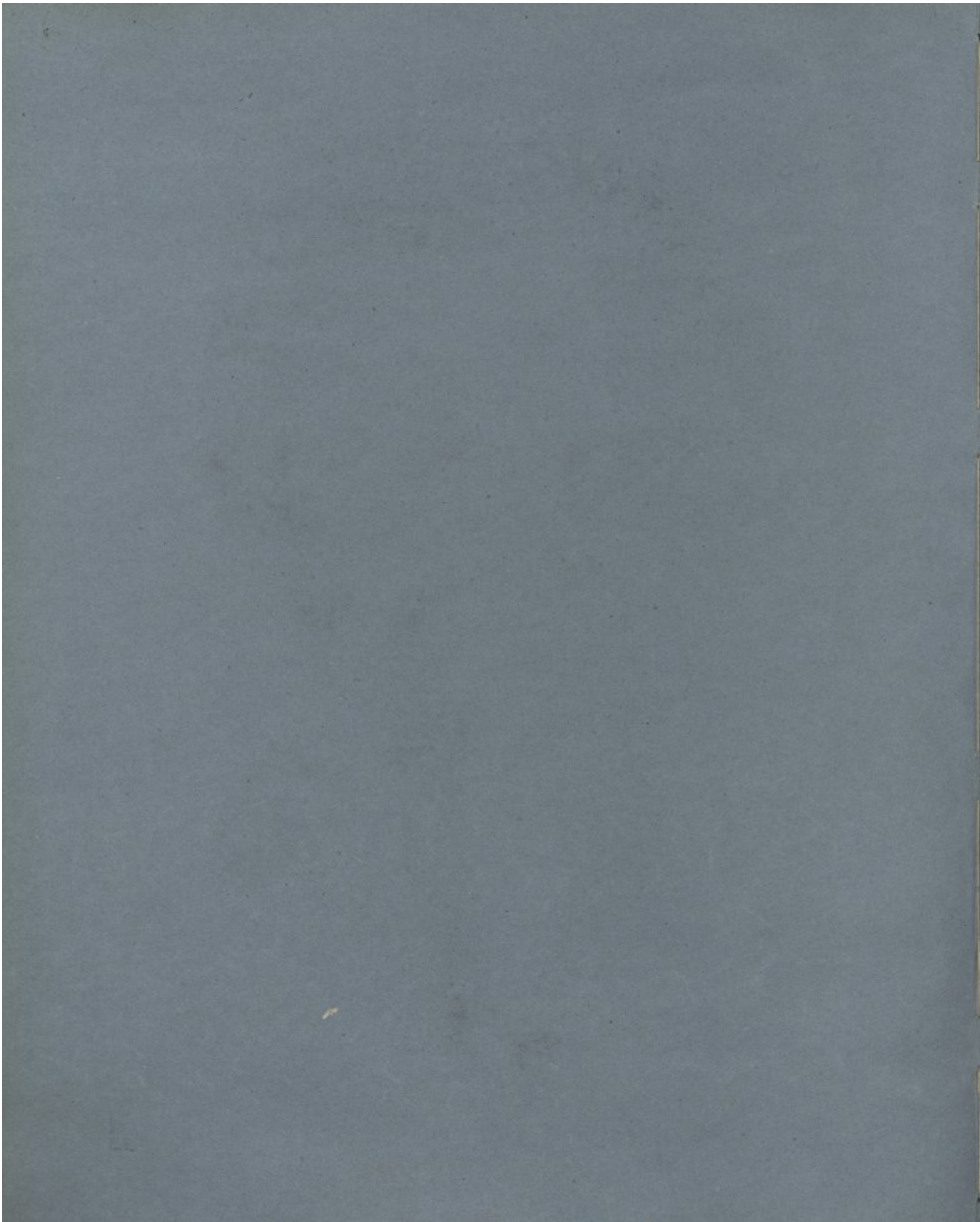
*Cyngrochismus des Geis - P. Delcourt. (Charcot 1177). - premier dessin.
Tome III. page*



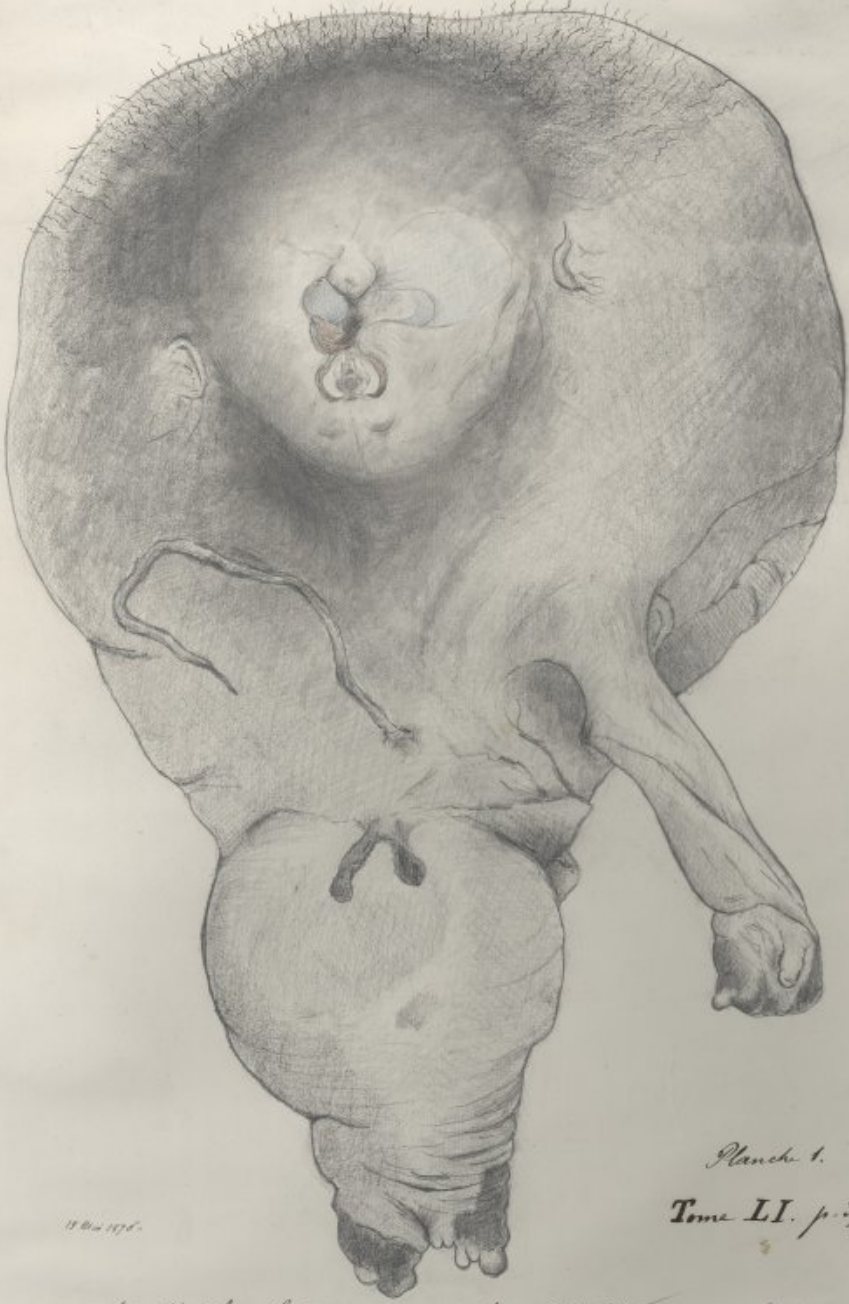
*Atrophie lobe cérébral droit. atrophie de deux régions
à droite, atrophie de lobe postérieur
Charles, amputé de bras gauche, depuis 30 ans.
[Soc. anatomique 18 ans 77] H. de Boyer, Tome III page.*



*Atrophie lobe droit cérébral et circonvolution
Charles (N. 10 lobe P. Andu) amputé de bras
gauche, depuis trente ans.
[Soc. Anat. 28 ans 77]
H. de Boyer.
Tome III. page.*



*Moerke Humain Paracéphale
(grandes tumeurs)*

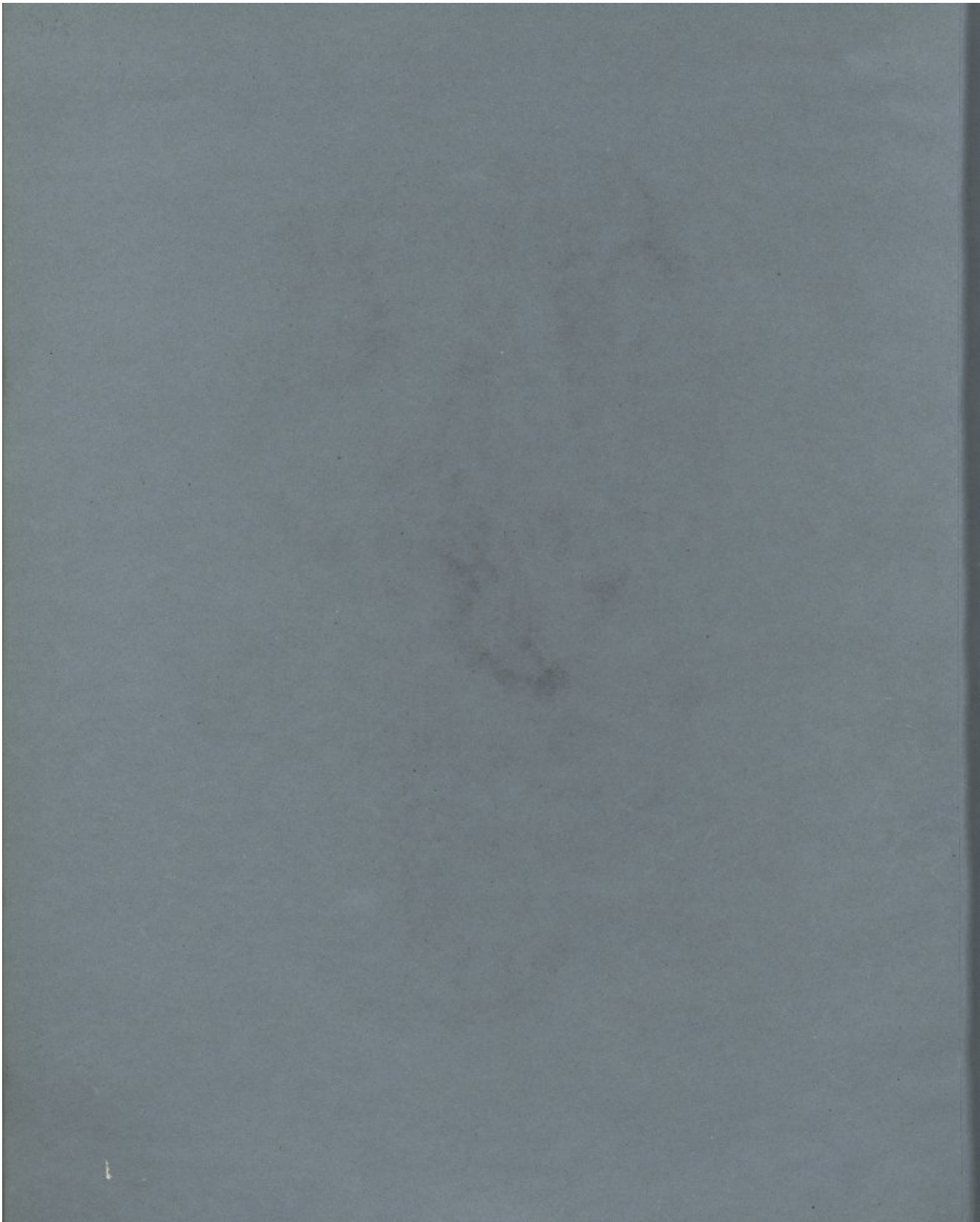


1804 1876

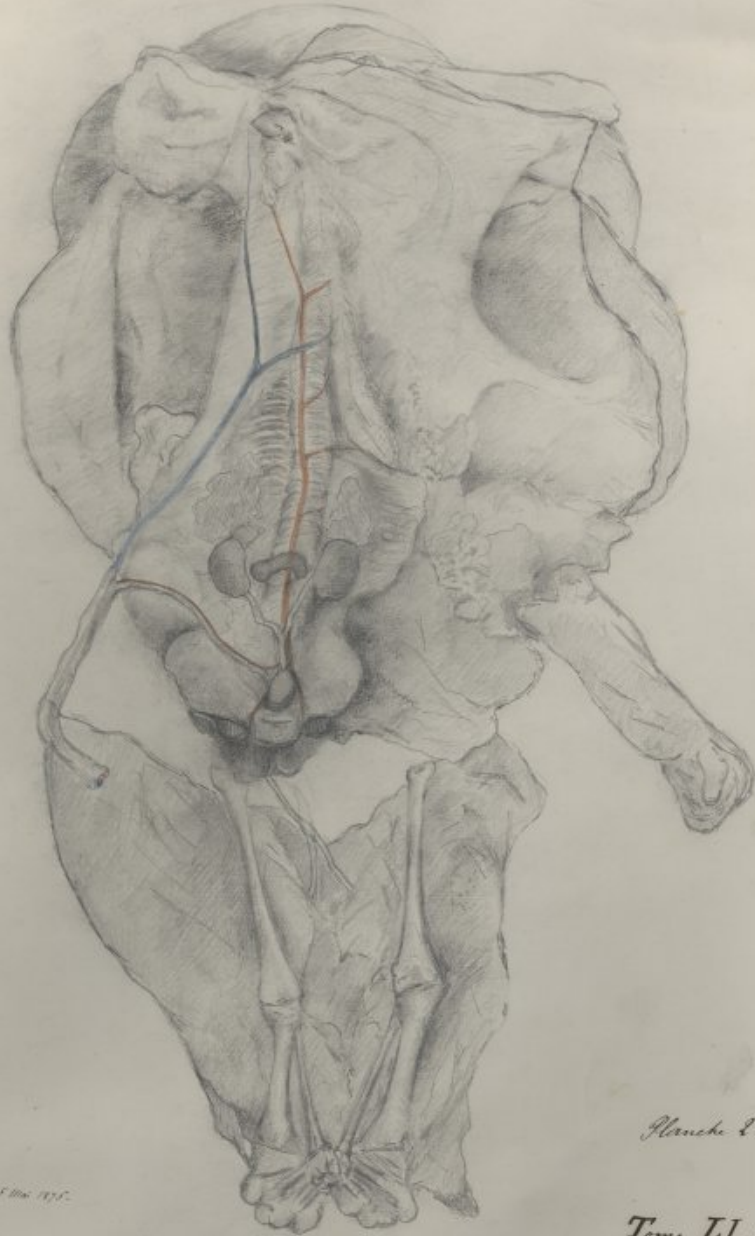
*Planche 1.
Tome LI. p. 356.*

*présenté à la Société anatomique le 19 Mai 1876
par Paul Nibet - interne de l'hospital -
Nibet*

G. Adelinez



Vue intérieure d'un ventre humain taraci-phale
(grandes intestins.)



15 Mars 1875.

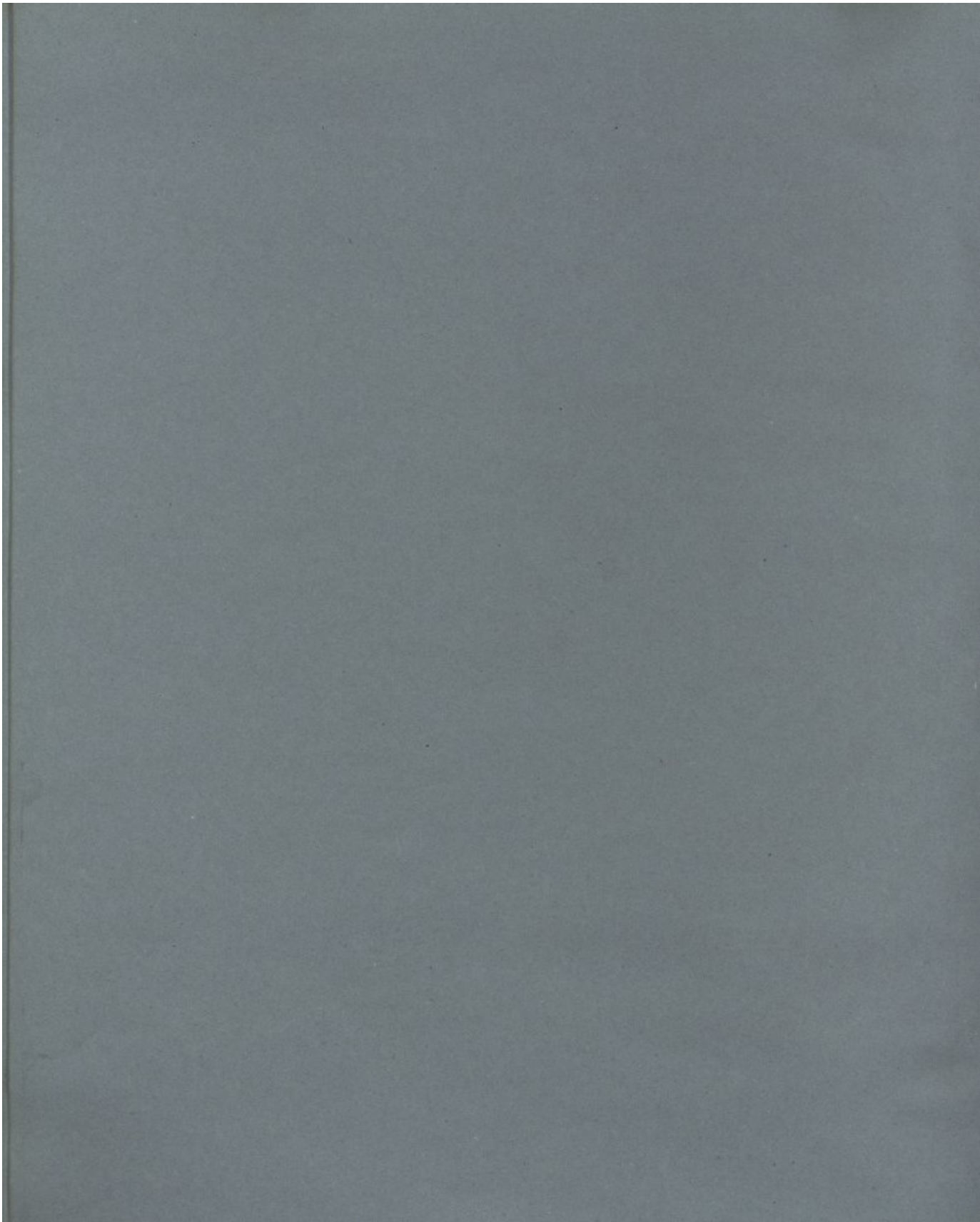
Présenté à la Société anatomique le 19 Mai 1875
par Rich. Nodding, interne des Hôpitaux.

Melody

Plaque 2.

Tome II. p. 356.

A. Adeline



Organes internes d'un Paracéphale
(garden. caennelle.)

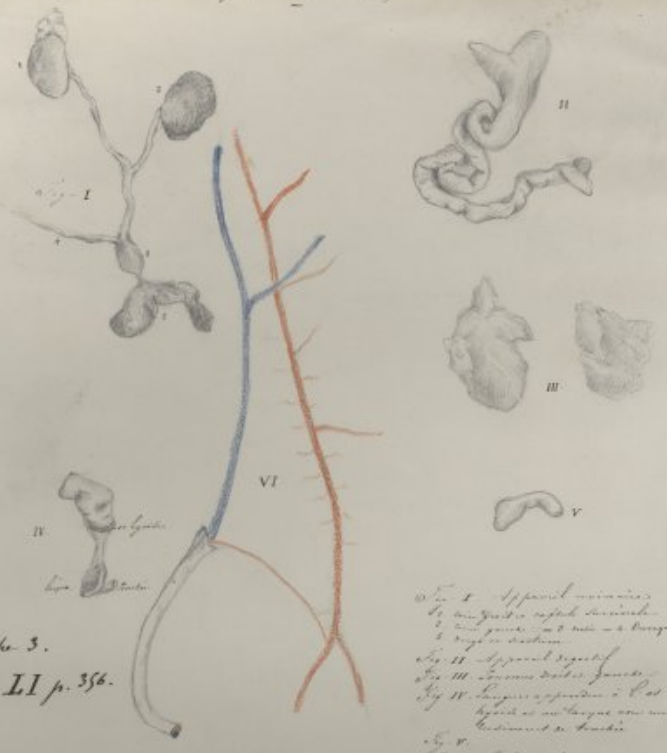


Planche 3.
Tome II p. 356.

Fig. I. Appareil respiratoire
 1. trachée, 2. plexus pulmonaire
 3. cœur, 4. veine - 5. l'organe
 6. l'organe de la digestion
 Fig. II. Appareil digestif
 Fig. III. L'organe de la digestion
 Fig. IV. L'organe de la digestion
 Fig. V. L'organe de la digestion

présenté à la société anatomique le 19 Mai 25
par Rich. Leblond interne de l'hospice -

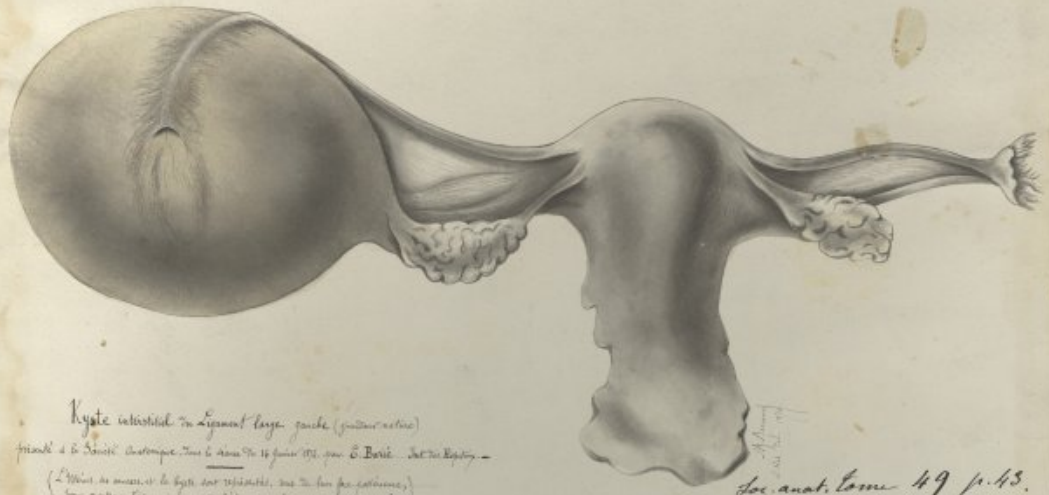
Ch. Adeline



Orientation de M. Remy. 17 X 62 1875. Molluscorum.
Tome I. pag. 786.







Kyste intestinale en ligament large gauche (gastro-ectopie)
 tiré de la Société Anatomique, sous le nom de 15 jours, par E. Borel. Act. Soc. Anat. -
 (L'écrit de masse et la tête sont visibles, sur la face postérieure)
 pour montrer l'extension de la tumeur et de son point de départ
 par la tête.

Soc. anat. tome 49 p. 43.

bumier congénitale de la voûte palatine
 M^r. Clément
 t. 49 p. 380.



Reproduction de l'œuvre de M^r. Clément

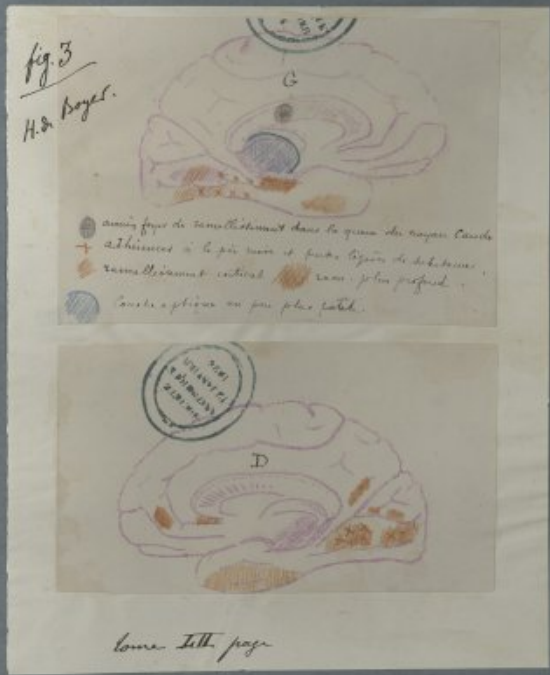
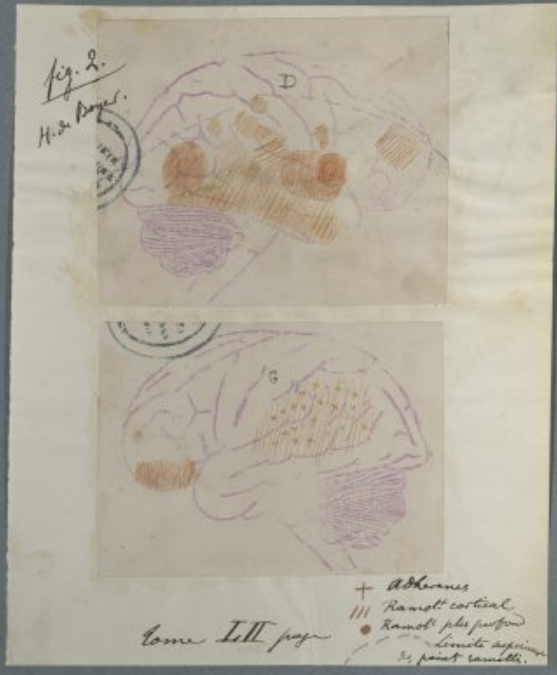
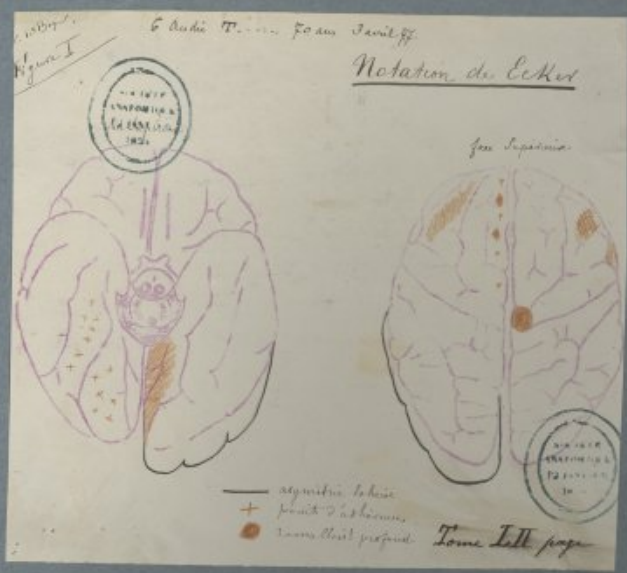


Hémoptysie osseuse, à la naissance d'un fœtus
 Chénieron, pour un fœtus de 10 semaines
 sur la partie de son corps antérieure.

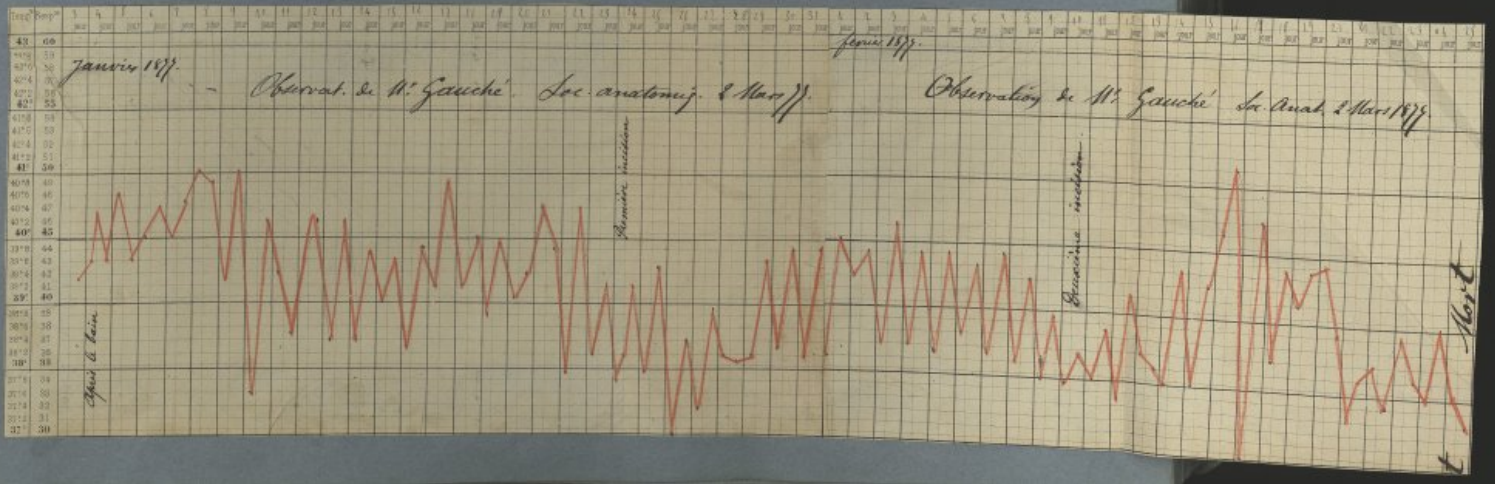
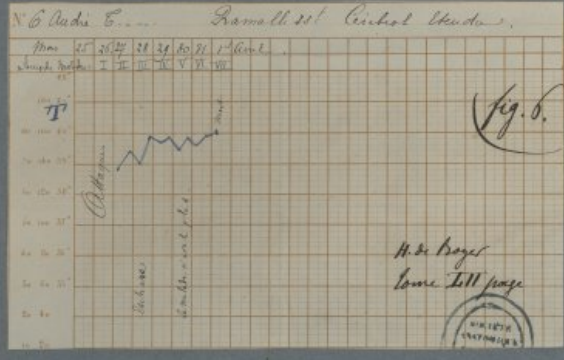
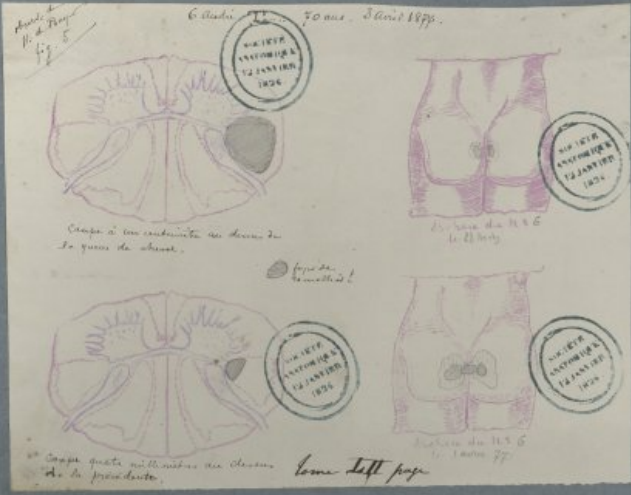
M^r. Borel, tome 49 p. 380.



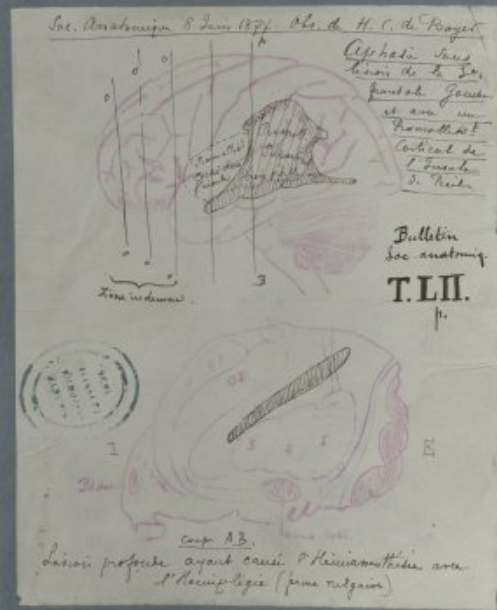
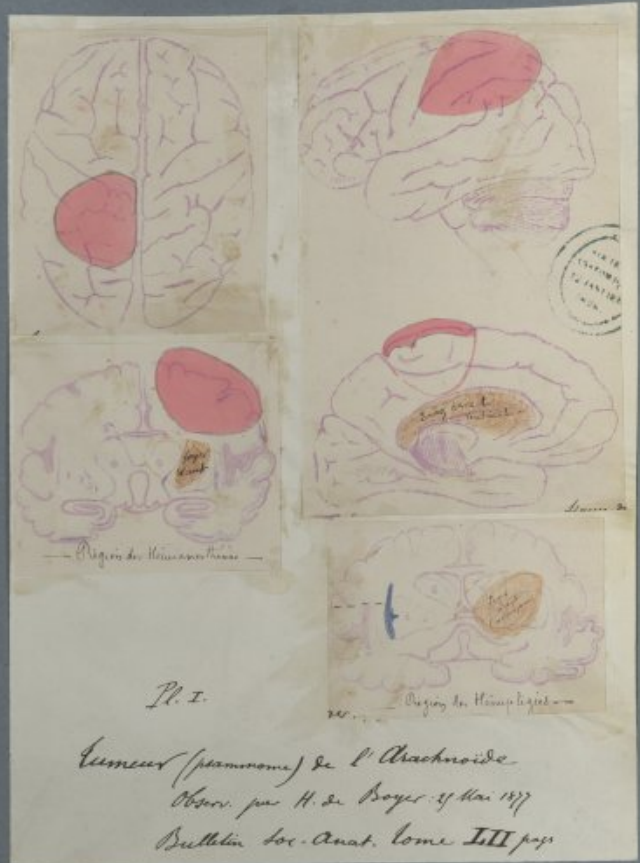
A. Rendu.

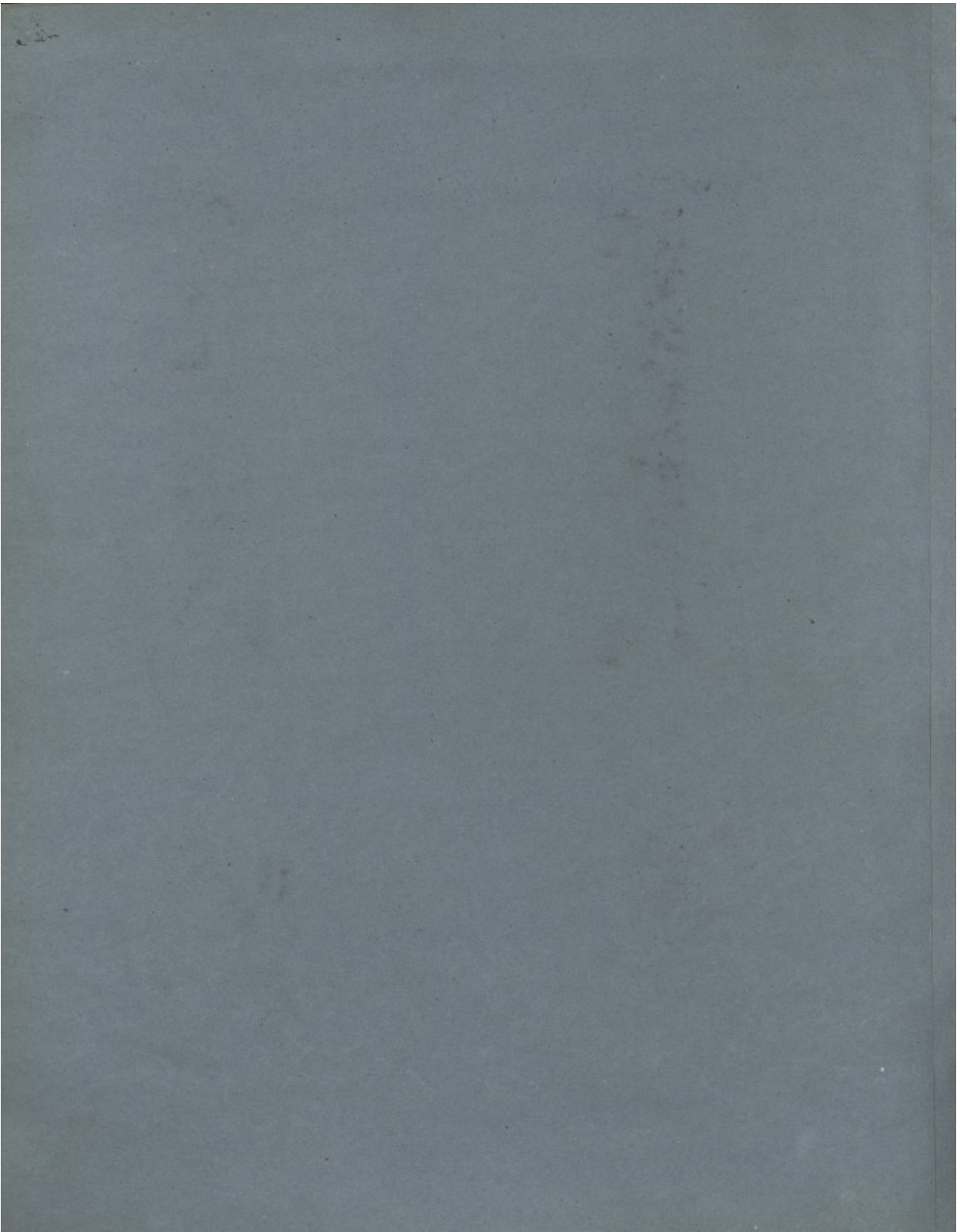












Face Anterieure.



Pl. 1
Tome LII p.
310.

1.1.1. Cloques communiquant avec le sequestre. 2.2. Sequestre, biseau en haut & bas. L'os est égal au fracture. 3.3. Direction de la fracture.

Face Posterieure



Planche 2.
Tome LII
p. 310.

1.1.1. Cloques communiquant avec le antérieur. 2.2. Direction de la fracture.

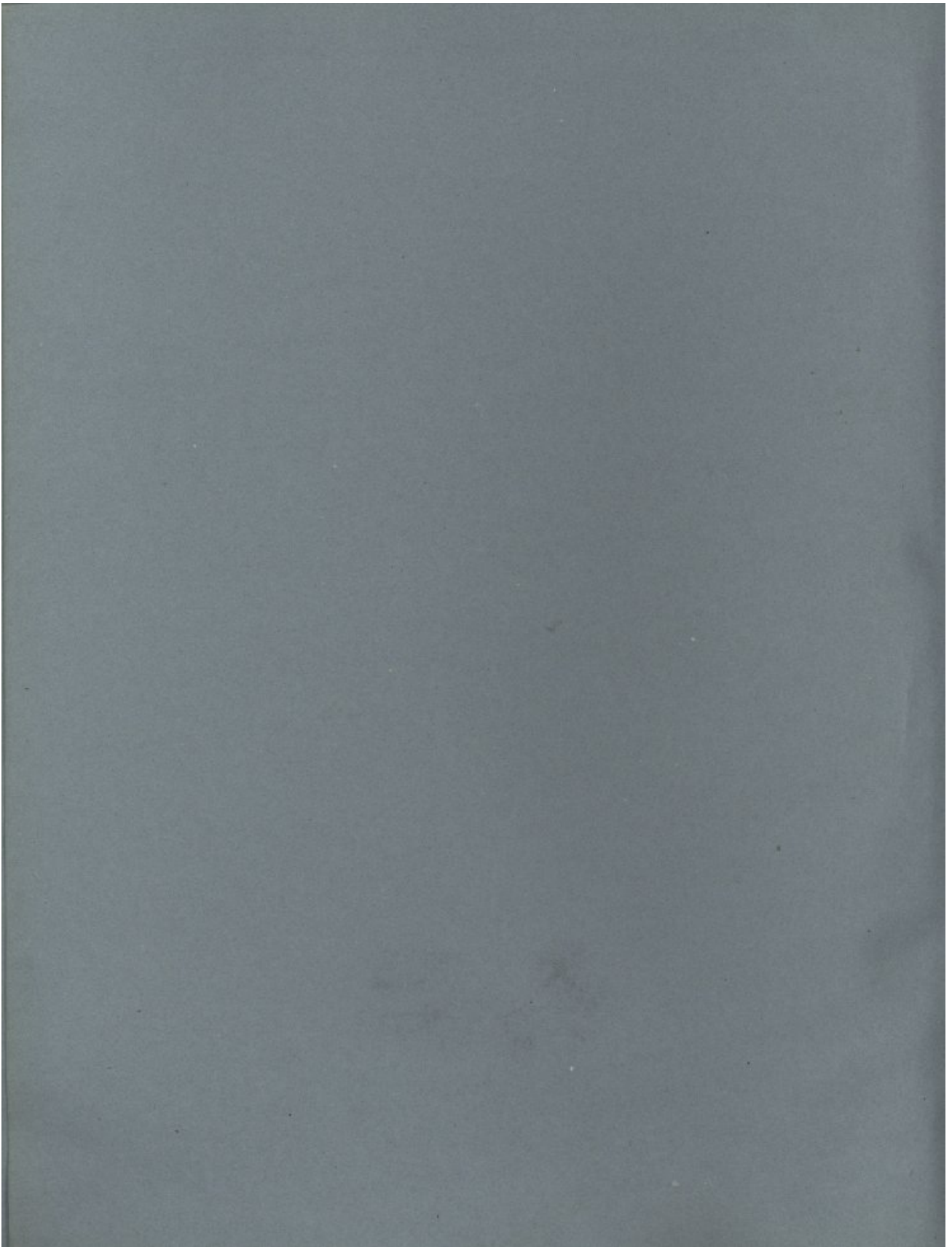
Nécrose des deux os de la jambe, survenue à la suite d'un plaie. Pl. 1. 1844.
Rachis compliquée de plaie.



Osteoparalysie : ataxie locomotrice
(femur gauche) Planche 1.
Obs. Bourcierot Tome I p. 334



Osteoparalysie : ataxie locomotrice
(femur gauche) Planche 2.
Obs. Bourcierot. Tome I p. 334



Bois





Excavation portant sur le lobe pariétal et la circonvol. ascendante.
 Obs. par Gallopin
 Séance du 25 Nov. 1877
 T. LIII. p.
 Planche 1.

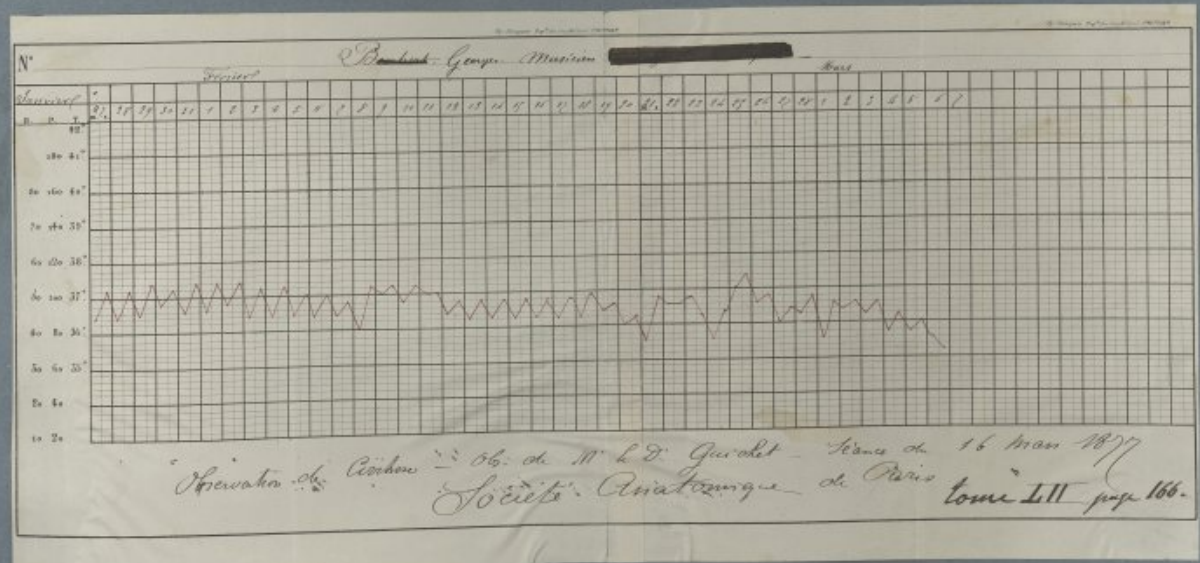
Hémisphère droit — SS, sillon à Sylvius — R, sillon de Rolando; — P, sillon postérieur; — E, sillon antérieur; — L, sillon de la circonvol. ascendante; — A, sillon de la circonvol. descendante; — T, sillon de la circonvol. transverse; — P, lobe pariétal; — R, sillon de Rolando; — E, sillon antérieur; — L, sillon de la circonvol. ascendante; — A, sillon de la circonvol. descendante; — T, sillon de la circonvol. transverse.

Observ. Gallopin, 23 Nov. 77. tome LIII. p.
 Planche 2.

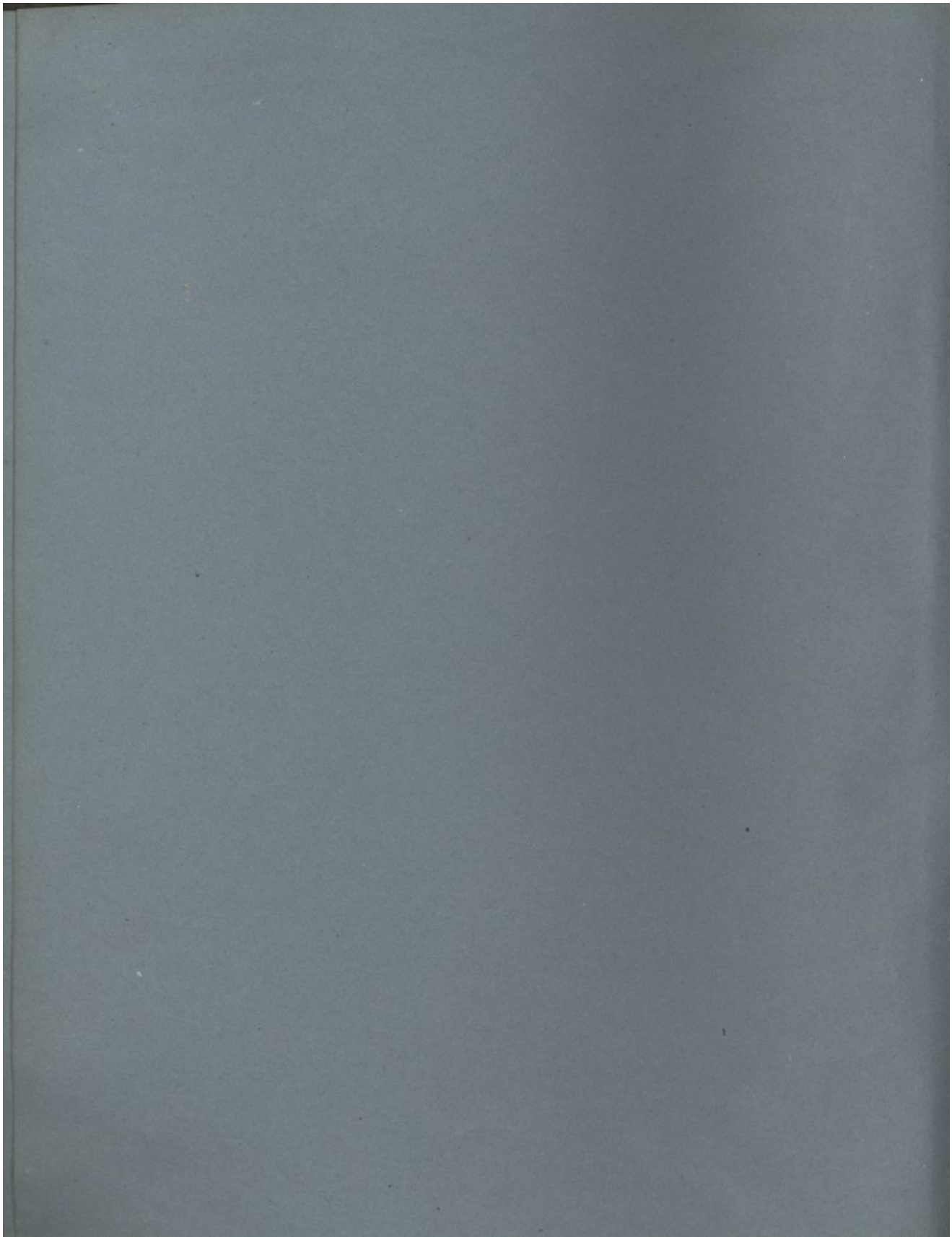
Hémisphère droit (vue interne). (Le pied a été percé après l'ouverture de l'orbite)
 P, lobe frontal; — P, lobe pariétal; — C, lobe occipital; — K, lobe occipital; — M, sillon callos. moyen.

Observ. Gallopin, 25 Nov. 1877. tome LIII. p.
 Planche 3.


Hémisphère gauche (vue interne). (Les circonvolutions de lobe pariétal sont entièrement accolées)
 P, lobe frontal; — P, lobe pariétal, qui est accolé au sillon qui se voit sous l'angle de l'œil; — C, lobe occipital; — K, lobe occipital; — M, sillon callos. moyen.








7 Decemb. 1877. Tome III. p. 50.
 M. Landouzy




Le pointillé qui recouvre la plaque jaune figure l'écroulement de la base de la tumeur. Les points noirs à fond et le bord sont couverts par la pie-mère, spinale, spatulée, convertie à granulations laborieuses de différents grosseurs.
 (Hémiplegie: face infes. et memb. supes. côté droit)

ramollissement cortical hémiplegie faciale
 M. Dreyfus
 So. anat. 1877.




Tome III. p.

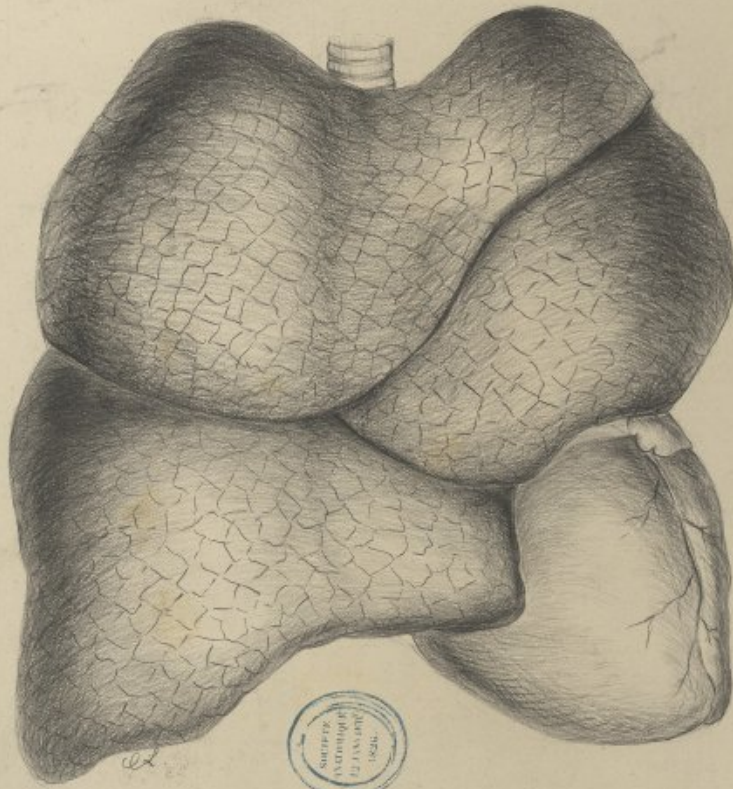
Plaque jaune de ramollissement cortical devant l'apex.
 Étude de l'apoplexie métrique et d'atrophie

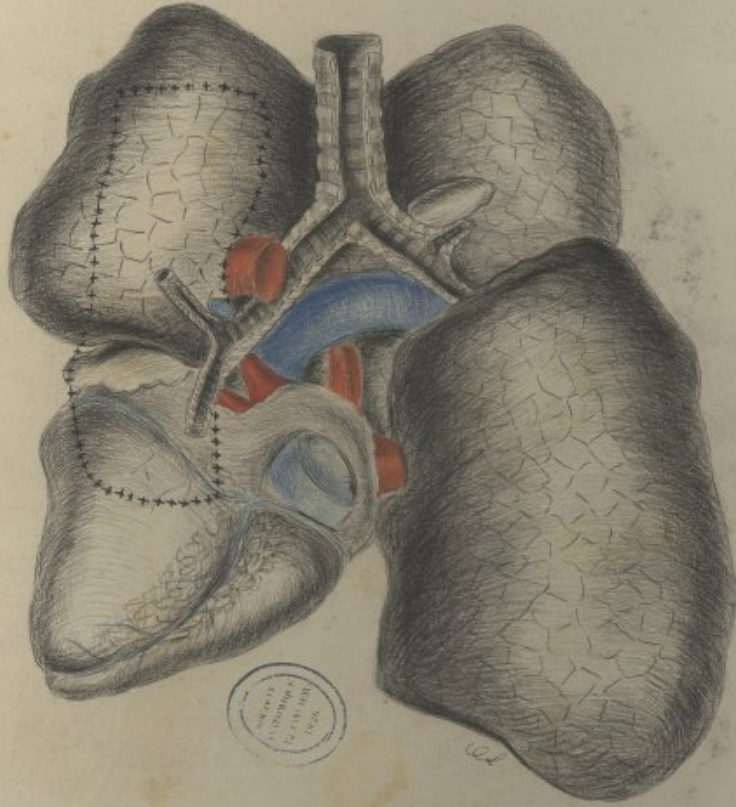


H. de Progne. Les Anatomiques
 Série du 14. 24. 1877.

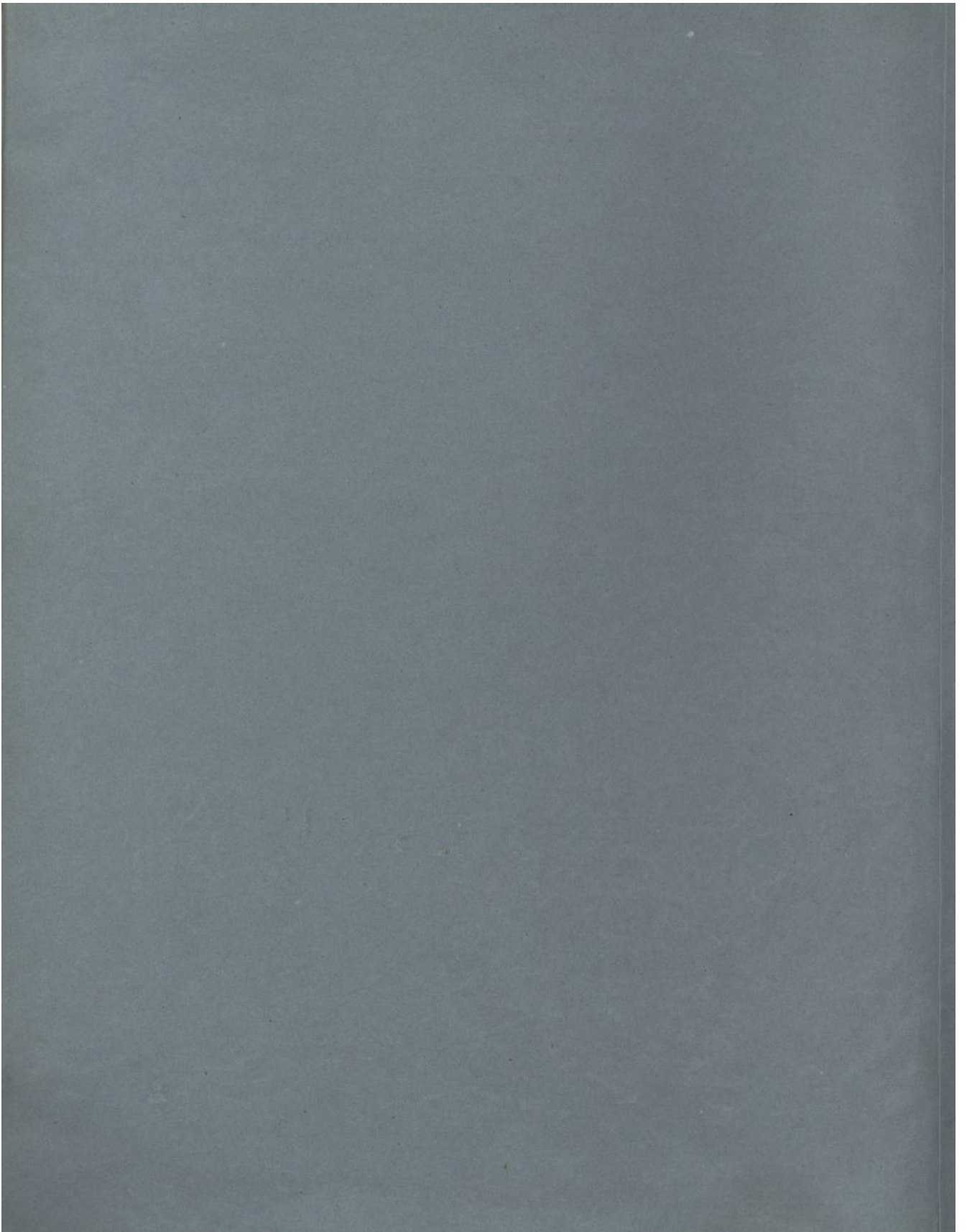
Tome III p.

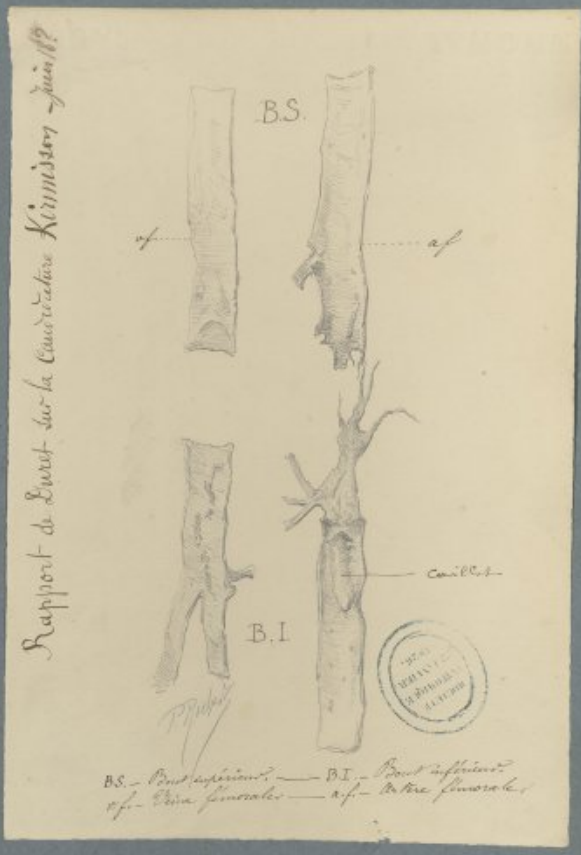
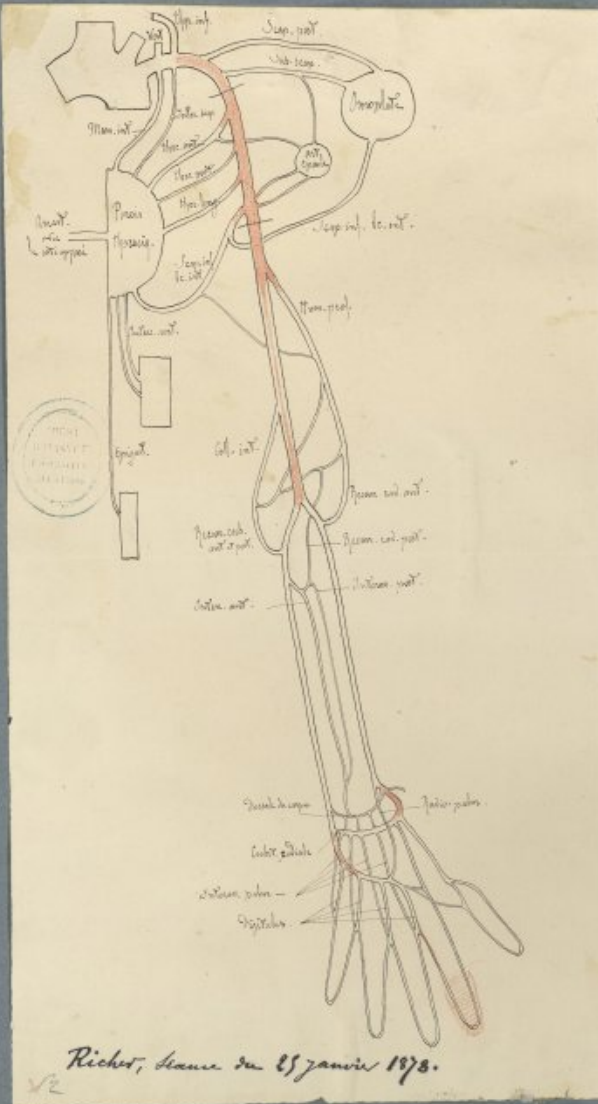


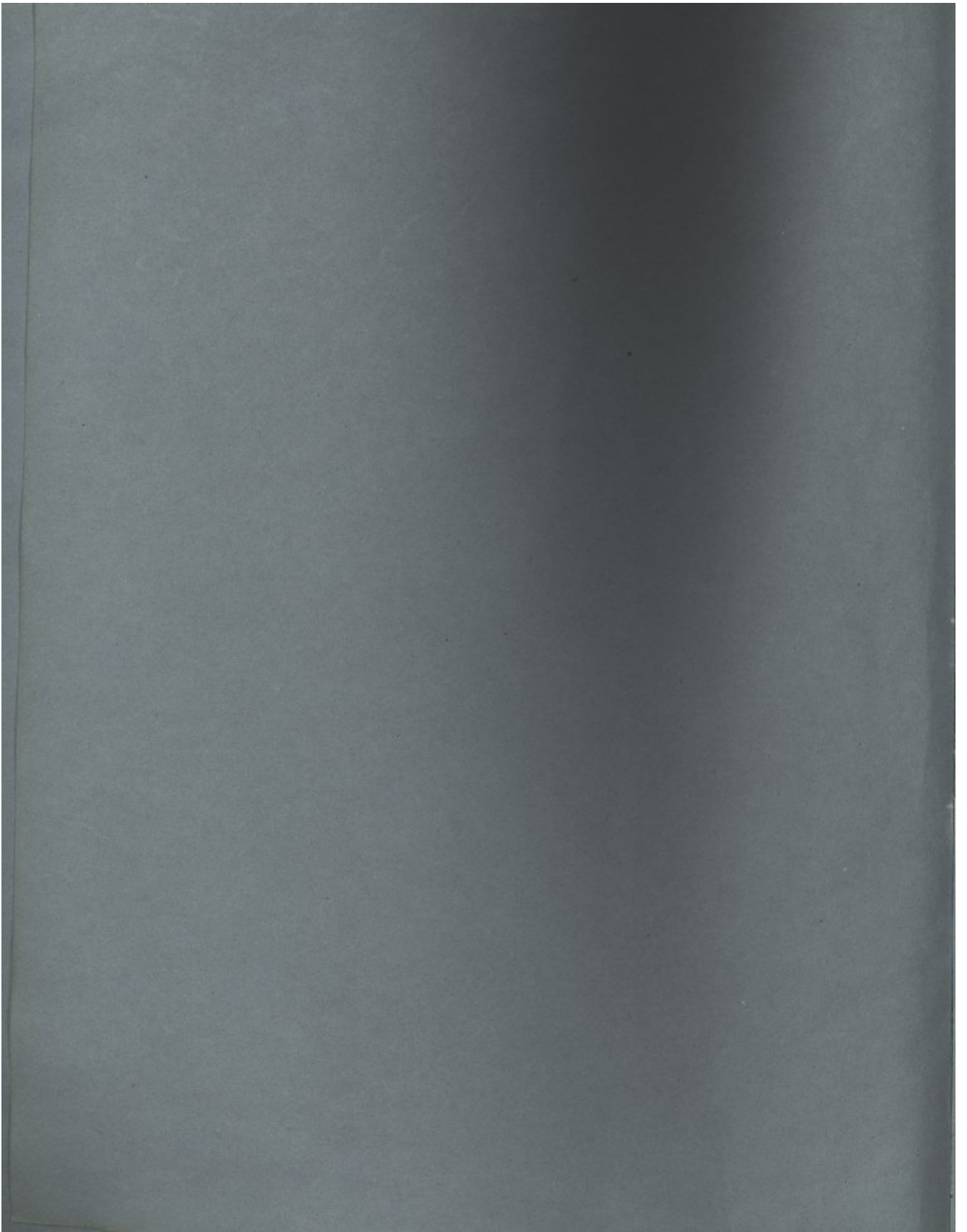




1775-1778







Coupe verticale et transversale du
cerveau fait au niveau des tubercules
mammillaires; partie ant. du cerveau.



Encéphale d'une malade atteinte
d'Alphétoze limitée aux membres
droits. (foyer d'encéphalite)
Société anatomique, 4 janvier 1878.

Le cortex est plus épais que d'ordinaire, et d'une
forme moins régulière que le cortex opposé droit.
Toute la surface du cerveau lésionnel (cortex et blanc) présente
au microscope un aspect particulier, à savoir, comme un tissu et blanc
peut être pénétré par un colorant ayant la forme d'un
étalage et droit à leur angle, et étalant ces deux types
dans la forme et consistant essentiellement d'un tissu
de cortex, il est en effet que résulterait un tissu sur le fond blanc
normal.

Coupe verticale et transversale du
Cerveau fait au niveau des tubercules
mammillaires; partie postérieure du Cerveau.



Encéphale d'une malade atteinte
d'Alphétoze limitée aux membres droits.
Société anatomique, 4 janvier 1878.

1. Sur le plan passant par cette coupe, on voit le foyer de
malade lésionnel du corps blanc gauche, et, en outre, le foyer
correspondant aux ailes du callosus.
2. Le cerveau qui a une largeur moyenne de 140 millimètres
à droite, la gauche mesure sa largeur 130 millimètres, la
hauteur 90 millimètres, la profondeur de la protuberance de
la bulbe.

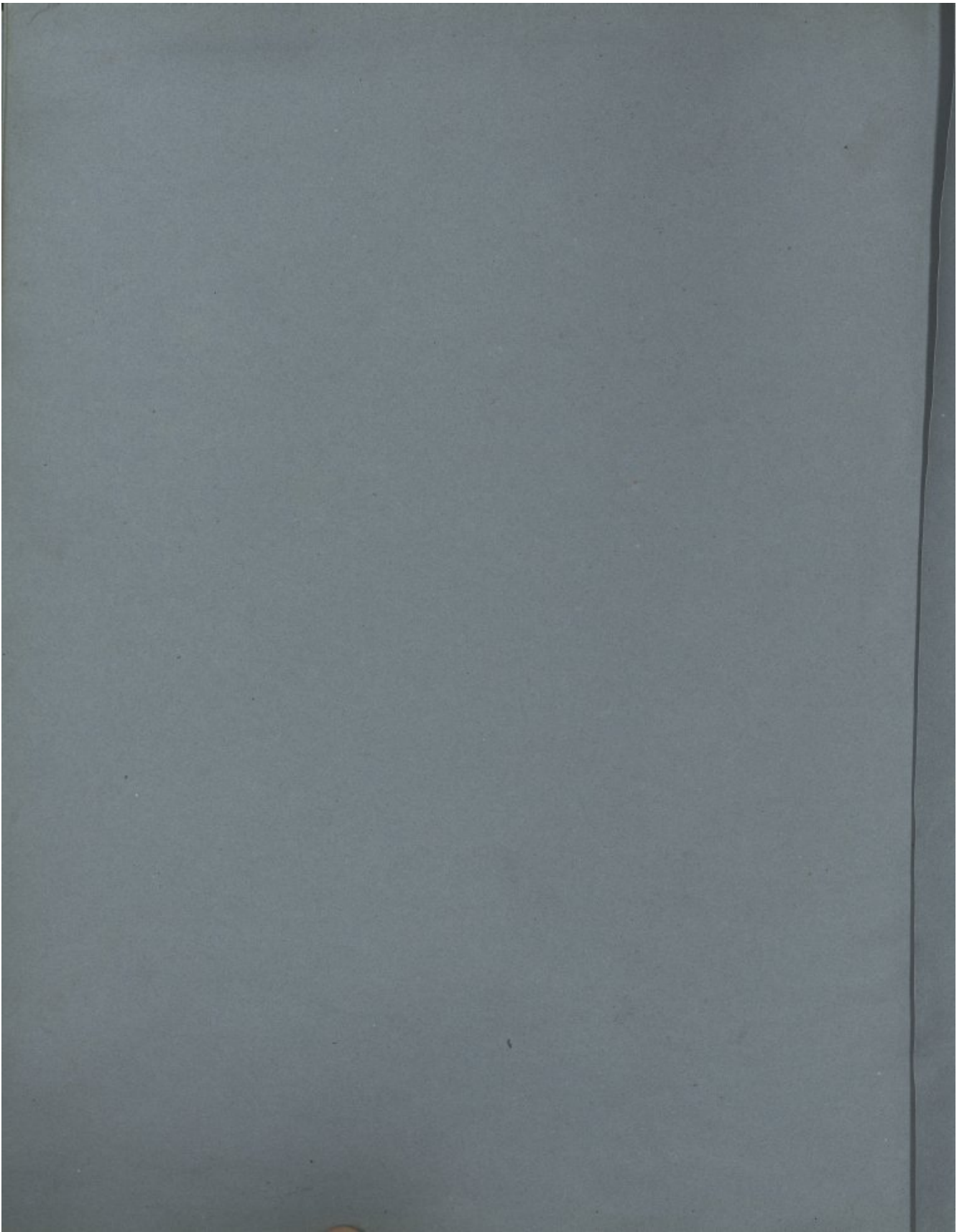
Molle. - Int. des Hoff.
Séance 1878.



Grossesse extra-utérine.
Mollesse du foie au placenta.
Séance 1878. Le foie est de la grosseur d'un
coeur, et sa consistance est celle d'un
coton.



Molle. - Int. des Hoff. Séance 1878.
Le foie est de la grosseur d'un
coeur, et sa consistance est celle d'un
coton.





Montagne de...



Montagne de...

A. Lapierre

l'empire - Aboliti partiale de l'ancien
Régime - Restauration
M. Solulle



Séance du 9 Février 1871.



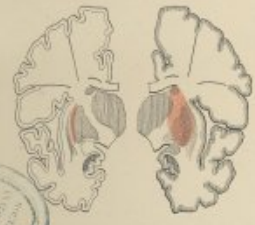
Carrière - 48 ans -
Pigmentaire hémorragique
P. J. J. J.

Séance du 9 Février 1871.

Corpe pendule.

Hémip. droit.

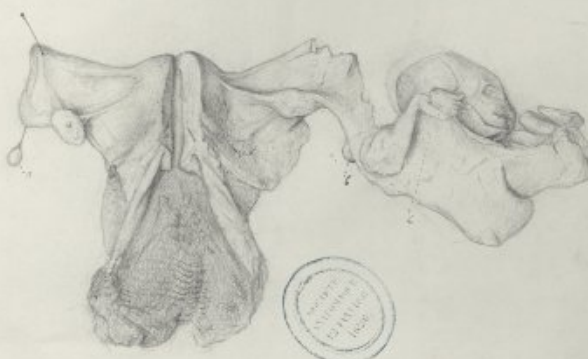
Hémip. gauche.



Carrière - 48 ans -
Tumeur hémorragique de l'aire motrice -
Hémiplegie droite sans contracture.

P. J. J. J.

Molle. Ins. des Hofsch -
Léves 1871.



P. J. J. J.

Grossesse extra-utérine (Roue stable)
a. l. (épave nichée)
c. l. (sans h. f. p. l. l. l.)



Périmètre hémorragique (kystes
sanguineux dans un cas de cerclage, commune)
à Degerime (Mét. Dia. 1871)
Carnie de l'op. l'op. de l'op.

Genèse de la Société Anatomique du 5 Août 1818. — Hémiplegie gauche par suite de
 l'émulsion de la glande mammaire.



Dispositif anormal de l'hémiplegie droite. — Section verticale de la glande mammaire.

Épiplole d'extension; section de elle droite. — Épiplole par M. J. B. d'extension; section de elle
 et de elle; section de elle. — Section par M. J. B. d'extension; section de elle.



Section droite de la section de la glande mammaire; montrant le volume de la tumeur et l'extension
 qui suit.



Section droite de la section de la glande mammaire; montrant l'extension de
 la tumeur et sa partie postérieure et son adhérence aux vaisseaux.



Section gauche par la partie antérieure de la glande mammaire; montrant
 les vaisseaux et les parties postérieures et les parties de la glande
 de elle-même.



Section gauche par la partie de la glande mammaire; montrant la section de la tumeur
 ainsi que les parties de la glande; et regardant non à la glande.

A. *Exostose humérale profonde.*

par Melle. Jut. du Hôpital
le 1^{er} Mars 1877



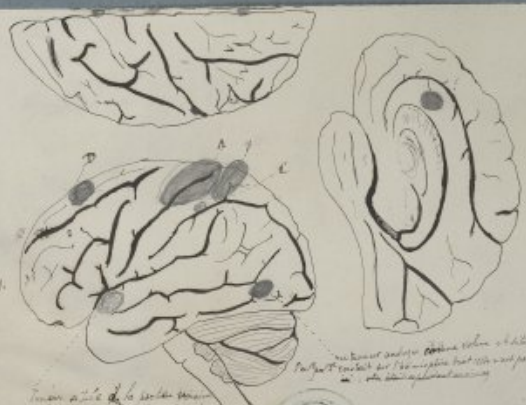
Savard

Affection osseuse généralisée.

humérus par Melle
le 1^{er} Mars 1877



Savard



Tronçon de la tige de la moelle épinière
du fœtus de 10 semaines, en coupe
pour en voir la structure et la
situation de la corne de la moelle.



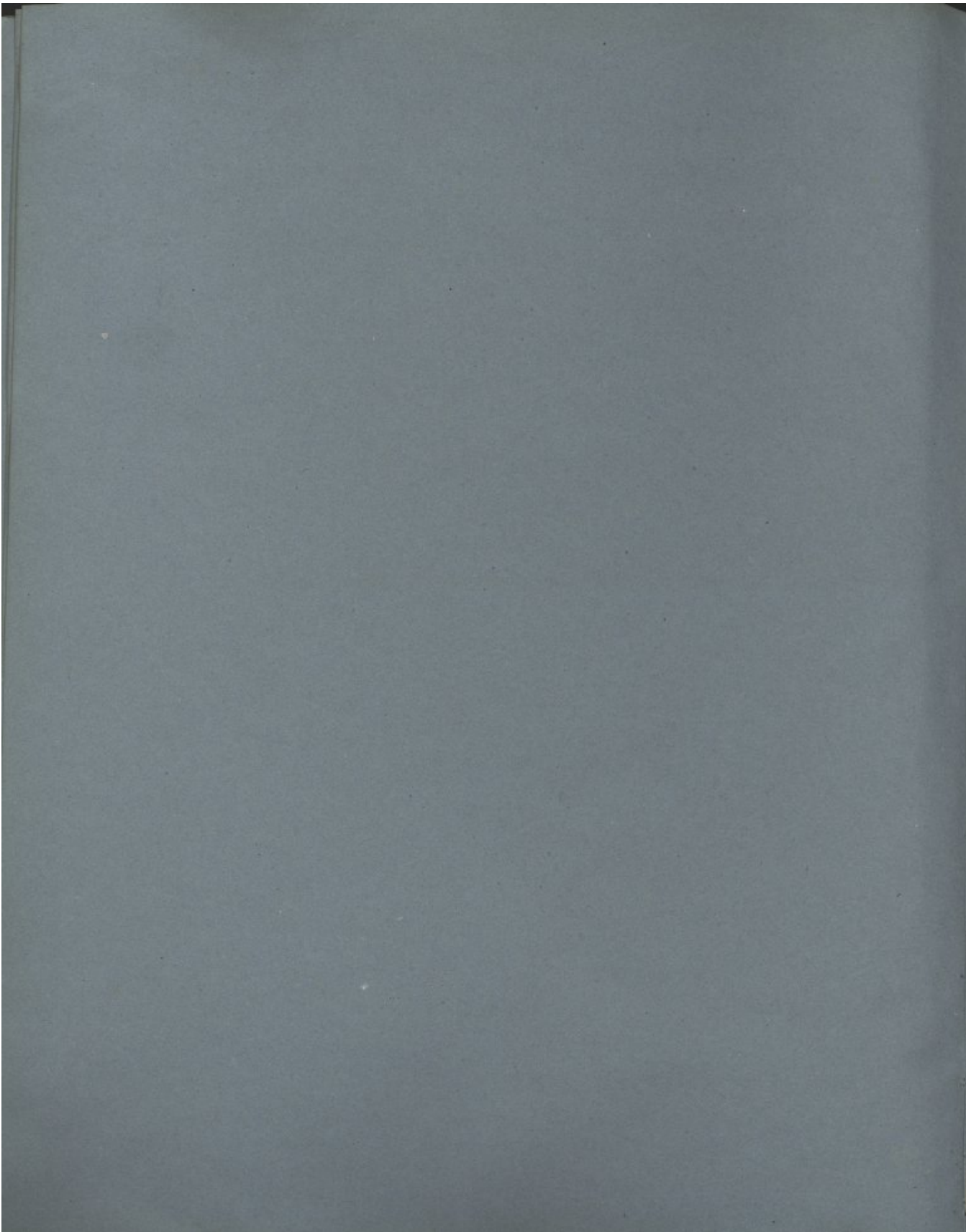
(Melle. Jut. du Hôpital
Mars 1877)



Tronçon de la tige de la moelle épinière
du fœtus de 10 semaines, en coupe
pour en voir la structure et la
situation de la corne de la moelle.

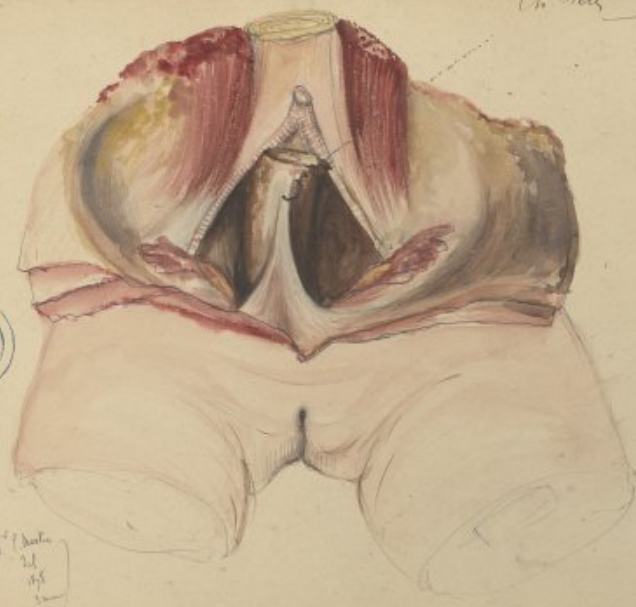


Mars 1877



Clouement de la caille, félans
ulcerat vages, etc.
Ch. Ross 2 Mars 78.

CHIRURGIE
HOSPITALIERE
12 JANVIER
1878



Ch. Ross
2 Mars 78

Clouement de la caille, félans
ulcerat vages, etc.
Ch. Ross 2 Mars 78.

CHIRURGIE
HOSPITALIERE
12 JANVIER
1878



Clouement de la caille, félans
ulcerat vages, etc.
Ch. Ross 2 Mars 78.



Clouement de la région préfrontale, par gauche
(carré et autre côté)
Loc. anatom. 16 juillet 1878

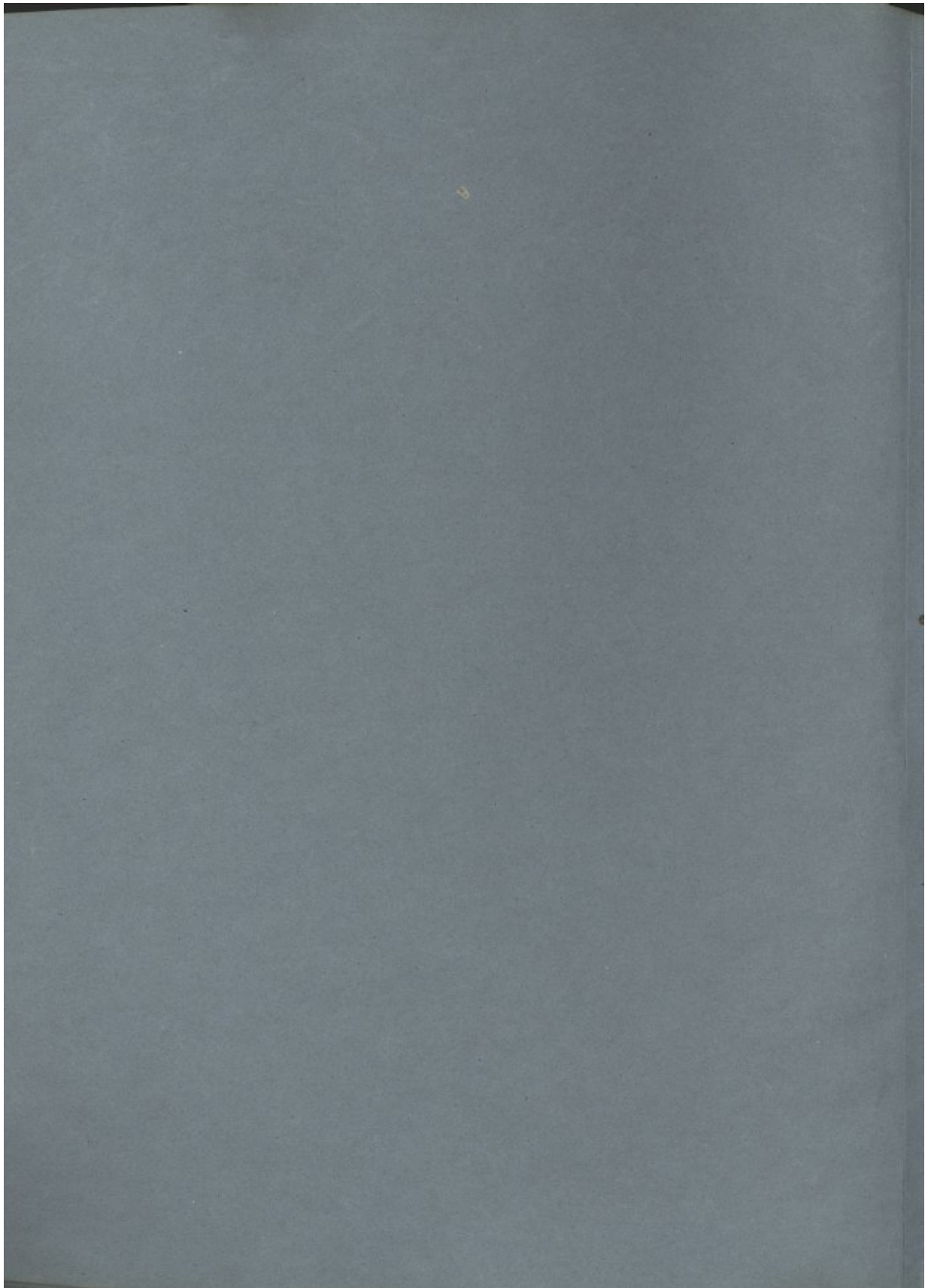


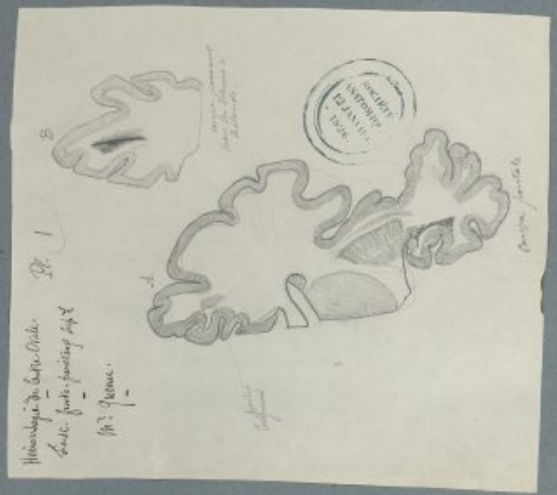
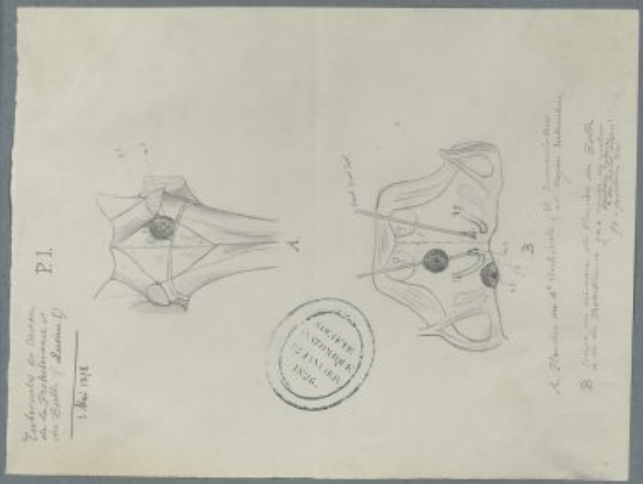
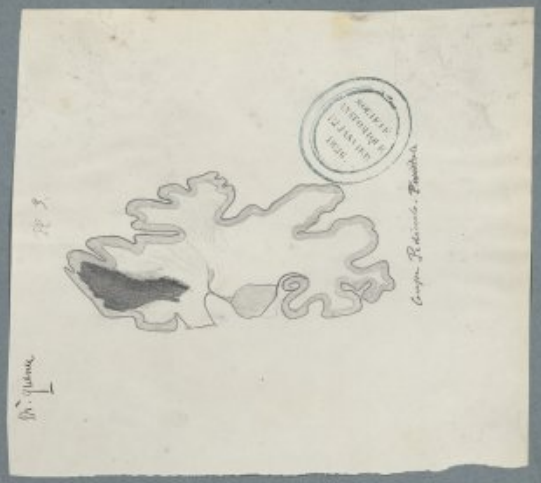
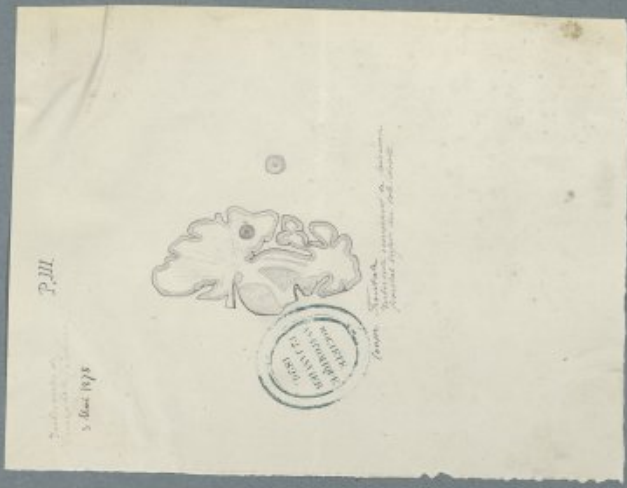
Clouement de la région préfrontale, par gauche
(carré et autre côté)
Loc. anatom. 16 juillet 1878

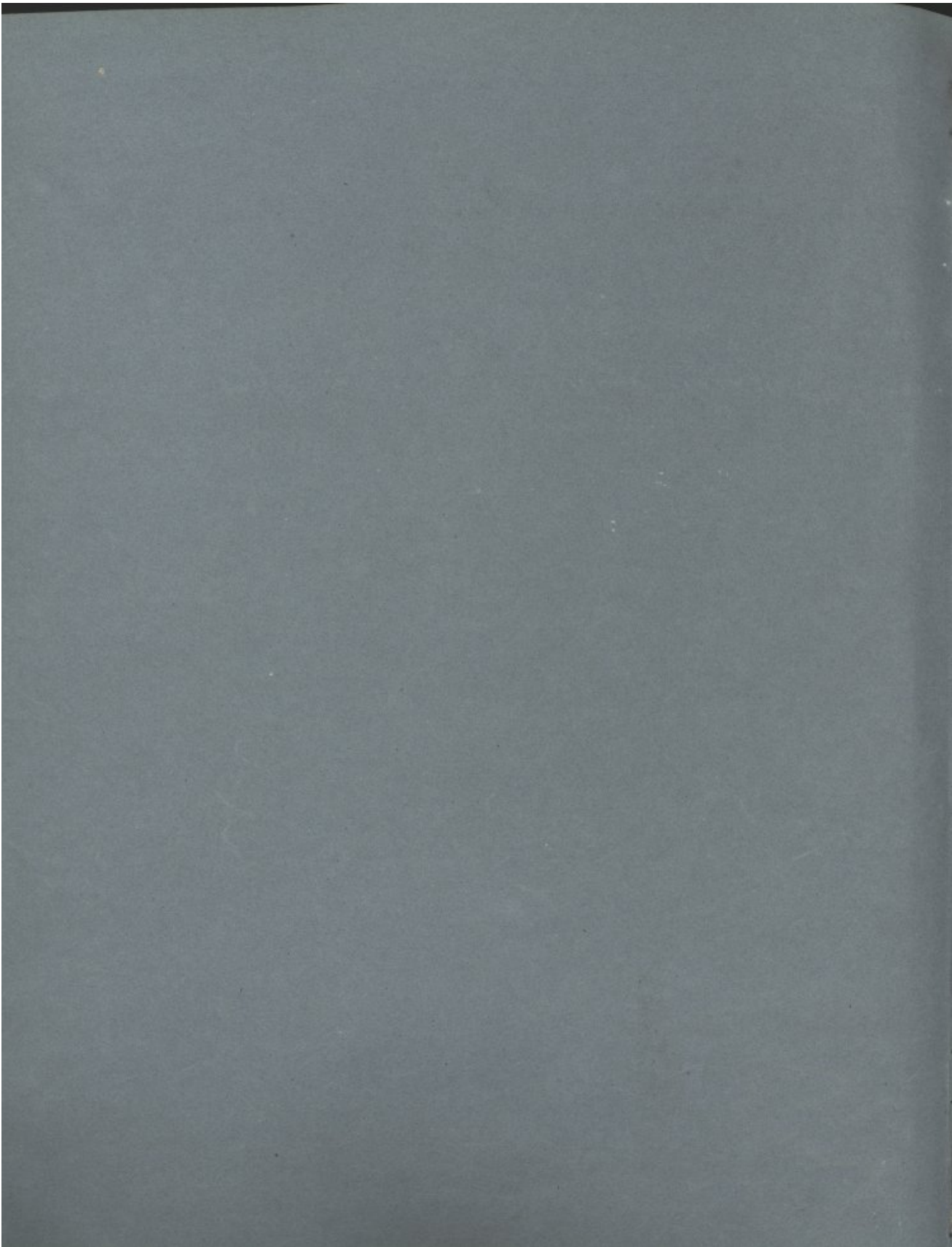
Ch. Ross
16 juillet 1878



Clouement de la région préfrontale, par gauche
(carré et autre côté)
Loc. anatom. 16 juillet 1878









■ Dépressions de la substance corticale correspondant à des hématomas.
 ■ Adhérences de la pie-mère à la pulpe cérébrale, séchées par desorbation.
Pachymeningite. Hématomes
 Note communiqué par les D^{rs} Landouzy et Henry 29 Novemb. 1878.

D'après une pièce reçue le 23 Oct. 1877
 à la Soc. de Chirurgie par M. le Dr. Mouton
 de Digne (Puy-de-Dôme)
 Présentée à la Soc. de l'Anatomie par M. le Dr. Landouzy

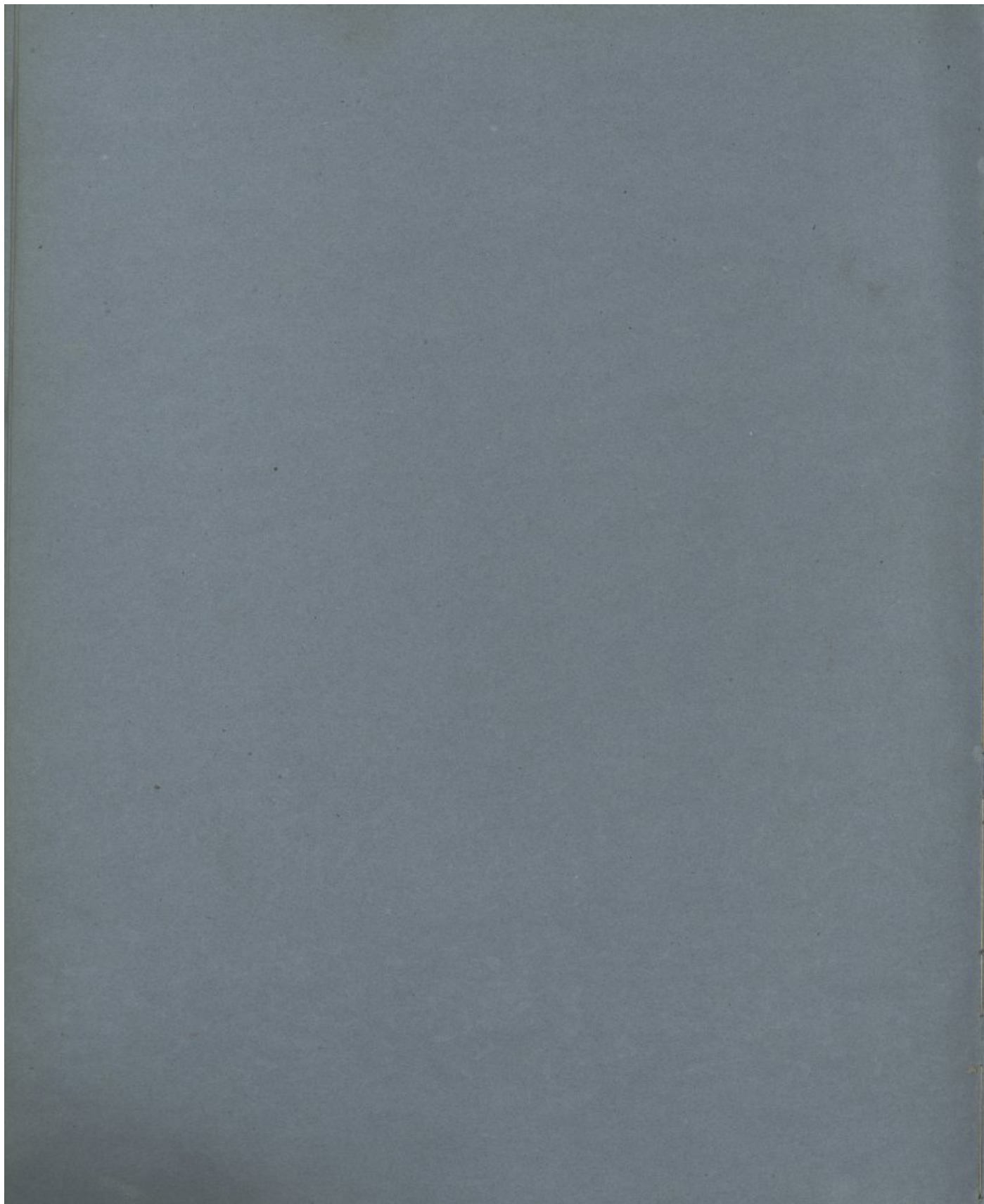
 An anatomical drawing of a brain specimen, possibly a cerebellum or a small brain, with several lobes and a central structure. It is labeled with 'Bout supérieur', 'Bout inf.', and 'Bout post.' (partially visible). There is a circular stamp on the left side of the drawing.

A lateral view of a human brain. A shaded area is visible on the side of the brain, near the ear and the base of the skull.

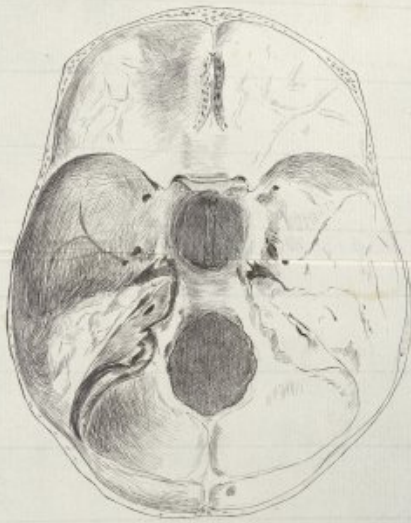
Schéma de l'hémisphère droit vu par la face
 latérale, montrant le point de pénétration de
 l'écoulement de sang dans le tiers moyen, et
 la situation de l'écoulement frontal
 (le type postérieur indique le point où s'écoule l'écoulement
 postérieur)
 Le 20 Xth 1878 R. Henry

A superior view of a human brain. A shaded area is visible on the top of the brain, between the two hemispheres.

Région hypophysaire du cerveau. Schéma de la
 base du cerveau, montrant la situation de la région
 frontale ou postérieure de l'hypophyse
 20. Xth 1878 R. Henry



Ses 117-73



Aphasia et hémiplegie droite, âgé une femme de 23 ans. Disparition de la base du trait de 9 mois. Constante de l'hémiplegie. Mort par phlébite au bras à 3 ans. Intégrité de la 3^e dentelle. Section du faisceau pyramidal inférieure de l'opercule lenticulaire et de la partie antérieure de la capsule interne.



Coupe pédonculo-frontale

1, 2, 3, 1^{re}, 2^e et 3^e circonvolutions frontales, indigènes à la 9^e
2. Faisceau pyramidal inférieure contenu par la fosse de ramollissement le noyau lenticulaire et la partie antérieure de la capsule interne sont compris dans la fosse et à l'ind. 4.

Stamm du 3 janv. 1879.

J. Dujardin



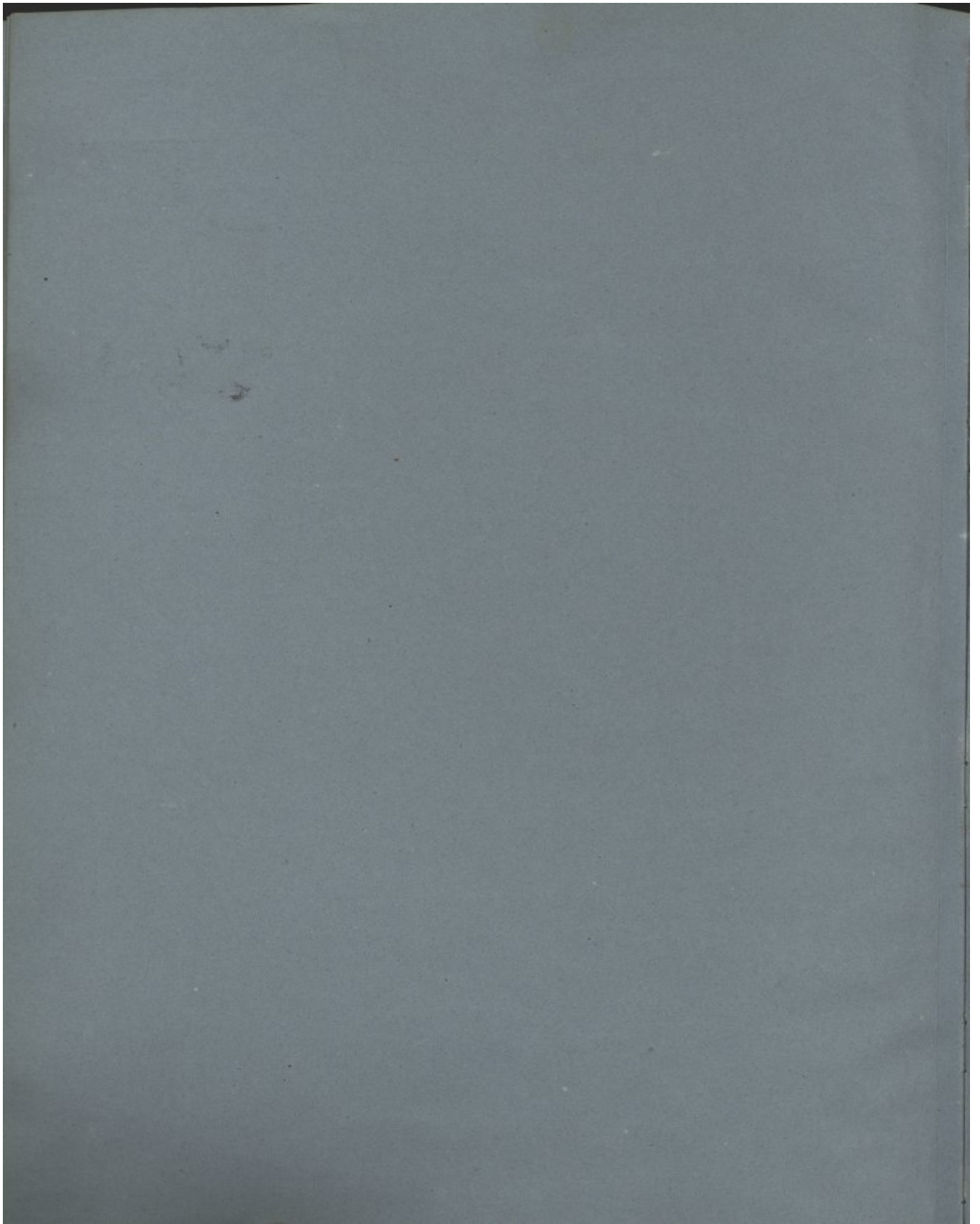
Ramollissement; mouvement choréiforme du bras.
Sec. anat. 21 Mars 1879.

J. Dujardin



Ramollissement; mouvement choréiforme du bras.
Sec. anat. 21 Mars 1879.

J. Dujardin





Élevation du poignet droit dans un cas d'arrachement
du tendon d'insertion des deux languettes fibroalanguineuses
de l'extenseur, par flexion forcée de la main phalangienne
sur la phalange ! - (présentation du 12 Mars 1879)
Santavy



Concavité du fossé
dans l'extenseur

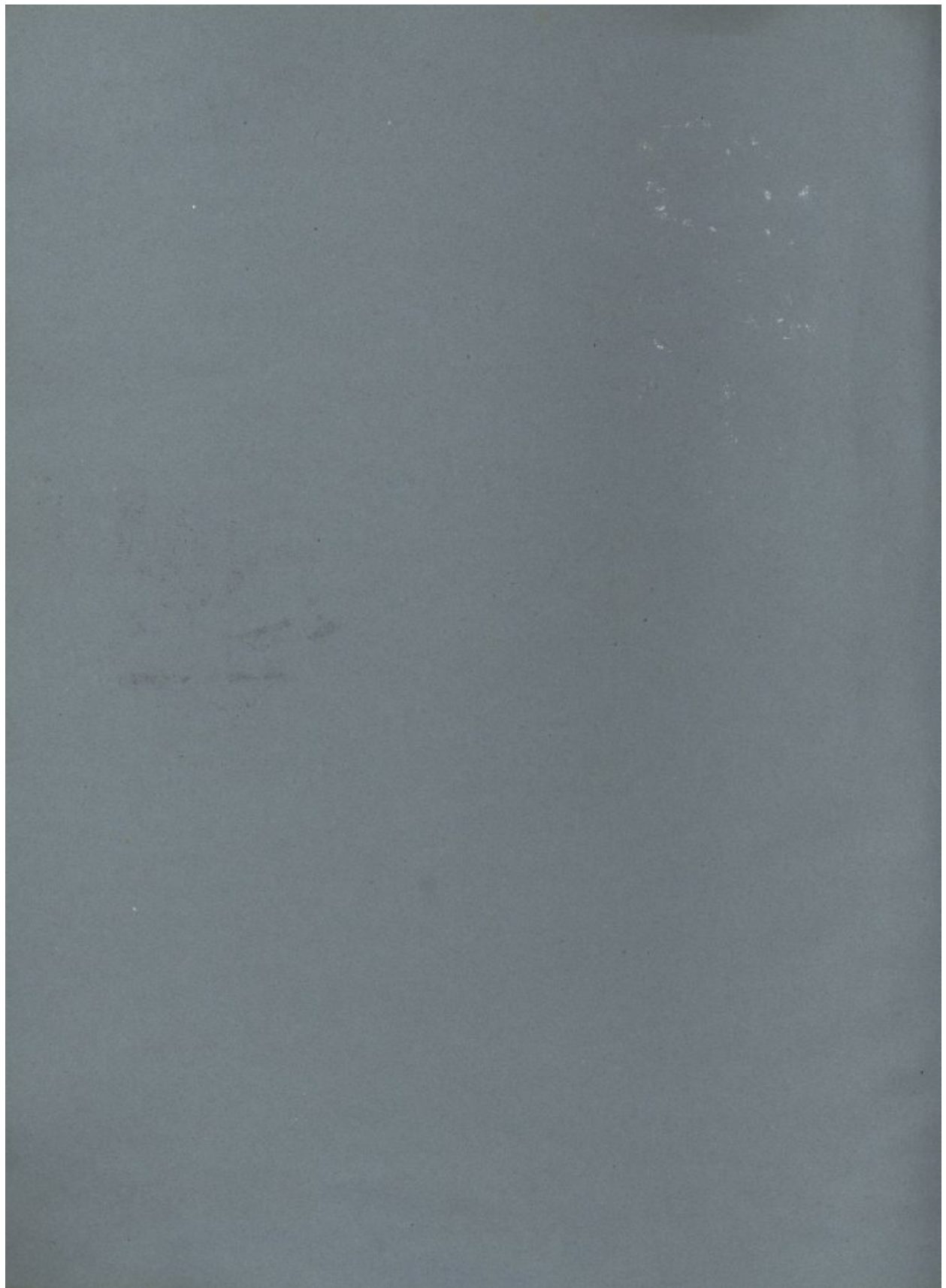
Artère radiale



Arthrose. Remplacement des cordons
du pied S. à 5^e phalange gauche
atrophie de la substance grise innée.
M. Schell
27. de sept. 1878



16. Arthrose. 1877
Santavy





*Du lobe - Dorsum cerebelli. Apollon. Du sein
H. 1817*

G. Meunier

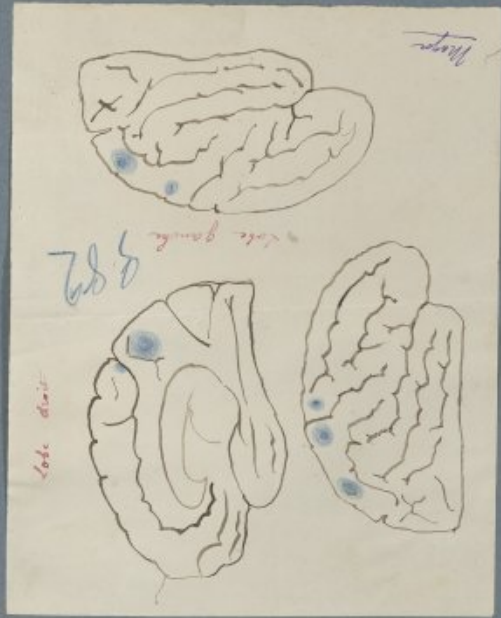


*Osseus & ligamentosus
in flexione & in
extensione.*



*Jules Guérin
Ch. 1817
1817*

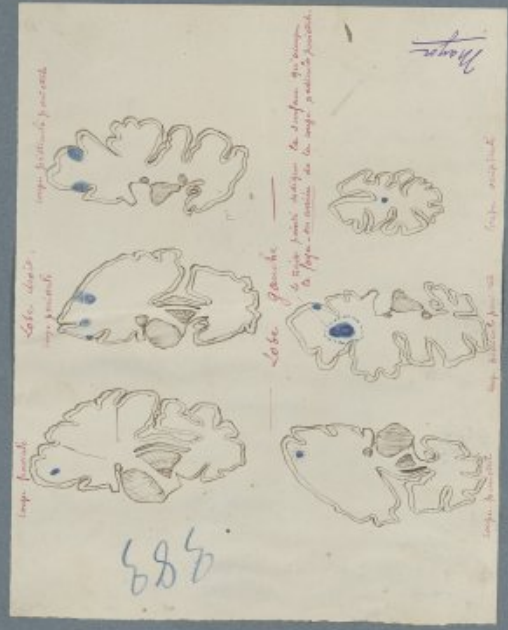
*Nevus pigmentarius
transformati a sarcome*



lobe droit

lobe gauche

Meunier



lobe droit
lobe gauche

1817

Meunier



Intérieur de la foie

*La vésicule biliaire est devenue perforée, et la
vésicule elle-même est devenue calcifiée.
Le foie est en bon état, il est parfaitement
sain.*

*Tracé fait par M. Kérisson, Sec. de
M. le Docteur M. Gall, en 1838.*





h. 20 bis ad nat. 26.

Œur de Bœuf jeune, 4 ans
morte le 1^{er} jour. Mes 2^{es} figures de la page 2
Le Vésicule Bile est morte depuis 24 h
qui sont à l'apogée de la mortelle par suite d'un
dépense de la vie animale.
Le plus petit polypaire est tout petit et se trouve
attaché au col de la vessie. Le plus grand est un
qui se trouve dans le col de la vessie. Les autres
sont de diverses formes et de diverses tailles.
Le plus grand est un polypaire qui se trouve
dans le col de la vessie.

présenté à la Soc. le 20th janv. 80 -
V. 1^{er} volume de la Soc. le 20th janv. 80
le 20th janv. 1880

Platteau de la Soc. anatom.



M. J. J. J.
1880



254

Figure montrant le polypaire
attaché au col de la vessie.
Le polypaire est un
qui se trouve dans le col
de la vessie. Les autres
sont de diverses formes
et de diverses tailles.
Le plus grand est un
polypaire qui se trouve
dans le col de la vessie.

A. Poulin

1880



M. J. J. J.
1880

h. 20 bis
ad nat. 26.

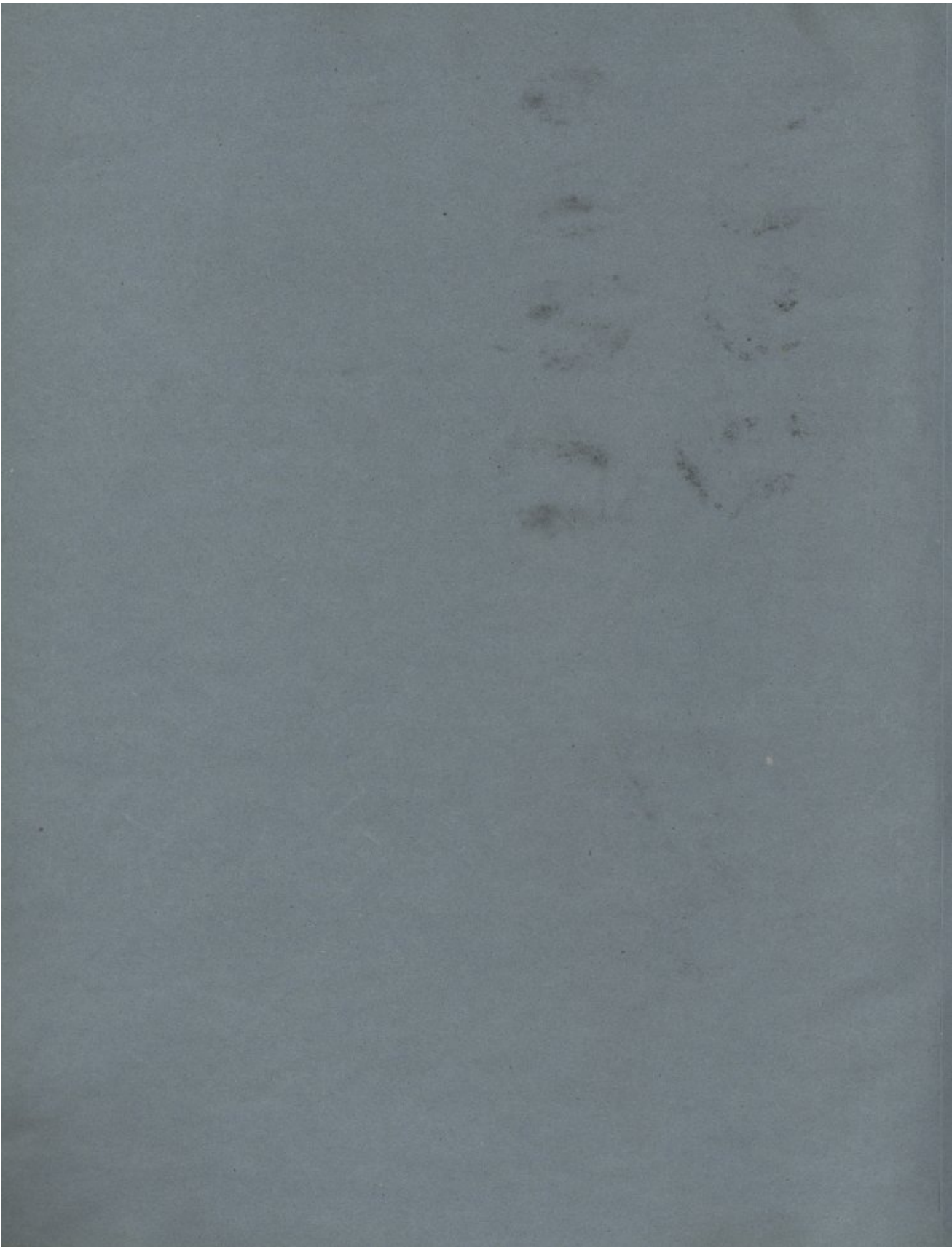


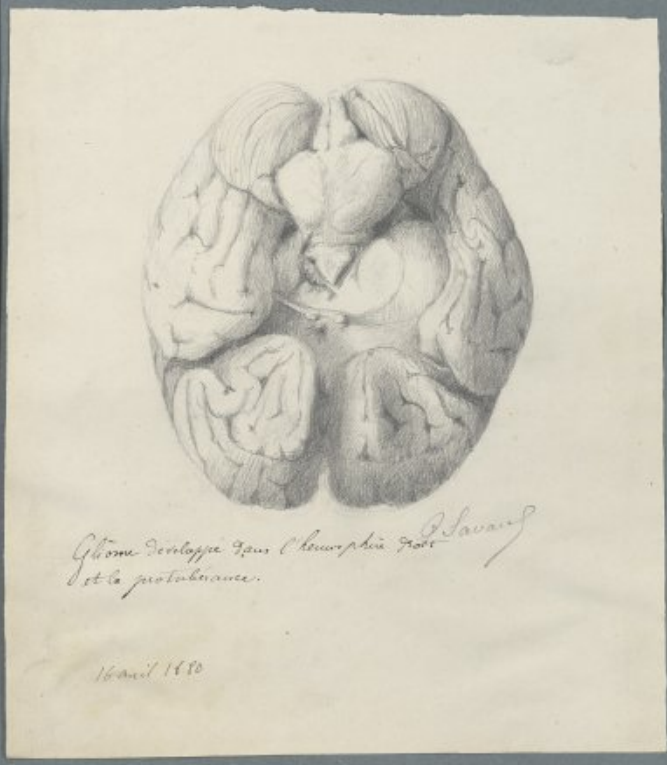
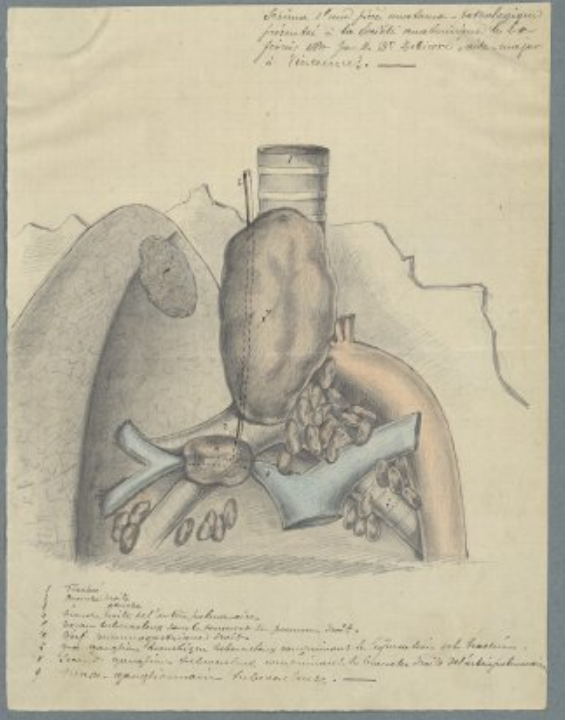
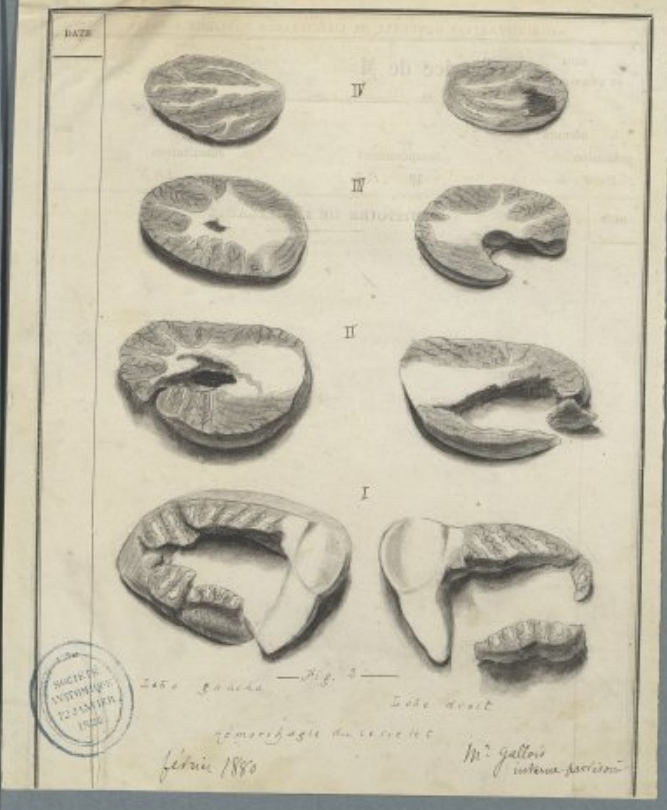
1880. 9 Janvier - Polype du Col vésical -
sur M. J. J. J.
intemporelle

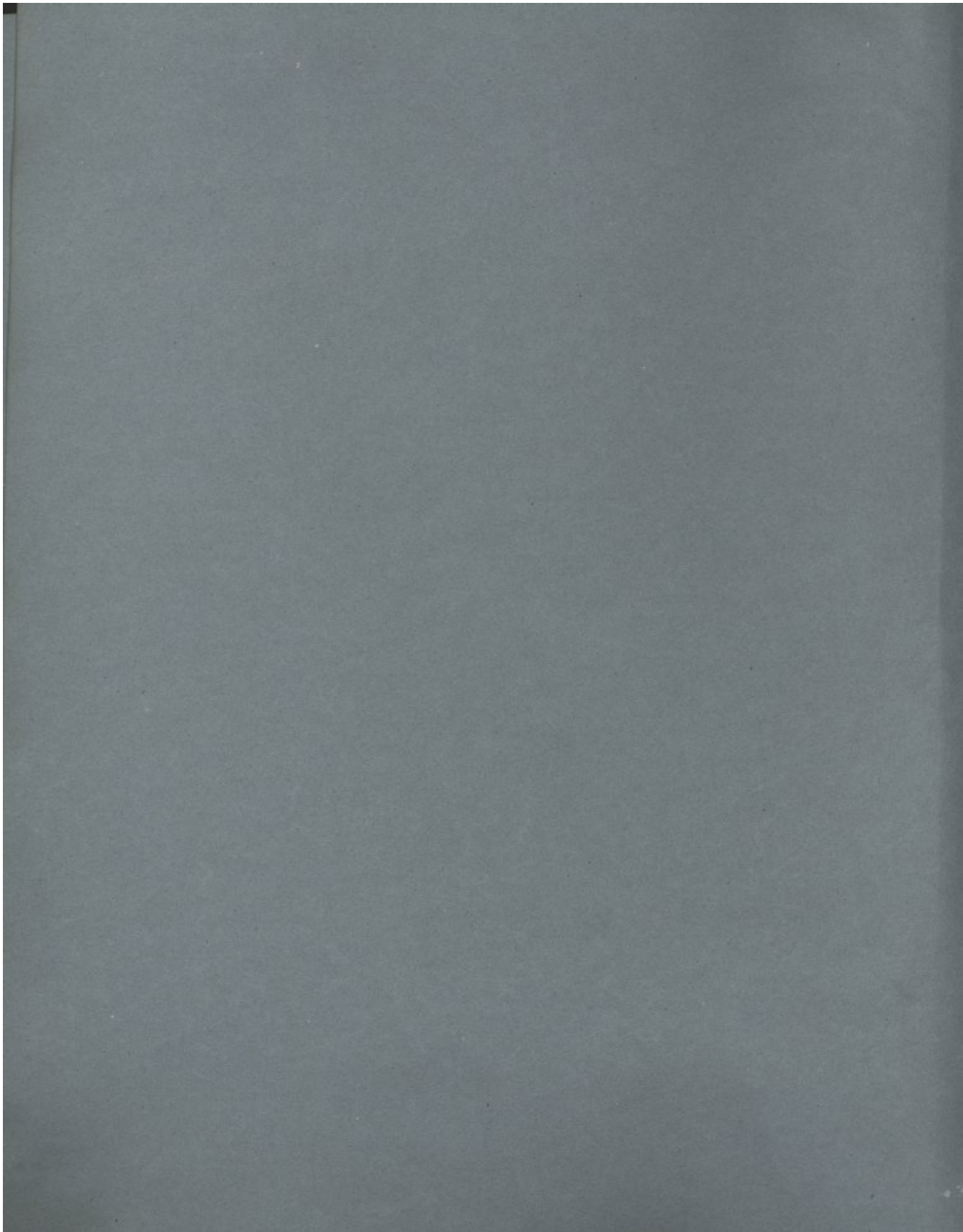


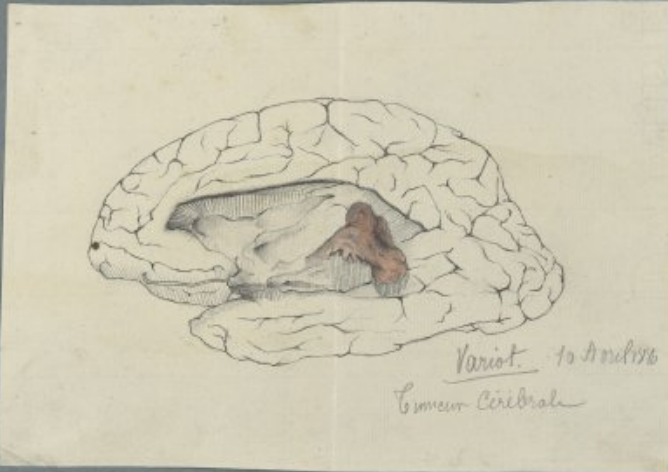
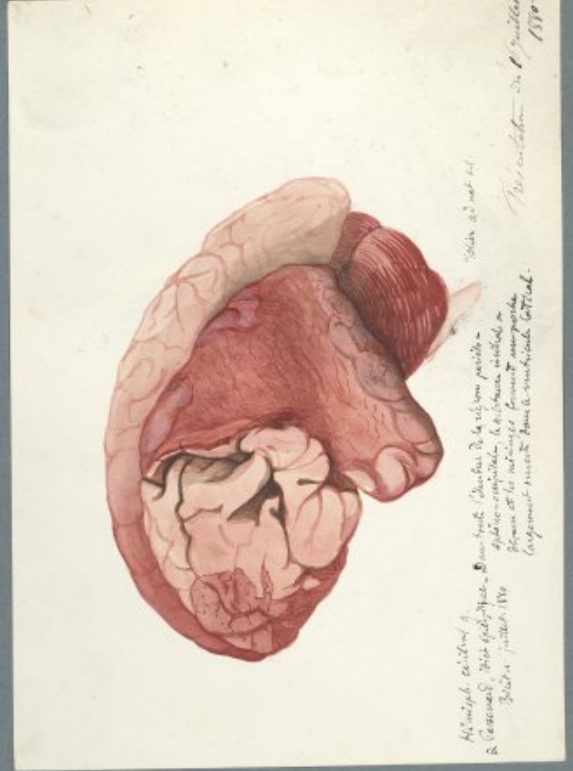
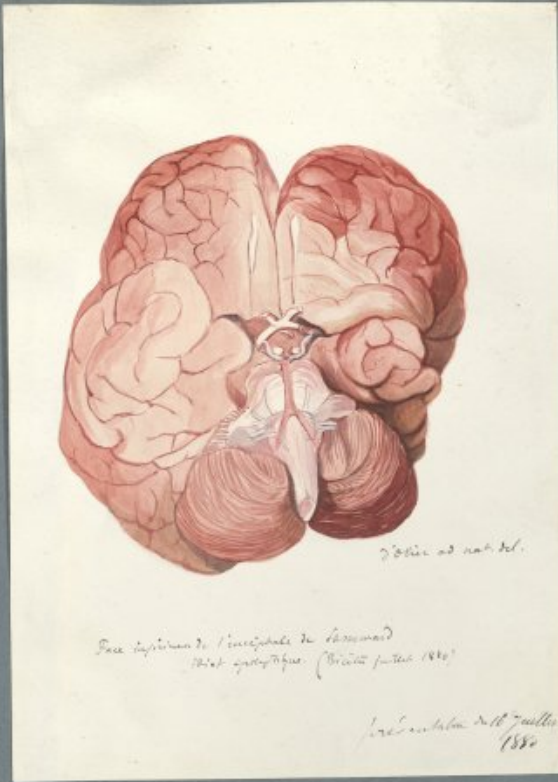
Amard

16 mai 1880



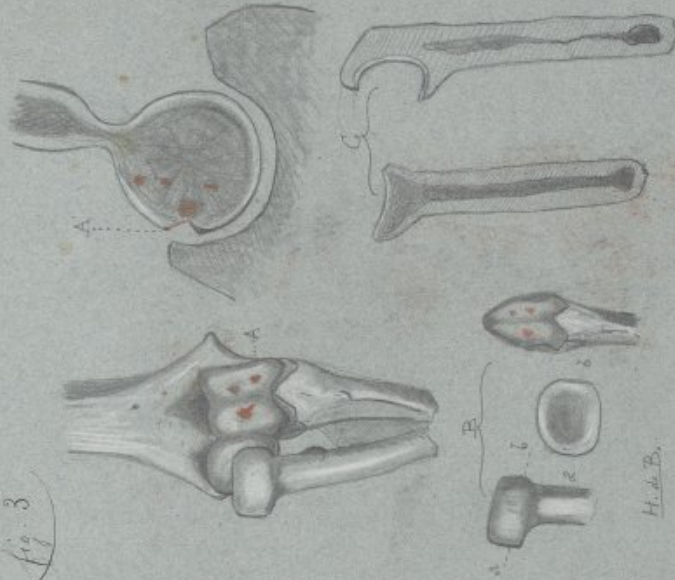






Chute des tufs dans le moignon d'amputé.

fig. 3



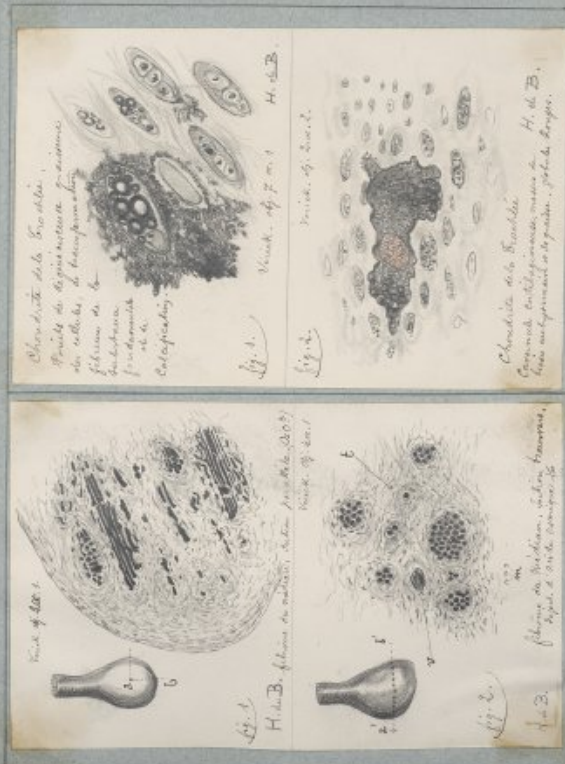
Disposition de l'os et des tufs dans le moignon d'amputé.

Chute des tufs dans le moignon d'amputé.

A. A. Situation des tufs dans le moignon d'amputé.

B. Disposition de l'os et des tufs dans le moignon d'amputé.

Chute des tufs dans le moignon d'amputé.



Chute des tufs dans le moignon d'amputé.

Étude des fibres des muscles du membre supérieur.



Fig. 1.

H. & B.

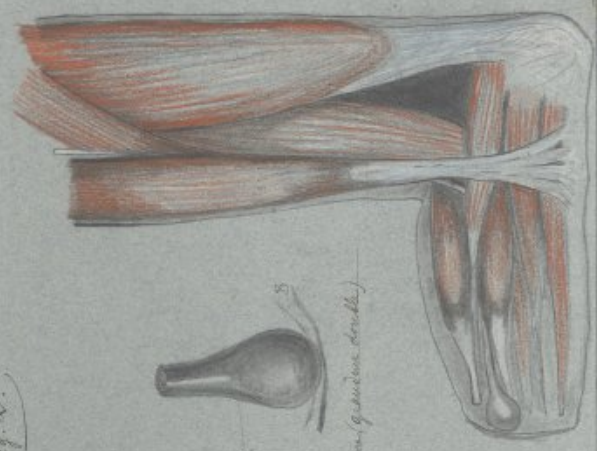
Composition de l'arras bras droit d'un adulte de 10 ans.
Échelle: 1/20. Anatomie humaine, 1877, p. 199, fig. 99.
L'aspect de ces muscles est très différent de celui de l'adulte.

Étude des fibres des muscles du membre inférieur.

Fig. 2.



Fibres (gaine de la fibre)



H. & B.

Composition de l'arras bras droit d'un adulte de 10 ans.
Échelle: 1/20. Anatomie humaine, 1877, p. 199, fig. 99.
L'aspect de ces muscles est très différent de celui de l'adulte.

Plaque ossifiée à l'obésité, d'une tumeur blanche tuberculeuse avec granules tuberculeux des parties molles périarticulaires. - par J.B. Berni, interne de l'Hôpital - le 17 février 1881.

Tumeur blanche du Genou.

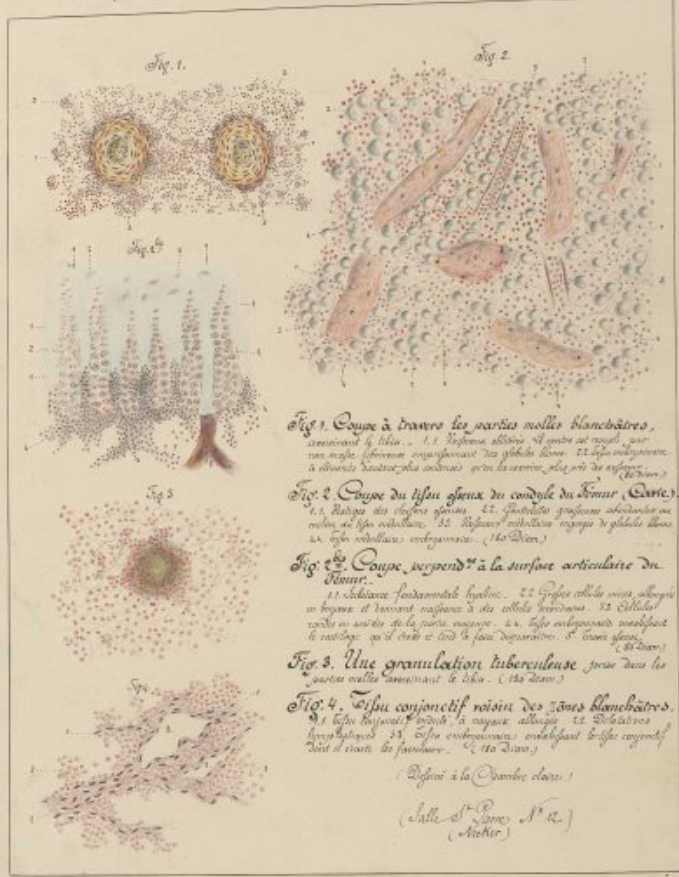


Fig. 1. Coupe à travers les parties molles blanchâtres, circonscrites le tissu. 1.1. Tumeur blanche. 1.2. Corps de tissu par une coupe oblique comparant les globules blancs. 1.3. Tissu conjonctif à travers les parties molles blanchâtres. 1.4. Tissu conjonctif.

Fig. 2. Coupe du tissu osseux du condyle du fémur (Cartil.). 1.1. Tissu osseux. 1.2. Tissu conjonctif. 1.3. Tissu conjonctif. 1.4. Tissu conjonctif.

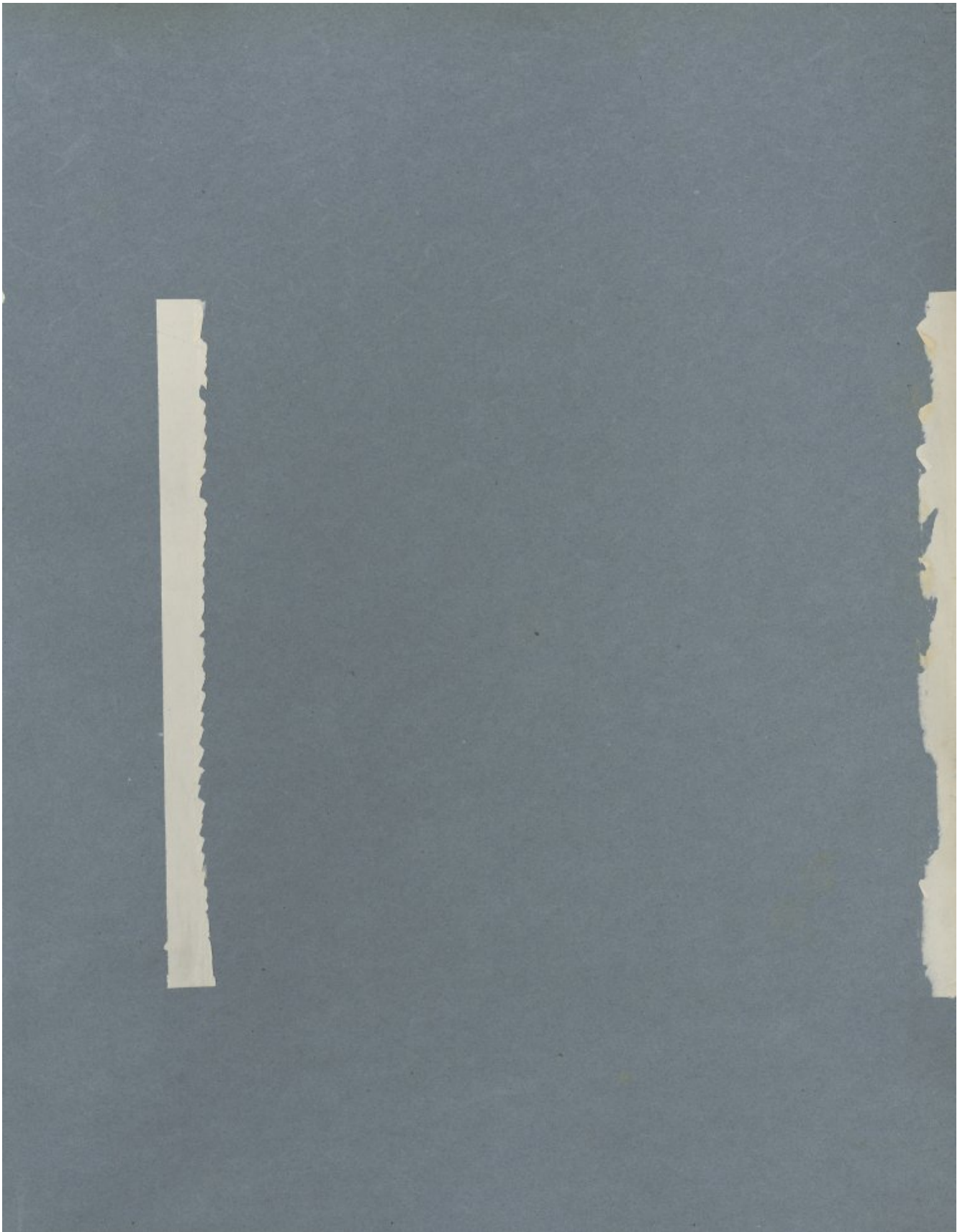
Fig. 3. Coupe, perpendiculaire à la surface articulaire du fémur. 1.1. Tissu osseux. 1.2. Tissu conjonctif. 1.3. Tissu conjonctif.

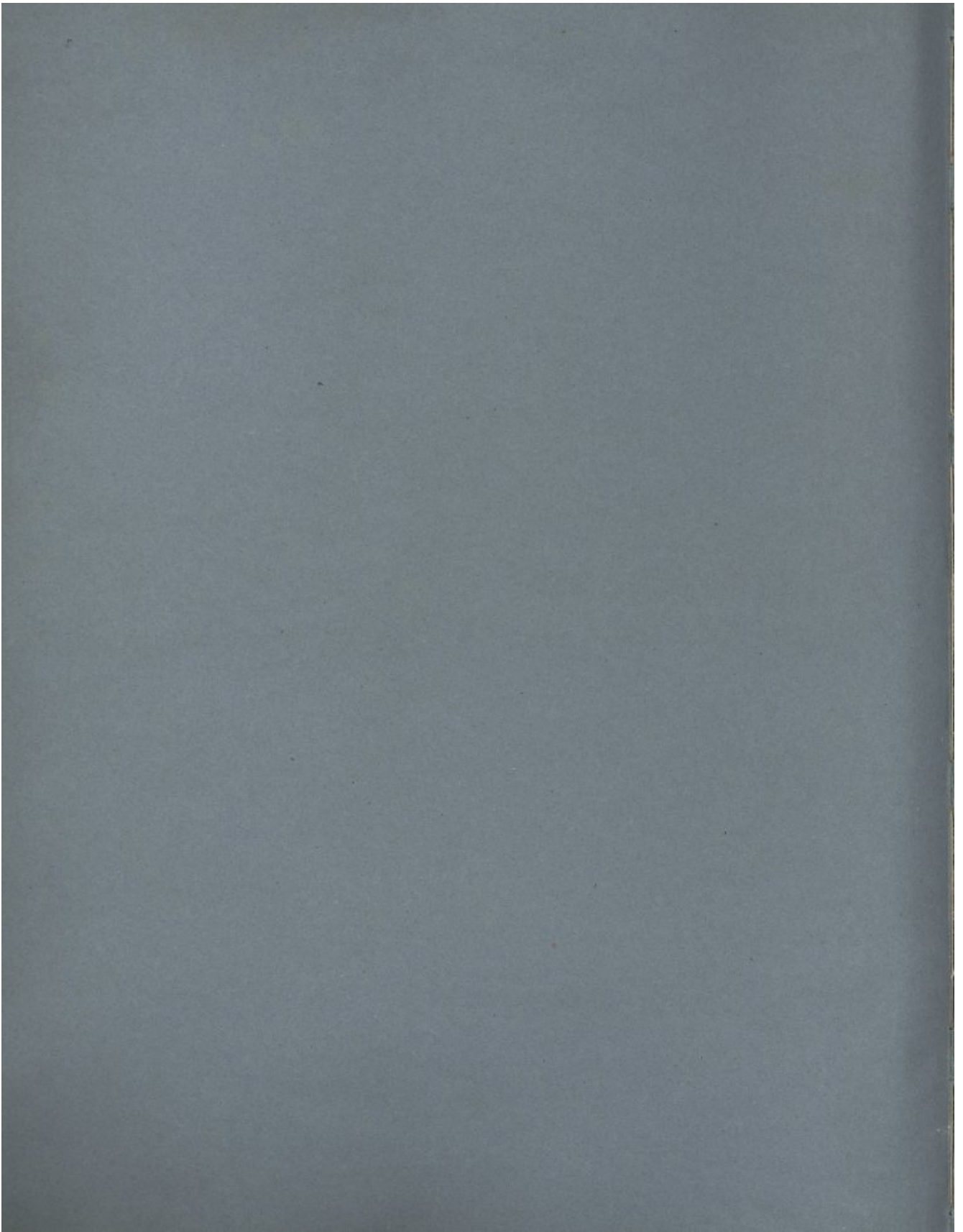
Fig. 4. Une granulation tuberculeuse, prise dans les parties molles circonscrites le tissu. (1881 Dec.)

Fig. 5. Tissu conjonctif voisin des zones blanchâtres. 1.1. Tissu conjonctif. 1.2. Tissu conjonctif. 1.3. Tissu conjonctif.

Dessiné à la Plume et à l'Encre.
 (H. L. Berni, N. R.)
 (M. Berni)

1881







Monstre anencephale

né à Hanoï dans le service de M^r le D^r J. Chaignonnière
à la Maternité de Cochin, le 26 août 1880. — Pas de tige crânienne
qu'on n'aperçoit. Pas de tige latérale; existence de la fosse nasale inférieure et de l'oreille à droite.
Présentation faite à la Société anatomique le 23 X^{bre} 1881 par J.M. Caraffi



Monstre anencephale

né à Hanoï dans le service de M^r le D^r J. Chaignonnière à la
Maternité de Cochin, le 26 août 1880. — Pas de tige crânienne qu'on
n'aperçoit. Pas de tige latérale; existence de la fosse nasale inférieure et de l'oreille à droite.
Présentation faite à la Société anatomique le 23 X^{bre} 1881 par J.M. Caraffi
Interne des Hôpitaux.



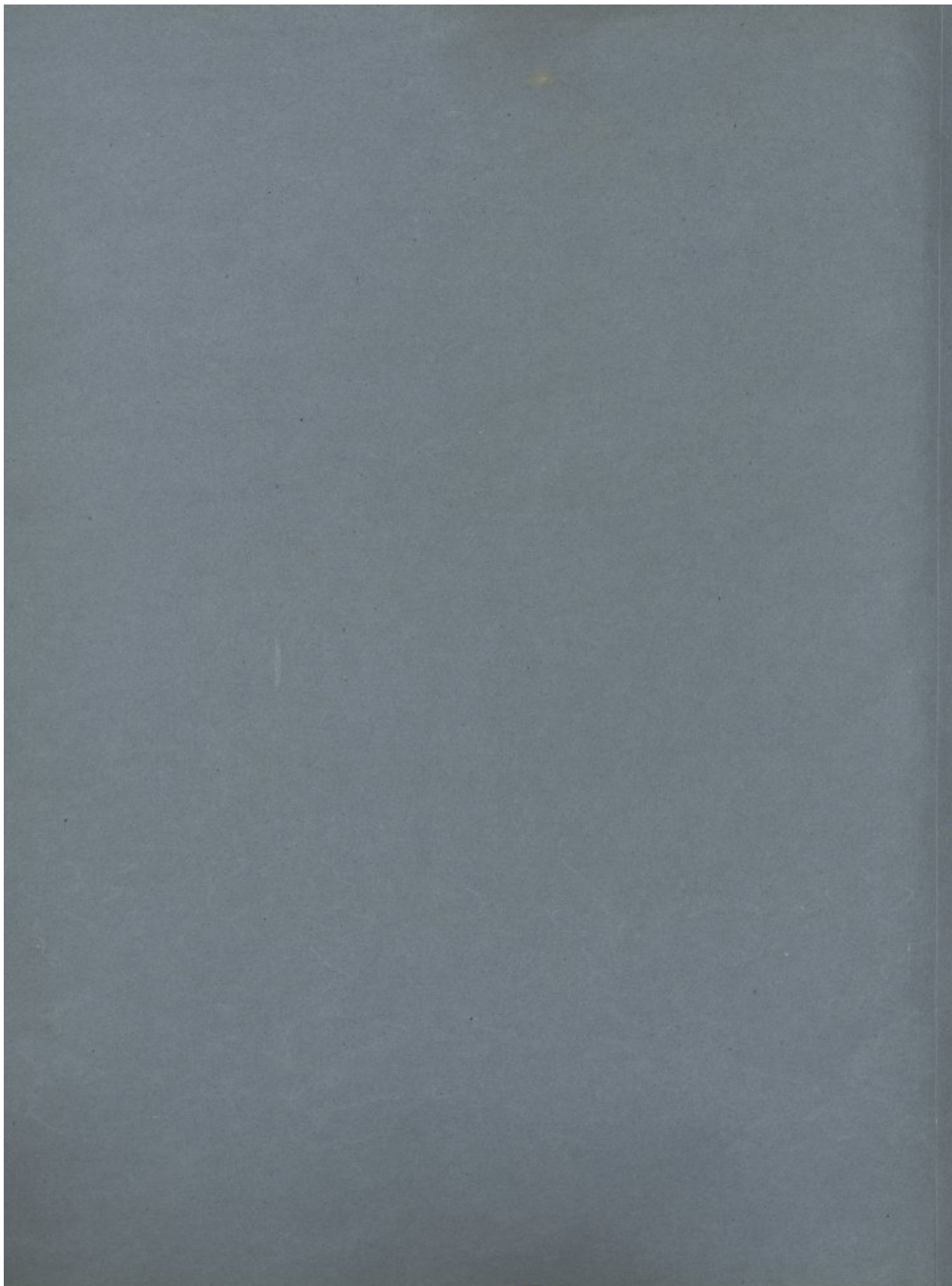
Cœur d'un malade atteint de rétrocession au coup de fol de l'ictère sévère.

Séance du 18 mars 1881



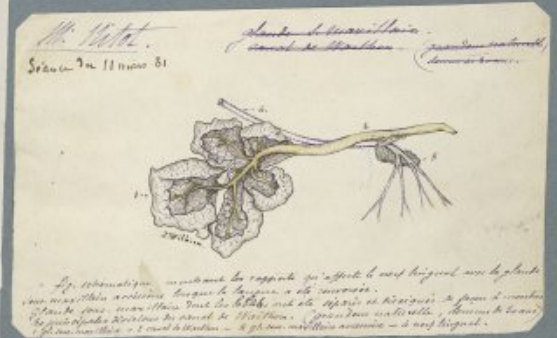
Cœur de deux ans, deux semaines, et l'infirmité est plus ou moins grande.

Séance du 18 mars 81





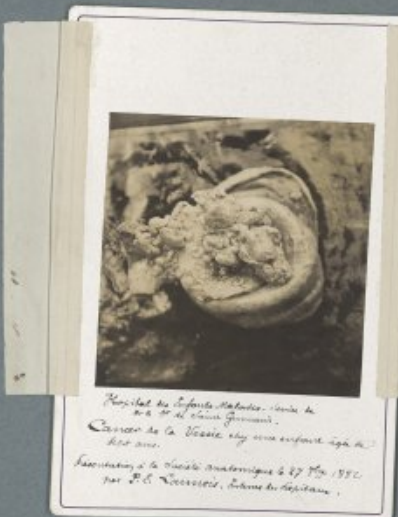
Coeur de la Vierge, âgé de sept ans. Les valvules à gauche. Anatomie à 47 octobre 1871 par P. L. Nicolet, médecin de l'hôpital.



*M. Vittel.
Séance du 11 Mars 61*

*Le cœur de la Vierge
cœur de la Vierge*

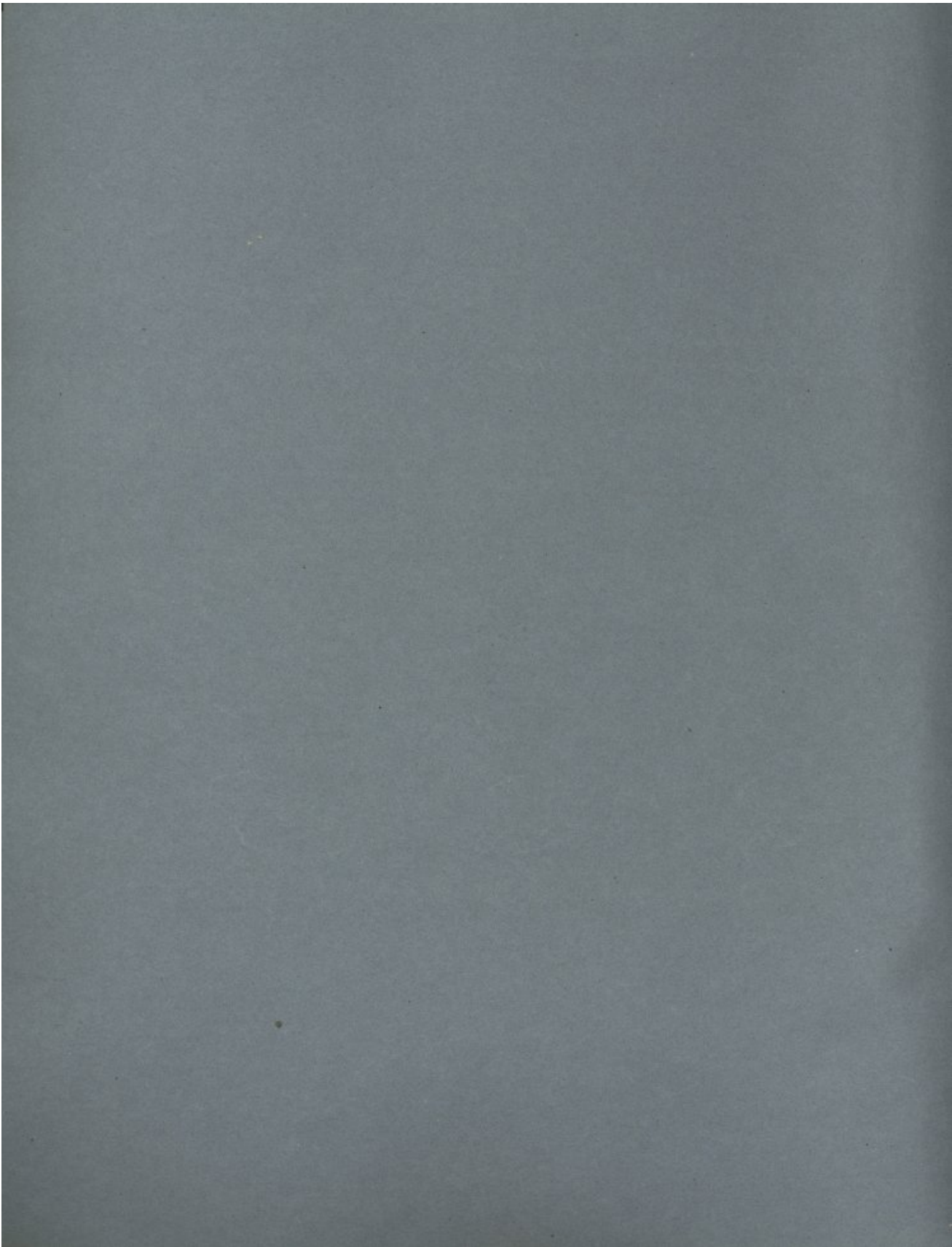
*Fig. anatomique montrant le rapport qui existe à cet égard avec le plexus
solaire, les artères brachiales, le plexus aortique, le plexus pulmonaire.
Plan de vue - avec l'anneau de la Vierge, les artères et les veines de la base
du plexus solaire, l'anneau de la Vierge, le plexus aortique, le plexus pulmonaire, le plexus
solaire, le cœur de la Vierge - à gauche, les artères brachiales - à droite.*



*Hôpital du Spéciale Malade, décès le
26 Mars 1871.
Coeur de la Vierge, âgé de sept ans.
Anatomie à la Société Anatomique à 47 Mars 1871.
par P. L. Nicolet, médecin de l'hôpital.*

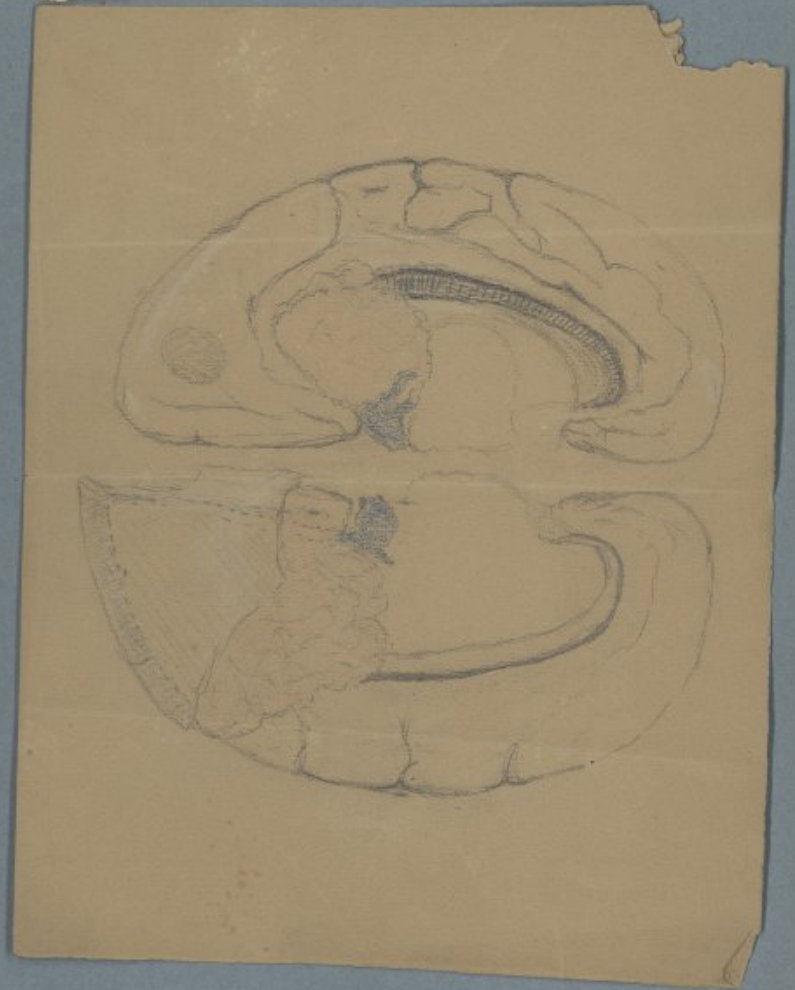


*Hôpital du Spéciale Malade, décès le 26 Mars 1871.
Coeur de la Vierge, âgé de sept ans.
Anatomie à la Société Anatomique à 47 Mars 1871.
par P. L. Nicolet, médecin de l'hôpital.*



Lépreuse vici de la région lat. cervicale (Lépreux, 18 février 1893)

DATE



Lésion vraie de la tige du 3^e cervical (Léon, 18 février 80)

DATE



Lésion punctif
à la laryngite.
S. C. C. C.
3x6 - 1880.

